

СЭЛ 7-1995

РАДИО

АУДИО • ВИДЕО • СВЯЗЬ • ЭЛЕКТРОНИКА • КОМПЬЮТЕРЫ

ЛЕЧАТ МИЛЛИМЕТРОВЫЕ ВОЛНЫ

ВИДЕОТЕХНИКА: "ВОЙНА" ФОРМАТОВ

**КАК ИЗБЕЖАТЬ ПОМЕХ
ПРИ ЗВУКОЗАПИСИ**

ЭЛЕКТРОННЫЙ БЛОК ЭКОНОМАЙЗЕРА



ИЗДАЕТСЯ С 1924 ГОДА

АВРИ

ТЕХНИКА СВЯЗИ
ВЕДУЩИХ КОМПАНИЙ
МИРА

WOOD

Наши телефоны: г. Москва
г. Самара (8462) 592-700
г. Самара, АО "Радиосвязь Дельта"

НИИ "Радио-коммуникации"
22-4067

"Экран" (0733)

(092)

KENWOOD

РАДИО

7-1995

МАССОВЫЙ ЕЖЕМЕСЯЧНЫЙ
РАДИОТЕХНИЧЕСКИЙ ЖУРНАЛ

аудио • видео • связь
электроника • компьютеры

ИЗДАЕТСЯ С 1924 ГОДА

УЧРЕДИТЕЛЬ: РЕДАКЦИЯ
ЖУРНАЛА "РАДИО"

Зарегистрирован Комитетом РФ по
печати 21 марта 1995 г.
Регистрационный № 01331

Главный редактор

А. В. ГОРОХОВСКИЙ

Редакционная коллегия:

И.Т. АКУЛИНИЧЕВ, В.М. БОНДАРЕНКО,
А.М. ВАРБАНСКИЙ, А.Я. ГРИФ,
А.С. ЖУРАВЛЕВ, Б.С. ИВАНОВ,
А.Н. ИСАЕВ, Н.В. КАЗАНСКИЙ,
Е.А. КАРНАУХОВ, В.И. КОЛОДИН,
А.Н. КОРОТОНОШКО, В.Г. МАКОВЕЕВ,
В.В. МИГУЛИН, С.Л. МИШЕНКОВ,
А.Л. МСТИСЛАВСКИЙ (отв. секретарь),
Б.Г. СТЕПАНОВ (зам. гл. редактора).

Художественный редактор
Г.А. ФЕДОТОВА.
Корректор Т.А. ВАСИЛЬЕВА
Компьютерная верстка
Ю. КОВАЛЕВСКОЙ

Адрес редакции 103045,
Москва, Селиверстов пер., 10.

Телефон для справок и группы
работы с письмами — 207-77-28.

Отделы: общей радиотехники —
207-68-18;

аудио, видео, радиоприема
и измерений — 208-83-05;

микропроцессорной техники и тех-
нической консультации — 207-89-00;

оформления — 207-71-69;

группа рекламы и реализации —
208-99-45.

Тел./факс (095) 208-77-13;
208-13-11.

"КВ-журнал" — 208-89-49.
ТОО "Символ-Р" — 208-81-79.

Наши платежные реквизиты: почто-
вый индекс банка — 101000; для ин-
дивидуальных платящих и органи-
заций г. Москвы и области — р/сч,
редакция 400609329 в АКБ "Бизнес"
в Москве, ИФО 44583478, уч. 74, для ин-
городных организаций-платящих —
р/сч, 400609329 в АКБ "Биз-
нес", ИФО 201791, корр сч.
478161600 в РКЦ ГУ ЦБ.

Редакция не несет ответственности за
достоверность рекламных объявлений.

Подписано к печати 18.05.1995 г. Формат 60х84/8. Бумага мелованная. Гар-
нитур "Гельветика" и "Прагматика".
Печать офсетная. Объем 6,5 печ. л.,
3,25 бум. л. Усл. печ. л. 6.

В розницу — цена договорная

Отпечатано UPC Consulting LTD
(Vaasa, Finland)

© Радио, 1995 г.

ГОРИЗОНТЫ НАУКИ И ТЕХНИКИ 4

О. Бецкий. КВЧ-ТЕРАПИЯ

ВИДЕОТЕХНИКА 6

Д. Панкратьев. МОДИФИКАЦИЯ СИСТЕМЫ ПСЕВДОСТЕРЕОТЕЛЕВИДЕНИЯ АВДУ.

Ю. Петропавловский. ВИДЕОТЕХНИКА ФОРМАТА VHS "ВОЙНА" ФОРМАТОВ (с. 8).

В. Данилушкин. ЗАДЕРЖКА ОТКРЫВАНИЯ КИнескопа И СТУПЕНЧАТЫЙ ПРОГРЕВ (с. 11)

ЗВУКОТЕХНИКА 12

С. Агеев. ПОДАВЛЕНИЕ НАДТОНАЛЬНЫХ ПОМЕХ В БЫТОВОЙ ЗВУКОЗАПИСИ

РАДИОПРИЕМ 16

И. Нецаев. ЭКОНОМИЧНЫЙ ПРИЕМНИК ПРЯМОГО УСИЛЕНИЯ.

В. Руматов. РАДИОМИКРОФОН С РАМОЧНОЙ АНТЕННОЙ (с. 17)

К 80-ЛЕТИЮ СО ДНЯ РОЖДЕНИЯ И.Т.АКУЛИНИЧЕВА 18

ЯРКИЙ ПРИМЕР ДЛЯ РАДИОЛЮБИТЕЛЕЙ

МИКРОПРОЦЕССОРНАЯ ТЕХНИКА 19

Н. Шихов. ЯЗЫК ФОРТ ДЛЯ "РАДИО-86РК"

М. Бун. "SPECTRUM" — СОВМЕСТИМЫЙ КОМПЬЮТЕР. ПРИНЦИПИАЛЬНАЯ СХЕМА (с. 23)

"РАДИО" — НАЧИНАЮЩИМ 30

Ю. Прокопцев. НА ТРАНЗИСТОРАХ МП

ЭЛЕКТРОНИКА В БЫТУ 33

ЭЛЕКТРОННЫЕ ЗВОНКИ НА ЛЮБОЙ ВКУС

РАДИОЛЮБИТЕЛЮ-КОНСТРУКТОРУ 36

С. Бирюков. ГЕНЕРАТОРЫ И ФОРМИРОВАТЕЛИ ИМПУЛЬСОВ НА МИКРОСХЕМАХ КМОП

ЭЛЕКТРОНИКА ЗА РУЛЕМ 38

В. Банников. БЛОК ЭКОНОМАЙЗЕРА КАРБЮРАТОРОВ "СОЛЕКС" И "ОЗОН"

ПО СТРАНИЦАМ ЗАРУБЕЖНЫХ ЖУРНАЛОВ 41

МИНИ-ПРЕДУСИЛИТЕЛЬ

СПРАВОЧНЫЙ ЛИСТОК 43

В. Головинов, А. Роголев. ОПЕРАЦИОННЫЕ УСИЛИТЕЛИ СЕРИИ KP544.
А. Югай, И. Шевелев, В. Микхабян, М. Землянский. АЛЮМИНИЕВЫЕ
ОКСИДНО-ПОЛУПРОВОДНИКОВЫЕ КОНДЕНСАТОРЫ

ОБМЕН ОПЫТОМ (с. 17), НА КНИЖНОЙ ПОЛКЕ (с. 28) ЧИТАЙТЕ В "КВ
ЖУРНАЛЕ" (с. 32) РАДИОКУРЬЕР (с. 42). КОРОТКО О НОВОМ (с. 43)
НАША КОНСУЛЬТАЦИЯ (с. 45) ДОСКА ОБЪЯВЛЕНИЙ (с. 29, 46—50)

НА ПЕРВОЙ СТРАНИЦЕ ОБЛОЖКИ: сетевой двухдиапазонный УКВ ра-
диоприемник "Вега РП-247" производства АООТ "Вега" (г. Бердск).
Его технические характеристики: диапазон частот — 65,8...74 и 88...108
МГц; реальная чувствительность при приеме — не хуже 50 мкВ/м; диа-
пазон воспроизводимых частот по звуковому давлению — не хуже
315...8000 Гц; максимальная выходная мощность — не менее 1 Вт; га-
бариты — 320х120х95 мм; масса — 1,5 кг.

В новом радиоприемнике имеются встроенная телескопическая ан-
тенна и светодиодная индикация, блок фиксированных настроек и
встроенный блок электронных часов, работающих в режимах "часы",
"будильник", "таймер". Как сообщали редакции в Управлении марке-
тинга АООТ, предприятие выпускает также вариант радиоприемника —
"Вега РП-247-1", в котором блок электронных часов отсутствует.

КВЧ-ТЕРАПИЯ

О. БЕЦКИЙ, профессор, доктор физ.-мат. наук, г. Москва

Электромагнитные волны и их влияние на процессы жизнедеятельности организма человека, а также их лечебные свойства — основная тема публикуемой статьи профессора, доктора физ.-мат. наук О. В. Бецкого. Он заведует лабораторией ИРЭ РАН, которая ведет научный поиск применения в медицине электромагнитных волн, главным образом крайне высокочастотного диапазона (КВЧ), занимается разработкой приборов КВЧ-терапии и внедрением их в медицинскую практику. О. В. Бецкий — автор более 150 научных трудов в этой области, имеет 15 авторских свидетельств по СВЧ и КВЧ электронике, а также электромагнитобиологии.

Сейчас в практику здравоохранения активно внедряются электромагнитные методы терапии различных заболеваний. В первую очередь здесь надо назвать низкочастотные электромагнитные волны в миллиметровом диапазоне (миллиметровая или КВЧ-терапия) [1—5]. Только в России, где впервые был применен этот новый метод лечения, более тысячи медицинских учреждений используют КВЧ-терапию для лечения десятков распространенных заболеваний. Число больных, которые успешно прошли лечение с помощью "загадочных" миллиметровых волн, значительно превышает 1 миллион человек.

Процедура лечения чрезвычайно проста. Антенна терапевтического аппарата (рупор или диэлектрический волновод) направляет поток электромагнитных волн на биологически активные точки, рефлексогенные зоны. Захарина—Гёда или на область плечевого сустава. Одна процедура занимает в среднем 30—40 мин, а курс лечения — две-три недели. Эффективность КВЧ-терапии не уступает, а в ряде случаев выше медикаментозных методов. Более чем за пятнадцать лет клинического применения не отмечены побочные эффекты или неблагоприятные отдаленные последствия.

КВЧ-терапия прекрасно зарекомендовала себя в таких областях как гастроэнтерология (язвы желудка и двенадцатиперстной кишки), неврология (боязнь ондромы, остеохондрозы, радикулиты, ишиас), кардиология (гипертоническая болезнь сердца, стенокардия), урология (пиелонефрит, импотенция, простатиты), онкология (защита кроветворной системы, устранение побочных эффектов химиотерапии), гинекология, хирургия, кожные заболевания и т. д. [3—5].

Миллиметровые волны оказывают антистрессорное действие, повышают иммунный статус организма. Они используются в качестве монотерапии, но могут сочетаться с другими методами лечения.

Уже этого простого перечисления достаточно, по-видимому, для более детального исследования в этой перспективной области.

Какие же фундаментальные научные соображения могут приблизить нас к объяснению влияния электромагнитных

волн на процессы жизнедеятельности?

Электромагнитные волны сыграли исключительно важную роль в зарождении жизни на Земле и продолжают быть важнейшим фактором ее поддержания. Земля купалась и сейчас продолжает купаться в электромагнитном океане волн — главным источнике энергии и посреднике получения информации об окружающем мире.

Основным естественным источником излучения электромагнитных волн является Солнце. На широте Москвы в летний ясный день на площади каждого квадратного метра у поверхности земли мощность излучения электромагнитных волн достигает нескольких сотен ватт.

Примерно сто лет назад человек научился создавать искусственные источники электромагнитных волн и использовать их на практике. Сегодня им практически освоена вся шкала электромагнитных волн — от сверхнизкочастотных (десяти, сотни Гц) до гамма-волн (10^{18} Гц).

В процессе эволюции человек приспособился к естественному электромагнитному фону, вызванному солнечным излучением, и к некоторому превышению естественного электромагнитного фона в результате практической деятельности людей — искусственной добавке к естественному фону. Видимый участок спектра волн используется для формирования зрительных ощущений, а особенности частотного состава отраженного от разных предметов света определяют цветовые оттенки окружающего нас мира. В процессе жизнедеятельности сам человек излучает в окружающее пространство достаточно мощное электромагнитное излучение — около 100 Вт в инфракрасном диапазоне. Установлено также, что различные электромагнитные процессы в окружающем мире нашли отражение в биоритмах человека. Следовательно, человек и электромагнитные волны по своей природной сущности не противопоставлены друг другу.

Каково же влияние искусственной "добавки" электромагнитного излучения на организм человека?

Взаимодействие электромагнитных волн с веществом является одним из фундаментальных явлений в природе. В наше время особую актуальность приоб-

ретает проблема воздействия волн на живые организмы.

Характер воздействия зависит в первую очередь от интенсивности (мощности) излучения P , частоты несущего колебания f и частот модуляции. В зависимости от мощности излучения различают тепловое (энергетическое) и нетепловое (информационное) воздействия. Условной границей между этими областями является величина мощности 10 мВт/см^2 . При этой величине локальное увеличение нагрева мышечной ткани составляет примерно $0,1^\circ\text{C}$.

Значительно большие мощности используют в медицине для теплового лечения простудных, воспалительных заболеваний (диатермия), а еще большие (сотни ватт) — при лечении онкологических заболеваний. При этом локальное повышение температуры в области злокачественных образований достигает $42...45^\circ\text{C}$ (гипертермия).

При длительном воздействии на организм человека больших плотностей излучения возможны отрицательные последствия: стандартами по гигиеническому нормированию устанавливаются предельно допустимые их уровни.

Изучение биологических эффектов нетепловых уровней излучений представляет наиболее интересную и актуальную проблему в области электромагнитобиологии.

В области низких интенсивностей имеет место парадоксальный эффект, когда знак и величина биологического эффекта не зависят от изменения мощности облучения в тысячу—десяти тысяч раз. Это обстоятельство и позволило ввести в обиход понятие "информационного" влияния низкочастотных колебаний на живые организмы (по аналогии с принципом работы различных электронных схем, когда полезный эффект достигается при преодолении некоторого порогового уровня и далее в достаточно широких пределах он не зависит от величины "входного" сигнала).

Частота излучения определяет лишь глубину проникновения и особенности поглощения излучения в живых организмах. Например, волны метрового диапазона слабее поглощаются телом человека, чем волны дециметрового диапазона, а волны миллиметрового диапазона практически полностью поглощаются в тонком слое кожи человека (область КВЧ-терапии).

Проанализируем более детально воздействие электромагнитных волн на организм человека на примере миллиметровых (ММ) волн (КВЧ диапазона). С этим диапазоном связаны особые надежды их применения в нетрадиционных областях — медицине, биологии, биотехнологии.

В чем же особенности воздействия миллиметровых волн на организм человека?

Миллиметровый диапазон волн ($\lambda = 1...10 \text{ мм}$ или $f = 300...30 \text{ ГГц}$) был освоен сравнительно недавно, в 1965 г. В это время в России промышленностью были освоены разработанные под руководством Н. Д. Дементова и М. Б. Голанта широкополосные генераторы — лампы обратной волны с продольным магнитным полем (ЛОВ-О), с помощью которых был перекрыт не только миллимет-

ровый, но и субмиллиметровый диапазон ($\lambda = 1 \dots 0,1$ мм). Эти волны занимают промежуточное положение между классическим СВЧ диапазоном (сантиметровые волны) и оптическим диапазоном (инфракрасные волны).

Непосредственным объектом воздействия электромагнитной волны (точнее, электрической составляющей волны) являются свободные электрические заряды (электроны и ионы), электрические дипольные молекулы, а также отдельные фрагменты биомолекул, имеющих разнесенные в пространстве электрические заряды. При падении ММ волны на кожу человека главной мишенью являются полярные молекулы воды, имеющие большой дипольный момент ($\sim 1,84D$). Вода является самым сильным поглостителем ММ волн. Так, слой воды толщиной в 1 мм ослабляет интенсивность волн в 100 раз при $\lambda = 10$ мм и в 10^6 раз при $\lambda = 2$ мм. Энергия волны трансформируется в кинетическую энергию поступательного и вращательного движения молекул воды. Хотя эта энергия и рассеивается в виде тепла за короткие промежутки времени — порядка 10^{-10} с, молекулы воды могут оказывать влияние на различные физико-химические процессы, например, на гидратацию белков (рис. 1).

Связанные молекулы воды из-за ограничений в отдаленных свободах (подвижности) значительно меньше поглощают энергию волны, которая преобразуется, в основном, в кинетическую энергию качательного (либрационного) движения. Но и в этом случае молекулы воды также могут оказывать влияние на активность биомолекул. Так как кожа человека примерно на 65 % состоит из воды, миллиметровое излучение полностью поглощается в тонком слое кожи ($0,3 \dots 0,5$ мм).

Как уже упоминалось, ММ волны активно используются при лечении различных заболеваний, то есть их действие проявляется на организменном уровне. Как же это происходит при учете полного затухания электромагнитных волн в тонком слое кожи (эпидермис, дерма)?

Уже в первых экспериментах, выполненных на микроорганизмах (кишечная палочка, дрожжи и др.), выяснилось, что биологический эффект может сильно зависеть от частоты (f), а величина эффекта оказывается почти одинаковой при изменении мощности волны (P) в достаточно больших пределах (рис. 2).

В поле непосредственного действия ММ волн оказываются следующие анатомические структуры кожи: рецепторы, кровеносные и лимфатические капилляры, иммуно-компетентные клетки (Т-лимфоциты). С участием именно этих структур в основном и происходит первичная рецепция ММ волн.

С учетом особенностей поглощения ММ волн в коже и интерференционных явлений в области антенно-коже могут иметь место следующие физические явления: а) появление больших градиентов поля и температуры по глубине кожи из-за сильного поглощения ММ волн одной компонентой кожи; б) появление больших градиентов поля и температуры по поверхности кожи из-за интерференционных явлений; в) резонансов

поглощения ММ волн кровеносными и лимфатическими капиллярами; г) возбуждение акустических и акусто-электрических волн в коже и клеточных мембранах соответственно.

Температурный градиент в дерме может быть порядка 2 град/мм. При таких градиентах в жидких слоях может возникнуть вынужденная тепловая конвекция. Она может оказать существенное влияние на прохождение ионов и различных веществ через клеточные мембраны. В плоских капиллярах при локальных тепловых возмущениях могут возникнуть макроскопические ячейки (типа ячеек Бенара), которые существуют далеко от локальных возмущений.

Градиент температуры по поверхности кожи обусловлен интерференционными явлениями в области "антенно-кожа". В интерференции участвуют основные волны и их гармоники. В этом случае на коже появляются три-четыре тепловых пятна с размером менее 1 мм и повышенным температурой в них на 3...5°. Температурные градиенты достигают 10 град/мм. Такие тепловые пятна, случайным образом перемещающиеся по поверхности кожи, раздражают кожные рецепторы (как бы

производят тепловую массу) и, следовательно, активизируют их работу. С подобными явлениями мы имеем дело, по-видимому, в случаях гипотермостерии, лазерной акупунктуры и т. д.

Вообще в живых системах, являющихся сложными открытыми неравновесными системами, роль тепловых, концентрационных и других неоднородностей чрезвычайно велика. Температурные градиенты могут, в принципе, привести к изменению биохимических процессов в коже, электрической импульсации в нервных волокнах, а также к изменению обмена и синтеза веществ клетками в области кожи.

Известно, что в дерме находятся кровеносные и лимфатические капилляры. В модельных экспериментах с полыми диэлектрическими капиллярами, производящими прямоугольный волновод через неизолирующие отверстия в верхней и нижней стенках волновода, было показано, что при протекании через капилляры различных жидкостей возникает сильное резонансное поглощение при изменении частоты генератора (рис. 3). Для каждого капилляра с жидкостью экспериментально можно подобрать частоту f , для которой эквивалентная добротность Q достигает огромных значений — до 10^6 (!). В таких случаях значительно изменяется скорость протекания жидкости через капилляр, ее вязкость и другие параметры. Роль изменения этих параметров трудно переоценить, если перенести условия модельного эксперимента на реальные условия облучения кожи пациента терапевтическим аппаратом.

В ряде экспериментов было показано, что под действием ММ волн клетки могут повысить синтез веществ, отвечающих за иммунный статус организма. С этим фактом связан, в частности, полилечебный эффект ММ волн.

При облучении кожи человека электромагнитной волной "векторная" электрическая волна [1 — 2] так как несущее колебание имеет обычно амплитудную, частотную или смешанную модуляцию, то в коже возникает низкочастотная звуковая составляющая. Детектирование колебаний возможно, в принципе, за счет радиоакустического эффекта нелинейности вольтамперной составляющей межклеточных контактов. Хорошо известно, что звуковые (вибрационные) колебания также могут оказывать термолечебный эффект на организм человека.

Каждая клетка окружена бислоем липидной мембраной, которая для всей клетки играет такую же роль, как кожа для организма человека. С точки зрения электродинамики, диэлектрическая мембрана клетки является объемным резонатором сложной формы. Формальный расчет показывает, что в таком резонаторе могут возбуждаться акусто-электрические волны в КВЧ диапазоне, причем по периметру мембраны (в плоскости центрального сечения) укладывается несколько десятков волн. С учетом больших потерь на поглощение поддержание колебаний в мембране может иметь место за счет энергии метаболических процессов в клетке. Хотя обсуждений вопроса носит дискуссионный характер,

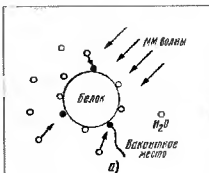


Рис. 1 Преобразование энергии электромагнитной волны в кинетическую энергию молекул воды, занимающей вакантное место на поверхности белка (а) и биологическая активность белка в зависимости от его гидратации (б).

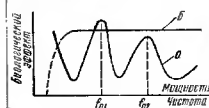


Рис. 2 Зависимость биологического эффекта от частоты (а) и мощности (б).

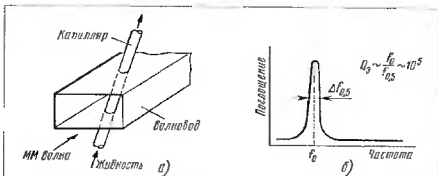


Рис. 3 Капилляр с жидкостью, пронизывающий прямоугольный волновод (а), и зависимость от частоты поглощения волны капилляром с жидкостью (б).

можно предположить, что роль акусто-электрических волн может быть сведена к "массажу" поверхности мембраны, активирующему транспорт воды, ионов и различных веществ через мембрану, устранению "застойных" явлений в ней. Интересно отметить, что впервые идею о возможности когерентных колебаний на поверхности биологических мембран высказал известный физик Г. Фрёлих четверть века назад [6].

Таким образом, с анатомическими структурами кожи, которые оказываются непосредственно в поле действия ММ электромагнитных волн, могут быть связаны следующие биологические эффекты: изменение гидратации белковых структур рецепторов, увеличения проницаемости капилляров для протекающей жидкости, изменение физико-химических параметров внутрикапиллярной жидкости, увеличение синтеза клеточными структурами биологически активных веществ лечебного свойства, изменение характера импульсной электрической активности в нервных волокнах и т. д. что касается реакции на организмы на уровне, то она возможна при участии нервной системы организма и гуморального фактора (кровь, лимфа, межклеточная жидкость).

Схематически проявление лечебного эффекта, например внутренних органов, можно представить следующим образом. По нервным волокнам информация, возникающая под влиянием облучения кожи, поступает в отдел спинного мозга — на пластинку Рекседа, которые выполняют роль рабочих "биосимюляторов". Здесь сигналы, полученные от кожи и внутренних органов, обрабатываются и сигналы "действия" передаются в головной мозг, который и принимает решение и меры по восстановлению нормальной работы органа, дающего обой.

Какие же выводы мы должны сделать в заключение?

Уникальные возможности практического использования низкочастотных миллиметровых волн в итрадиционных областях (медицина, биотехнология и т. д.) связаны с некоторыми их особенностями. Эти волны сильно поглощаются водой, являющейся главным компонентом всех живых существ. Соизмеримость основных анатомических структур в коже с длиной волны в ней обуславливает сильную частотную зависимость поглощения

облучения. Все это приводит к появлению больших градиентов поля, температуры и служит важным раздражителем информационных каналов организма, начинающихся в коже и продолжающихся в информационных каналах всего организма (гуморальная среда и нервная сеть).

Принципиальная возможность поддержки акустических (акусто-электрических) волн в тканях и клеточных мембранах позволяет высказать предположение о том, что в межклеточных информационных константах большую роль играют, наряду с физико-химическими механизмами, волны КВЧ диапазона (клетка с клеткой "разговаривает" в КВЧ диапазоне). Анализ показывает, что все эти эффекты проявляются именно в КВЧ диапазоне и значительно слабее выражены в соседних частотных диапазонах (инфракрасном, сантиметровом и, тем более, в видимом, дециметровом, метровом диапазонах).

Важно обратить внимание также еще на одно обстоятельство. КВЧ диапазон с точки зрения насыщенности электромагнитного фона является беспомеховым. Если беспомеховый видимый (световой) диапазон электромагнитных волн природы использовала для построения аппарата зрения, то КВЧ диапазон мог быть варезервирован самой природой для построения информационных каналов общения между клетками.

ЛИТЕРАТУРА

1. Девятков Н. Д., Голант М. В., Бейский О. В. Миллиметровые волны и их роль в процессах жизнедеятельности. — М.: Радио и связь, 1991.
2. Девятков Н. Д., Голант М. В., Бейский О. В. Особенности медико-биологического применения миллиметровых волн. ИРЭ РАН, М., 1994.
3. Международные симпозиум "Миллиметровые волны: негеловой интенсивности в медицине". Сборник докладов ИРЭ РАН М., 1991 (в 3 томах).
4. Deviatkov N. D., Betskiy O. V. (Ed). Biological aspects of low intensity millimeter waves. JSC "Novosti", Moscow, 1994.
5. Сборник докладов 10-го Российского симпозиума с международным участием "Миллиметровые волны в медицине и биологии", 24—26 апреля 1995 г., ИРЭ РАН, М.
6. Frolich H. (Ed.). Biological Coherence and Response to External Stimuli. Springer-Verlag, B. N.-Y. L. P. T. — 1988
7. Бейский О. В. Миллиметровые волны в биологии и медицине. Радиотехника и электроника. Наука, РАН. М.: г. 38, № 10, 1993.

Известно, что принцип получения псевдостереозображения по системе ABDY заключается в задержке на 0,7 мкс "красной" составляющей сигнала в приемном тракте и наблюдении изображения через специальные очки со светофильтрами красного и сине-зеленого цвета [1, 2].

Предлагаемая модификация системы ABDY (далее для краткости ABDY-М) основана на задержке не "красной", а "синей" составляющей сигнала. Не влияя заметно на качество изображения, это имеет определенные преимущества в конструктивном выполнении. Так, во-первых, значительно упрощается задача получения линейной ФЧХ линии задержки в рабочем интервале частот, поскольку для "синего" сигнала существует 0,6 МГц, а для "красного" — 1,5 МГц. Во-вторых, по той же причине при наиболее простом варианте подключения линии задержки после видеосигнала, непосредственно к одному из катодов кинескопа, его межекатодная емкость оказывает существенно меньшее влияние на параметры линии. В-третьих, в случае применения в качестве линии задержки фазовых контуров снижается их требуемый порядок при однократном уменьшении фазовых искажений. Например, для реализации системы ABDY необходимо использовать фазовый контур, как минимум, третьего порядка, при этом расчетное отклонение ФЧХ от линейной будет равно около 4°. А для системы ABDY-М вполне достаточно фазового контура второго порядка, причем его ФЧХ отклонится не более, чем на 0,6°. В-четвертых, появляется возможность использовать магнитотросовидки при монтаже катушек, индуктивности которых обычно равна десяткам долям, а в отдельных случаях и единицам миллигенри, материалы с относительно высоким значением магнитной проницаемости (600...2000), что значительно упрощает как изготовление контуров, так и конструкции.

Для того чтобы наблюдать стереоэффект по системе ABDY-М, необходимо также использовать другие светофильтры: синего и желтого. В этом, кстати, состоит еще одно, не столь явное, преимущество варианта системы, поскольку подобрать оттенок и насыщенность таких светофильтров, при которых искажение белого минимальны, а стереоэффект проявляется максимально, на практике значительно проще, нежели красного и сине-зеленого.

Следует остановиться подробнее на проблемах практической реализации системы ABDY-М. Со схемотехнической точки зрения целесообразно использовать вариант подключения линии задержки непосредственно к "синему" катоду кинескопа, как наиболее простой и позволяющий получить хорошие результаты. Однако в таком варианте возникает простая проблема согласования линии задержки с малым выходным сопротивлением видеосигнала и сравнительно большим входным сопротивлением нагрузки. Рассогласование линии задержки, как известно, ведет к искажениям ФЧХ и АЧХ. Впрочем, проблема эта разрешима, о чем подробнее будет рассказано ниже.

При разработке конструкции было решено отказаться от применения линий с определенными параметрами, так как стандартные линии часто имеют значения волнового сопротивления, на позволяющие их согласовать в указанном выше варианте, а самодельные линии, как правило, отличаются плохой повторяемостью и низкой стабильностью параметров. Все это сводит на нет преимущества таких линий.

МОДИФИКАЦИЯ СИСТЕМЫ ПСЕВДО-СТЕРЕОТЕЛЕВИДЕНИЯ ABDY

Д. ПАНКРАТЬЕВ, г. Ташкент

В этой статье вниманию радиолюбителей предлагается модификация системы псевдостереоскопического телевидения ABDY, имеющей, на взгляд автора, некоторые преимущества перед опубликованным ее вариантом [1], а также рассмотрен ряд вопросов, касающихся получения хорошего качества псевдостереоразображения вообще и в телевизорах ЗУСЦТ в частности.

Наилучшие результаты в качестве линии задержки с точки зрения формирования высококачественного псевдостереоразображения позволяют получить фазовые контуры. Подробный порядок расчета линий на фазовых контурах дан в [3]. Ниже изображены схемы линий, рассчитанных согласно рекомендациям [3], и дан анализ их работы применительно к системе ABDY-M.

Нормированная крутизна ФЧХ фазового контура равна $\omega_0/2-1,3$, где ω_0 — максимальная циклическая частота входного сигнала. В нашем случае $\omega_0 = 2\pi \cdot 0,6 \cdot 10^6 = 3,77 \cdot 10^6$, а $T=0,7$ мкс — время задержки. Значит, необходимо применить фазовый контур второго порядка, собранный, например, по схеме на рис. 1. Номиналы элементов рассчитывают по соотношениям (1): $L_0 = 3,37 \cdot 10^{-7} R_0$, $C_0 = 1,33 \cdot 10^{-10} / R_0$, $L_0 = R_0 / 7,52 \cdot 10^4$, $C_0 = 3,37 \cdot 10^{-10} / R_0$, где R_0 — волновое сопротивление контура.

Здесь, естественно, возникает вопрос о выборе волнового сопротивления и уместно поговорить о вышеупомянутой проблеме согласования. Выходное сопротивление видеосигнала блока МЦ-3 равно $1,15 \text{ кОм}$, а сопротивление его нагрузки — около 80 кОм . Следовательно, даже примерное согласование контура одновременно по входу и выходу не представляется возможным. Обратимся к описанию ФЧХ контура. Согласно [3] рассчитана функция $F(\Omega)$, численно равен тангенсу угла фазового сдвига сигнала при прохождении его через контур. Окончательный вид функции (2) —

$$F(\Omega) = \frac{1}{1 - \Omega^2} \cdot \frac{1}{R_0 + R_0} \left(R_0 + \frac{R_0}{\Omega^2} \right),$$

где $\Omega = \frac{\omega}{\omega_0}$ — нормированная расстройка; ω_0 — циклическая частота входного сигнала; ω_0 — циклическая частота резонанса контуров L_0C_0 , L_0C_0 , R_0 — сопротивление источника и нагрузки соответственно.

Из функции (2) видно, что для согласованной линии, т. е. при $R_0 = R_0 = R_0$ будет $F(\Omega) = \Omega/(1 - \Omega^2)$. Не составляя труда заметить, что это справедливо и при $R_0 = R_0$, и при $R_0 = R_0$, т. е. ФЧХ контура поворачивает ФЧХ полностью согласованного контура и в случае согласования только по входу или по выходу. Однако следует помнить, что АЧХ при этом в общем

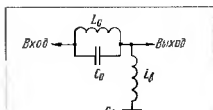


Рис. 1

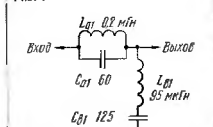


Рис. 2

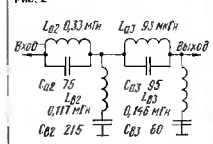


Рис. 3

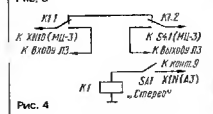


Рис. 4

Исходя из соотношений (1) и конструктивных соображений, наиболее целесообразно выбрать $R_0 = R_0$, т. е. в пределах $1,15 \text{ кОм}$. При среднем значении $R_0 = 1,25 \text{ кОм}$ номиналы элементов получаются следующие: $L_0 = 0,42 \text{ мГн}$, $L_0 = 0,17 \text{ мГн}$, $C_0 = 100 \text{ пФ}$, $C_0 = 270 \text{ пФ}$. АЧХ такого контура имеет спад около -6 дБ на верхней частоте $0,6 \text{ МГц}$. Это вполне приемлемо, хотя равномерность АЧХ можно и улучшить, что позволит избежать искажения в цветопередаче и воспроизведении мелких деталей. Для этого необходимо использовать контур четвертого порядка, который в простейшем случае состоит из двух последовательно соединенных одинаковых контуров второго порядка с волновым сопротивлением $1,25 \text{ кОм}$, каждый из которых обеспечивает время задержки $0,35 \text{ мкс}$. Схема одного такого контура изображена на рис. 2.

Другое возможное решение может быть по схеме на рис. 3. Спад АЧХ для обоих контуров на частоте $0,6 \text{ МГц}$ — около -3 дБ , верхняя рабочая частота при спаде АЧХ -6 дБ — около $0,8 \text{ МГц}$, расчетное отклонение ФЧХ от линейной на частоте $0,6 \text{ МГц}$ для первого контура не превышает $0,6^\circ$, а для второго контура реально определяется лишь точностью подбора элементов и их стабильностью. Номиналы элементов контуров по схемам на рис. 2 и 3 рассчитывают по соотношениям (4): $L_0 = 1,56 \cdot 10^{-7} R_0$, $L_0 = R_0 / 13,2 \cdot 10^4$, $C_0 = 1/13,2 \cdot 10^{-10} / R_0$, $C_0 = 1,56 \cdot 10^{-10} / R_0$, $L_0 = 2,67 \cdot 10^{-7} R_0$, $L_0 = R_0 / 10,68 \cdot 10^4$, $C_0 = 1/10,68 \cdot 10^{-10} / R_0$, $C_0 = 2,67 \cdot 10^{-10} / R_0$, $L_0 = 7,45 \cdot 10^{-8} R_0$, $L_0 = R_0 / 8,54 \cdot 10^4$, $C_0 = 1/8,54 \cdot 10^{-10} / R_0$, $C_0 = 7,45 \cdot 10^{-10} / R_0$.

Согласно (1), (4) можно пересчитать номиналы элементов вышеприведенных линий из других волновых сопротивлений, то есть согласовать их практически с любым видеосигналом. Из-за сравнительной уязвимости этих контуров не рекомендуется использовать в канале «красного» сигнала. Однако при необходимости нужно проводить расчет, руководствуясь [3].

Линию задержки, например, в блоке МЦ-3 телевизоров ЗУСЦТ устанавливается, используя коммутационное устройство по схеме на рис. 4. В разрыв печатного проводника, идущего от контрольной точки ХН10 к разъему S41, включают коммутационное устройство, позволяющее выключать линию, переходя тем самым к обычному просмотру видеопрограмм.

В заключение — несколько слов о примененных деталях. Катушки могут иметь любое исполнение, нужно только свести к минимуму индуктивный связь между ними. Например, катушки L_0 и L_0 (рис. 1) были выполнены на кольцах из феррита 2000НМ габаритами $10 \times 6 \times 5 \text{ мм}$ и содержали соответственно 20 и 13 витков провода ПЭВ-1 0,1. Обмотки каждой из катушек равномерно распределены на половине кольца, что способствует снижению их собственной емкости.

Конденсаторы — любые многослойные керамические с отклонением емкости от номинального значения не более $\pm 10\%$ и рассчитанные на напряжение не ниже 150 В . Пере — РЗС47 (паспорт 128 500 745).

ЛИТЕРАТУРА

1. За рубежом. Стереоскопическое цветное телевидение: состояние реальности? — Радио, 1983, № 9, с. 55.
2. Галамаш В., Рябухин А. Объемное изображение. — Радио, 1984, № 8, с. 28–30.
3. Трифонов И. И. Расчет электронных цепей с заданными частотными характеристиками. — М.: Радио и связь, 1988.

случае не соответствует АЧХ полностью согласованной линии и требуется ее дополнительная оценка, для того чтобы судить о возможности применения согласованного по входу (или по выходу) контура в конкретном устройстве.

ВИДЕОТЕХНИКА ФОРМАТА VHS

"ВОЙНА" ФОРМАТОВ

Ю. ПЕТРОПАВЛОВСКИЙ, г. Таганрог

Публикуемый здесь материал — это исторический экскурс, немного не вписывающийся в цикл статей по освещению технических решений аппаратуры бытовой кассетной видеозаписи формата VHS и ее ремонту. Однако пройти мимо этого события автор и редакция тоже не сочли для себя возможным. Ведь уже 20 лет существует формат VHS. Развивая его по принципу совместимости (S-VHS, VHS-C, S-VHS-C, Hi-Fi стереозвук, W-VHS), фирма-разработчик JVC оставалась ведущей в области бытовой кассетной видеозаписи в течение этих лет, выиграв в конкурентной борьбе с фирмой SONY — разработчиком формата BETAMAX. Как складывалась эта борьба, какое состояние российского рынка бытовой видеотехники, и рассказано в этой статье. После этого небольшого, но мы надеемся, интересного отступления, редакция продолжит публикацию материала по ремонту видеомagnetофонов.

За последние два года произошло насыщение российского рынка бытовой видеотехники. Как и следовало ожидать, широкий ассортимент представляемой на нем видеоаппаратуры имеет свою специфику и существенно отличается от соответствующих ассортиментов на рынках западных стран. Наиболее характерной чертой московского рынка видеоаппаратуры можно считать высокий удельный вес продаж видеоплееров. По данным информационного агентства "Мобиле" (на август 1994 г.) наибольший рейтинг по числу торгующих фирм имеют видеоплееры AKAI — 120 (118 фирм, средняя цена — 197 долларов). Число моделей видеоплееров, предлагаемых к продаже, стремится к крупной отметке 100. Одновременно число моделей видеомagnetофонов действенно высокого класса можно пересчитать по пальцам. Особо необходимо отметить ситуацию с неоправданно низкой разницей в ценах видеоплееров и видеомagnetофонов среднего класса. Например, по данным агентства "Мобиле" средняя цена видеомagnetофона JVC — HI-D1200 — 284 доллара, а видеоплееры PANASONIC — P04 — 232 доллара, SONY — PS1EE — 265 долларов.

На рынках западных стран объем продаж и ассортимент видеоплееров, как аппаратов вспомогательного назначения и имеющих крайне ограниченные возможности для пользователей, весьма незначительны. Зато число моделей видеомagnetофонов исчисляется сотнями, причем очень много аппаратов высших категорий сложности. Такое положение объясняется совершенно естественными и объективными причинами. Западный рынок видеотехники предельно насыщен уже многие годы, и потенциальных покупателей в последние годы там в большей степени интересует высококачественная аппаратура и именно в смысле обеспе-

чения показателей качества изображения, звука и реально значимых потребительских удобств. Чтобы ориентироваться в обилии разнообразных моделей видеоаппаратуры, форматах, технических характеристиках, оверсинх-особенностях и других вопросах, совершенно недостаточно рекламной информации фирм-производителей и торговли из-за ее необъективности. В этой ситуации за рубежом широко практикуют различные конкурсы на "лучшую модель года", проведение испытаний аппаратуры независимыми экспертами. Детельное освещение всех волнующих потребителей вопросов обеспечивают многоотраслевые специализированные и периодические издания ("JAPAN CAMERA TRADE NEWS", "SCREEN DIGEST", "WHICH VIDEO" и многие другие).

У нас пока главным вопросом большинства потенциальных покупателей можно назвать цену, хотя в последние годы появилась категория покупателей, которых интересуют и качественные характеристики видеоаппаратуры. По мере дальнейшего насыщения рынка доля покупки аппаратуры этой категории будет постоянно возрастать. В связи с чем будет расти и потребность в квалифицированной информации. Пока же, по мнению автора, пользуясь существующей рекламой видеотехники, невозможно достоверно ориентироваться в многообразии моделей, характеристиках и возможностях аппаратуры, так как почти всегда любая реклама конкретного аппарата оперирует превосходными степенями слова лучший, а формы подачи многих технических подробностей часто вводят в заблуждение покупателей. Поскольку проведение технических экспертиз видеотехники и публикация соответствующих материалов в российских печатных изданиях дело будущего, представляется целесообразным воспользоваться накопленным

мировым опытом в этой области (в конце 1994 г. начал выходить русский перевод журнала "STEREO&VIDEO" с результатами тестирования видеотехники).

Многие читатели помнят, какой интерес радиолюбителей вызвали вопросы переделки и конструирования аппаратуры видеозаписи в 60-е и 70-е годы. В печати регулярно появлялись сообщения о самых разнообразных конструкциях видеомagnetофонов и форматах видеозаписи, на полках магазинов в иллей стране стали появляться сначала катушечные, а затем и кассетные цветные видеомagnetофоны ("Электроника-501-видео", "Сатурн-505", "Спектр-203" и др.). Однако массовый потребитель не спешил их приобретать, аппаратура пылилась на полках магазинов невостребованной. Такое положение объяснялось многими объективными причинами. Высокая цена, малое время записи, никакая надежность, несоместимость различных типов аппаратуры, дороговизна видеокассет и многие другие недостатки видеотехники тех лет препятствовали ее широкому распространению.

Кардинально ситуация изменилась после того, как японские фирмы JVC и SONY почти одновременно (в 1975 г.) выступили на рынок бытовые кассетные видеомagnetофоны форматов VHS и BETAMAX. Их конструкции оказались настолько удачными, что сразу завоевали широкие симпатии публики в Японии, США, а затем (с 1978 г.) и в Европе. С этого же времени началась и известная "война" форматов между фирмами JVC и SONY (формат VIDEO-2000 фирмы PHILIPS не получил распространения и быстро сошел с "поля боя"). Борьба, вначале шедшая с переменным успехом, все же завершилась победой фирмы JVC, в чем немаловажную роль сыграла поддержка формата VHS концерном MATSUSHITA. В настоящее время подавляющее число видеомagnetофонов, выпущенных десятками различных фирм во всем мире, работает в формате VHS. На сегодняшний день продано свыше 470 млн. аппаратов с маркировкой VHS[1].

За прошедшие 20 лет появлялось и исчезало множество самых разнообразных технических решений, предложенных новыми форматами бытовой видеозаписи и прогнозов на скорое вытеснение ими формата VHS, однако ни один из прогнозов до сих пор не оправдался. Читателям не надо объяснять, как трудно реализовать на практике новые идеи, изобретения, тем более на протяжении значительного времени. Разработчикам и конструкторам фирмы JVC это удается до сегодняшнего дня, что совершенно справедливо можно считать уникальным достижением фирмы в области бытовой кассетной видеозаписи. Большинство сколько-нибудь заметных усовершенствований и нововведений аппаратуры видеозаписи, базирующейся на формате VHS, впервые предлагала сама фирма JVC, причем в конструкциях для широкого применения, а не в единичных, выставочных экземплярах.

Существует мнение о том, что JVC — дочерняя фирма концерна MATSUSHITA. Однако это — совершенно различные компании, связанные определенным контрактом [2]. Можно предположить, что один из его пунктов обязывает обе фирмы выпускать бытовую видеотехнику

Параметр, характеристика	Значение в формате — системе	
	BETAMAX — HTCC(ПАЛ)	VHS — HTCC(ПАЛ)
Скорость движения ленты, мм/с	40 (16,73)	33,36 (23,36)
Диаметр барабана, мм	74,48	62
Скорость движения лентоголовки, м/с	6,973 (5,832)	5,8 (4,84)
Ширина дорожек, мкм	56,5 (32,8)	53 (40)
Угол взаимного расположения видеоголовок, град	180 (179,612)	180
Размеры видеокассеты, мм	156x95x25	188x102x25
Время записи, мин	60 (130) на кассете L-500	120 на кассете T-120 (180 на кассете E-180)
Несущая синхронизация, МГц	3,5 (3,8)	3,4 (3,8)
Частота уровня белого, МГц	4,5 (5,2)	4,4 (4,8)
Цветовая поднесущая, кГц	658,374±0,2(660,19±1,953)	629,371 (626,953)
Возможность работы в системе CEKAM	с отдельным блоком цветности	с блоком цветности ПАЛ

только на базе формата VHS (S-VHS, VHS-C, S-VHS-C). Автору неизвестно ни одного случая нарушения этого положения. Однако концерн MATSUSHITA разрабатывает и выпускает профессиональную аппаратуру других форматов (MII, D3, D5), а фирма JVC продолжает разработки, базирующиеся на формате VHS. Уместно отметить, что другие ведущие фирмы стремятся заполнить любые секторы рынка в зависимости от складывающейся конъюнктуры, например, фирма SONY последние годы в больших объемах также выпускает видеотехнику VHS, в том числе и на российский рынок.

На текущий момент фирма JVC, отмечавшая в 1993 г. свое 65-летие, кроме штаб-квартиры в Японии, имеет 62 филиала в 23 странах мира. На ее заводы занято 14000 рабочих [1], годовой оборот — 6,3 млрд. долларов.

Представляет интерес рассмотреть эволюцию видеотехники предложенной фирмой JVC формата в сравнении с конкурирующими форматами, а также наиболее значимые технические решения и НОУ-ХАУ. Для сравнения в таблице указаны основные параметры и характеристики форматов VHS и BETAMAX, в наибольшей степени повлиявшие на их конкурентоспособность.

По возможности видеомagnetофонов работать с сигналами различных систем телевидения форматы BETAMAX и VHS значительно отличаются. Видеомagnetофоны BETAMAX — HTCC способны обеспечить весьма высокое качество изображения и звука (высокие скорости ленты/головки и протяжки, большой диапазон девиации ЧМ сигнала яркости), причем лучше, чем могут дать аппараты VHS — HTCC, однако на кассету BETAMAX L-500 (имеют индекс [I]) невозможно записать полнометражный фильм, что оказалось с точки зрения потребителей большим недостатком. В системе ПАЛ аппаратура обоих форматов обеспечивает примерно одинаковое качество изображения и звука, однако на кассету VHS можно записать на один фильм больше. Видеомagnetофоны BETAMAX — CEKAM обеспечивают лучшее качество изображения (по сигналу цветности), чем аппараты VHS — CEKAM, но соответствующий им сектор рынка относительно невелик и это обстоятельство не повысило шансов фирмы JVC на победу.

Не менее важным фактором, повлиявшим на соотношение сил, стал вопрос технологичности аппаратуры. Для приме-

ра на рис. 1 эскизно показаны вид на ЛПМ и конфигурация ленты в нем для видеомagnetофонов формата VHS, а на рис. 2 — для видеомagnetофонов формата BETAMAX (BETACAM). Цифровые обозначения на рис. 1: 1 — видеокассета, 2 — подающая катушка, 3 — БВГ, 4 — кронштейны для крепления штифтов, 5 — демпфирующий ролик, 6 — приемная катушка; а на рис. 2: 1 — видеокассета, 2 — рычаг регулировки натяжения, 3 — стиральная головка, 4, 10 — направляющие стойки, 5 — прижимной ролик, 6 — ведущий вал, 7 — поворотная платформа, 8 — блок надподвижных головок, 9 — БВГ, 11 — запорный рычаг. Как видно из рисунков ЛПМ видеомagnetофона VHS значительно проще и потенциально надежнее, так как длина извлекаемой из кассеты VHS петли ленты намного короче, чем в аппаратах BETAMAX. Это обстоятельство ощущают и пользователи: переходные режимы (Боспр/Стоп/Перемотка) в аппаратуре VHS протекают существенно быстрее. Сложные и дорогие в производстве и электрическая часть аппаратуры BETAMAX (канал изображения), особенно для сигналов ПАЛ и CEKAM. Намного больше трудностей вызывает и при реализации многосистемных исполнений формата VHS. Даже для варианта ПАЛ/CEKAM почти удваивается число элементов блока цветности, а верхние диски БВГ в видеомagnetофонах систем HTCC и ПАЛ/CEKAM различаются геометрией из-за разного взаимоположения видеоголовок.

Перечисленные недостатки аппаратуры BETAMAX постепенно склонили чашу весов в пользу формата VHS. К тому же положенный в его основу инженерами фирмы JVC принцип совместимости позволил на протяжении многих лет, вплоть до сегодняшнего дня модернизировать аппаратуру, улучшая ее параметры. При этом вытесненная ранее видеомagnetофонная видеососуществовала с новейшей также, как в похожей ситуации цветные и черно-белые телевизоры.

Вступление в конкурентную борьбу концерн MATSUSHITA резко усилило позиции формата VHS, после чего одна за другой колеблящиеся японские фирмы приступили к выпуску видеомagnetофонов VHS. Тем не менее фирма SONY продолжала непрерывно предлагать новые технические решения. Ее инженеры не дали покоя на лавах коллегам из JVC и MATSUSHITA, начав своеобразный поединок.

Одним из главных недостатков формата BETAMAX — малое время записи — фирма SONY устранила, выпустив аппаратуру с индексами [II] и [III] (HTCC), а также LP (ПАЛ/CEKAM) с пониженными в два и три раза скоростями протяжки ленты. В то же время и фирма JVC выпустила двух- и трехскоростные модели, причем третьи скорости для аппаратов HTCC оказались излишеством. Наиболее оптимальным решением оказалось использование двухголовой головки БВГ с длиной рабочего зазора около 20 мкм. Видеомagnetофон с таким устройством способен без переключений в канале изображения работать на стандартной (SP) и уменьшенной в три раза (EP — EXTENDED PLAY) скоростях. Качество изображения при этом одинаково на обеих скоростях, но немного хуже максимально достижимого. Причем возможно использование текущего диска и для работы в системах ПАЛ/CEKAM. Ряд разработанных автором видеомagnetофонов HTCC фирм MATSUSHITA, SHARP, SANYO, JVC обеспечивали вполне удовлетворительное изображение ПАЛ/CEKAM в стандартном режиме SP.

В более высокачественных моделях применяют диски с четырьмя видеоголовками с длиной зазора 60 (SP) и 20 (EP, LP) мкм. В системах ПАЛ/CEKAM при работе на пониженной скорости LP (11,7 м/с) применяют только диски с четырьмя головками. Тройной режим (EP) в европейских моделях не стандартизован, хотя технически он реализуем. Переде-

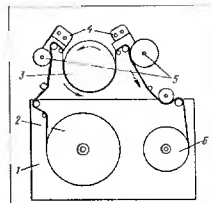


Рис. 1

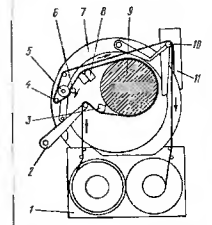


Рис. 2

ланные автором видеомagnetofоны JVC — HR-D235U, SEARS-30557 обеспечивают работу на скорости 7,79 мкс (время записи — 12 ч с кассетой E-240) в режиме ПАЛ (в режиме CEKAM помехи от соседних строк записи в канале цветности слишком велики).

Достаточно высокое качество звука видеомagnetofонов обоих форматов обеспечивается при использовании стандартной скорости в системе HTCL. На американский рынок выпускались модели со стереофоническим звуковым каналом и использованием системы шумоподавления DOLBY-B. Качество звука при этом не уступает звучанию кассетных magnetofонов среднего класса. Например, видеомagnetofон JVC — HR-D235U на высококачественных лентах обеспечивает стереофоническую запись звука в полосе 50...14000 Гц и оборудован системой шумоподавления DOLBY-B.

Однако в европейских моделях при пониженных скоростях не удается получить приемлемое качество звука при его записи на продольные дорожки. Фирмы JVC и SONY решили эту проблему введением в видеомagnetofоны дополнительных звуковых каналов класса HI-FI при использовании записи с ЧМ. В аппаратуре BETAMAX возможна запись до четырех каналов на поднесущую $L_p = 1,381$ МГц, $R_p = 1,68$ МГц, $L_r = 1,53$ МГц, $R_r = 1,829$ МГц. Для формата VHS предусмотрено ЧМ для канала $L = 1,3$ МГц, $R = 1,7$ МГц (в системах ПАЛ/CEKAM $L = 1,4$ МГц, $R = 1,8$ МГц). Запись обеспечивается двумя дополнительными вращающимися головками, сдвинутыми относительно видеолент на 60°, причем строки записи видеосигнала и HI-FI звука на ленте совпадают, что приводит к необходимости принятия дополнительных мер по повышению взаимной помехозащитности каналов изображения и звука. Такими мерами были оптимальное частотное разделение сигналов и выбор различных азимутальных углов видеоголовок ($\pm 6^\circ$) и головок звука ($\pm 30^\circ$). Дополнительно улучшает разделение то обстоятельство, что видеосигнал записывается в поверхностном слое ленты, а звуковые сигналы в углубленных слоях, чему способствуют и специальные конструкции головок.

Первые модели видеомagnetofонов с каналами HI-FI не достигали качества звука при воспроизведении с компакт-диска в части динамического диапазона и уровня шума. В некоторых случаях были заметны помехи в виде треска с частотой 50 Гц от коммутатора головок. Существенно были выше и требования к точности юстировки головок на диске и другим регулировочным операциям. С момента появления первых видеомagnetofонов VHS — HI-FI в начале 80-х годов (первая из известных автору моделей JVC — HR-D556EG появилась у нас в 1985 г.) в них постоянно вносились усовершенствования. В результате даже опытные любители музыки во многих случаях не могут различить звучание с видеомagnetofонов HI-FI и с проигрывателей компакт-дисков. Например, видеомagnetofон JVC — HR-D950E обеспечивает в полосе частот 20 Гц... 20 кГц динамический диапазон не менее 90 дБ и коэффициент нелинейных искажений менее 0,005%. В последние время интерес к аппаратуре VHS — HI-FI в России существенно возрос. Это связано с боль-

шим объемом стереосопровождения спутниковых телевизионных передач, в том числе в цифровом виде (NICAM). Многие современные видеомagnetofоны VHS — HI-FI выпускают с встроенными декодерами NICAM, обеспечивающими аналогичное качество воспроизведения компакт-диска звучание.

В 1987 г. обе конкурирующие фирмы выпустили на рынок видеомagnetofоны новых форматов: JVC — S-VHS (SUPER VHS), SONY — ED-BETA (EXTENDED DEFINITION BETA), — обеспечивающих значительно лучшее качество изображения, чем соответствующие базовые форматы, что достигнуто в основном за счет применения металлопорошковых (MP) и металлизированных (ME) магнитных лент. Алгоритмы обработки видеосигналов в видеомagnetofонах ED-BETA существенно отличаются от примененных в формате BETAMAX, что привело к несомненной выигрыванию. На взгляд автора это оказалось решающим фактором, предопределившим победу формата S-VHS в большинстве секторов рынка, так как разработчики фирм JVC и MATSUSHITA придерживались принципа частинной совместимости. Видеомagnetofоны S-VHS способны записывать и воспроизводить в формате VHS. В последние годы разработчики фирмы JVC еще более повысили степень совместимости в аппаратуре с маркировкой SQPB VHS (SUPER VHS QUASI PLAYBACK), позволяющей воспроизводить записи S-VHS с качеством, соответствующим записям VHS, причем без существенного увеличения цены видеомagnetofона того же класса (PANASONIC: NV-W1, AG-5150, AG-5250).

Технические характеристики современных видеомagnetofонов S-VHS весьма высоки, что позволяет использовать их в профессиональных целях (разрешающая способность — до 500 линий в модели JVC — BR-S605EB, отношение сигнал/шум видеосигнала — до 46 дБ в модели JVC: BR-S522E, BR-S822E). Аппаратура S-VHS получает широкое распространение на региональных студиях в нашей стране, так как цены на нее выше соответствующих цен аппаратуры VHS всего в два-три раза, а цены на технику профессиональных форматов (MII, BETACAM-SP, D3, D5) — на один-два порядка.

Интересная ситуация сложилась в связи с выпуском в 1983 г. фирмой SONY восьмимиллиметровой аппаратуры. Характеристики видеомagnetofонов форматов VIDEO-8 и особенно Hi8 превосходили соответствующие параметры аппаратуры VHS. В сочетании с высокотехнологичным ЛПМ и очень небольшой кассетой конкурентоспособность новой техники фирмы SONY оказалась весьма высокой. Формат был поддержан десятком фирмами [3], что дало повод к многочисленным публикациям в зарубежной печати, предвещающим скорое вытеснение формата VHS с основных рынков. Тем не менее и сейчас аппаратура формата VHS все еще уверенно доминирует на рынке бытовой электроники, а у нас вообще мало кто видел видеомagnetofоны VIDEO-8.

Основное преимущество формата VIDEO-8 — возможность реализации камеркордеров (видеокамер с видеомagnetofоном) очень небольших размеров и массы — было нейтрализовано разработчиками фирм JVC и MATSUSHITA выпус-

ком мультисабаритных видеокассет VHS-C, S-VHS-C на основе все того же принципа частинной совместимости. Малогабаритные кассеты можно устанавливать в любой видеомagnetofон VHS (S-VHS), используя специальную кассету-адаптер (ценой 10...20 долларов). Адаптеры VHS/S-VHS даже немного дороже из-за наличия дополнительных механических узлов, обеспечивающих идентификацию форматов установленных в адаптер кассет (VHS или S-VHS).

В 1980 г. фирма JVC впервые продемонстрировала видеомagnetofон HR-FC100 с универсальным устройством загрузки кассеты. Этот недорогой аппарат позволяет использовать как обычные кассеты VHS, так и компактные VHS-C. Камеркордеры VHS-C (S-VHS-C) несколько не уступают по габаритам и весу аппаратуре VIDEO-8 (Hi8). Например, автор работал с видеомagnetofоном PANASONIC — NV-S78E (модель 1993 г.) формата S-VHS-C/Hi-Fi-стерео с цифровой обработкой видеосигнала. Камера обеспечивает цифровой стоп-кадр, цифровое стробирование, цифровую стабилизацию изображения, цифровое микширование, процесс съемки полностью автоматизирован. Разрешающая способность — более 400 линий, отношение сигнал/шум по видеосигналу — 43 дБ, по звуковому сигналу — 47 дБ, полоса записываемых частот — 50, 20000 Гц. Размеры камеры — 242x115x72 мм, масса — 770 г (без батареи).

Неомаловажным достижением фирмы JVC можно считать разработку и внедрение системы высокоточного монтажа на основе адресованного кода VITS (VERTICAL INTERVAL TIMECODE — временной код в интервалах полей импульсов). В результате удалось провести стандартизацию видеокамер и монтажных устройств в рамках форматов VHS и S-VHS.

Одним из последних достижений фирмы JVC безусловно следует назвать разработку формата V-HS. В нем основные параметры базового формата VHS сокращены, но к тому же обеспечивается работа с широкоформатным сигналом ТВЧ (16:9, 1050 строк, 60 полей). Однако для европейских потребителей это пока можно считать экзотикой, так как европейские вешательные организации лишь только прорабатывают теоретические вопросы по стандартизации ТВЧ, и здесь бытовая техника видеозаписи ТВЧ (16:9) — дело отдаленного будущего.

Фирма SONY в последние годы резко увеличила производство видеомagnetofонов VHS. Например, в ее производственной программе 93/94 г. было 15 моделей VHS и 3 модели Hi8 (не считая камеркордеров). И на нашем рынке в последнее время фирма SONY весьма активна и продает видеомagnetofоны только формата VHS. Это обстоятельство, по мнению автора, и поставило последнюю точку в соперничестве форматов бытовой видеозаписи двух фирм.

ЛИТЕРАТУРА

- Олефиренко П. П. Профессиональная аппаратура фирмы JVC. Часть 1. — Техника кино и телевидения, 1984, № 8, с. 11—15.
- MARUBENI — на рынках России СНГ. — Техника кино и телевидения, 1994, № 2, с. 61—65.
- Эриш Н. П., Демьянов С. Б. Видеооборудование. — Санкт-Петербург: Лениздат, 1993, с. 105—114.

ЗАДЕРЖКА ОТКРЫВАНИЯ КИНЕСКОПА И СТУПЕНЧАТЫЙ ПРОГРЕВ

В. ДАНИЛУШКИН, г. Ульяновск

В журнале уже опубликовано много статей об устройствах продления жизни кинескопа. В них речь шла об узлах главного или ступенчатого прогрева катода, об устройствах задержки подачи высокого напряжения на анод кинескопа, об узлах закрывания электронного прожектора на арам прогрева катода. Рассказывалось и о комплексном устройстве, обеспечивающем сочетание трех предыдущих способов включения кинескопа. В публикуемой здесь статье автором предложен узел задержки, который он использовал как для задержки открывания кинескопа, так и для ступенчатого прогрева катода.

В современных телевизорах 2YCLT, 3YCLT, 4YCLT анодное напряжение на кинескоп появляется почти сразу после включения (через 1...1,5 с). Из-за этого происходит вырыв электронов с холодного катода, что приводит к разрушению его активированного слоя и, в результате, к разному снижению его эмиссионной способности. При этом резко снижается яркость и контрастность изображения, нарушается баланс белого.

Статистические данные по ремонту цветных телевизоров показывают, что 45...50% всех заменяемых кинескопов — это те, которые потеряли эмиссию из-за разрушения катода в пределах гарантийного срока эксплуатации. Долговечность кинескопа, как известно, обеспечивается при условии прогрева нити накала, т. е. катода, в течение времени, не менее указанного в паспорте на кинескоп (серия готовности — не более 15 с). В течение этого времени необходимо отсутствие высокого напряжения на его аноде или закрывание кинескопа. Для обеспечения последнего и предлагается узел задержки его включения.

Принципиальная схема узла задержки для телевизора 2YCLT с модулем цветности МЦ-2 изображена на рис. 1. При включении телевизора конденсатор C1 разряжен, транзистор VT1 открыт. Высокий уровень на его коллекторе через диоды VD1, VD2 поступает на базу транзистора VT2 и открывает его. Следовательно, через цепи R5VD3 и R6VD4, а также открытый транзистор VT2 выходы 5 и 14 микросхемы K174YK1 (МСАС660) модуля МЦ-2 оказываются соединенными с общим проводом. В результате видеосигналы на выходы видеосигналов и, следовательно, кадры кинескопа не проходят и они закрыты положительным напряжением, приложенным к катодам с выходов видеосигналов.

По мере зарядки конденсатора C1 через резистор R1 напряжение на базе транзистора VT1 возрастает и при достижении порогового значения транзистор открывается, что приводит к закрыванию транзистора VT2. Высокое напряжение на

коллекторе транзистора VT2 закрывает диоды VD3 и VD4. На экране телевизора появляется изображение.

Принципиальная схема узла для закрывания кинескопа в телевизорах 3YCLT с модулями цветности МЦ-3, МЦ-31, МЦ-31-1, МЦ-33 показана на рис. 2. Этот узел построен на основе узла по схеме на рис. 1. В этом случае после включения телевизора транзистор VT3 закрывается. Высокое напряжение с его коллектора в течение времени, определяемого постоян-

ной времени цепи R1C1 (не менее 15 с), суммируется через диод VD3 с кадровой импульсной гашения, который поступает через диод VD4. Суммарный сигнал проходит в цепь гашения, по которой ранее приходил только кадровой импульс гашения, что и обеспечивает закрывание кинескопа. При закрывании транзистора VT2 (см. рис. 1) открывается транзистор VT3, диод VD3 закрывается и устройство гашения телевизора начинает работать в обычном режиме, т. е. на экране телевизора появляется изображение. При открывании кинескопа происходит главное увеличение уровня видеосигналов и изменение уровня черного до установленного значения.

Достигнутом узлов по схемам на рис. 1 и 2 можно считать также "мягкий" режим включения источника питания, что повышает надежность телевизора.

Узел по схеме на рис. 1 был применен и при разработке одного из вариантов узла ступенчатого включения накала для устранения броска тока в цепи нити накала после включения телевизора. Этот узел более приемлем для современных моделей телевизоров по сравнению с устройством, описанным в [1]. Принципиальная схема узла ступенчатого включения накала для телевизора "Электрон Л-280" изображена на рис. 3.

При использовании одновременно узлов ступенчатого включения накала и задержки включения кинескопа после подачи напряжения сети на телевизор экран начинает светиться примерно через 20 с, причем первые 10 с происходит прогрев нити накала при положительном напряжении, затем еще 10 с — прогрев при номинальном напряжении и только после этого открывается кинескоп.

В узле ступенчатого включения накала использован реле РЭС-22 (паспорт РЭ 4 500 129) с четырьмя группами контактов, две из которых удалены, а остальные соединены параллельно. Можно использовать и другие реле, надежно срабатывающие при токе 30 мА.

Во многих телевизорах с устройством АББ, например, "Рубин 61ТЦ403Д", происходит насрабатывание его устройства закрывания или срабатывание с недостаточным временем задержки (микросхема K174XА33) с проявлением на экране кистячатости, присущего устройству АББ [2]. Поэтому была проведена экспериментальная проверка узла по схеме на рис. 2 в телевизоре "Найка 61ТЦ469Д", в котором установлен модуль цветности с устройством АББ. Результаты проверки оказались положительными, причем время задержки узла суммировалось с временем триггера задержки в микросхеме K174XА33.

Для питания рассматриваемых узлов используется напряжение +12 В источника питания телевизора. Следует иметь в виду, что для надежного срабатывания узлов транзистор VT1 должен иметь коэффициент передачи тока базы не менее 80.

ЛИТЕРАТУРА

- Банников В. Защита накала кинескопов. — Радио, 1993, № 4, с. 8, 9.
- Холов В., Луц А. Телевизоры 4YCLT. Двухкорпусное устройство. — Радио, 1990, № 1, с. 50—55.

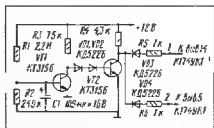


Рис. 1

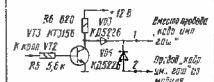


Рис. 2

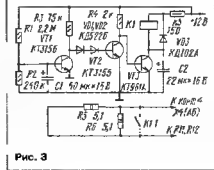


Рис. 3

ПОДАВЛЕНИЕ НАДТОНАЛЬНЫХ ПОМЕХ В БЫТОВОЙ ЗВУКОЗАПИСИ

С. АГЕЕВ, г. Москва

Рассмотрим различные варианты реализации ФНЧ для переаудио.

Первый случай, когда подавление подается "дальнее" по частоте помехи, наводки сигналов местных радиостанций, помехи на выходе ПКД со сверхдискретизацией в 4–16 раз, а также помехи на выходе ПКД с "импульсным" или "однобитным" ЦАП. Для понижения этих помех до уровня в 50 дБ вполне достаточно применить ФНЧ с частотой среза 18...19 кГц и характеристики, описываемой полиномом Баттерворта 3-го порядка при неравномерности в полосе пропускания –3 дБ.

При построении фильтра, принципиальная схема которого приведена на рис. 7, была использована структура Sallen & Key, несмотря на ее высокую чувствительность к номиналам элементов (она пропорциональна добротности полюсов). Для понижения чувствительности и одновременного улучшения временных характеристик передаточная функция была модифицирована с целью снижения добротности полюсов целью появления главного спада АЧХ в полосе пропускания (см. рис. 8, кривая 1).

Как видно из рисунка, принятая частота среза составляет 18 кГц по уровню –3 дБ. Неравномерность группового времени задержки (ГВЗ) фильтра, обусловленная нелинейностью его фазочастотной характеристики, не превышает 5 мкс, и то на частотах выше 10 кГц (см. рис. 9, кривая 1), что на слух совершенно не заметно (7). Выброс на переходной характеристике не превышает 5%, а нелинейность ФЧХ в полосе пропускания не превышает 12 градусов. Следует отметить, что в полосе среза до 10 кГц, наиболее критичной для стереоскопии, неравномерность ГВЗ на превышает 0,5 мкс, что соответствует нелинейности ФЧХ не более двух градусов.

Отсутствие спада АЧХ в области частот выше 500 кГц обусловлено падением глубины обратной связи в ОУ ДА2, вследствие чего его выходное сопротивление приобретает индуктивный характер и вместе с конденсатором С3 образует колебательное звено. Для подавления этого эффекта и протараторения переаудио ОУ по крутизне в фильтре установлена цепочка R1C1 (на рис. 8 АЧХ, изображенная штриховой линией, рассчитана без учета ее действия, АЧХ с R1C1-цепочкой на высоких частотах изображена сплошной линией).

На рисунке 10 (кривая 1) показана реакция фильтра на скачок входного напряжения от –1 В до 0 В. Переходный процесс практически полностью затухает

через 160...200 мкс, поэтому на слух он абсолютно незаметен: пороговые значения длительности призвука по уровню 40 дБ (1%) составляет не менее 500 мкс даже для среднечастотных (1...4 кГц) призвуков (7). А у нашего фильтра время установления с точностью 0,1% не превышает 150 мкс.

Рисунок 11 (кривая 1) показывает спектральную плотность напряжения выходного шума фильтра при закороченном входе или работе от источника сигнала с выходным сопротивлением не более 1,2 кОм. Среднеквадратичное эквивалентное (МЭК-А) значение ЭДС выходного шума в полосе до 20 кГц, составляет 2,8 мВ (–111 дБВ).

Учитывая, что номинальный уровень выходного сигнала современных твиттеров и ПКД составляет не менее 100 мВ (–20 дБВ) и 2 В (+6 дБВ) соответственно, получаем динамический диапазон фильтра в этих случаях 91 и 117 дБ соответственно, что достаточно даже для магнитофона, оснащенного системой шумоподавления dbx-Pro или Telcom-C4. Максимальная амплитуда входного сигнала определяется допустимым синфазным напряжением ОУ и составляет примерно 10 В в зависимости от типа ОУ. Если принять такое напряжение за верхнюю границу динамического диапазона, то он составит 130 дБ (1).

Уровень нелинейных и комбинационных искажений при использовании указанных на схеме ОУ — не более –100 дБ при выходном сигнале +6 дБВ.

При невозможности для радиолюбителя приобрести ОУ типа NE5534, NE5532 (второй — двояконый) или OP-27, допустимо, во-первых, их замена на любые ОУ с частотой единичного усиления не менее, чем 3 МГц, при включении повторителем, например, K140YD25 (аналог OP-27), 4558 (однояконый), LM318 (аналог K140YD11), K544YD2, K574YD1, TL071 — TL074 или TL051, TL054 (от одного до четырех ОУ в корпусе), а во-вторых, воз-

можно реализация фильтра с повторителями на дискретных транзисторах (рис. 12).

Замена ОУ несколько ухудшает шумовые характеристики, а коэффициент нелинейных искажений может возрасти до –90...–80 дБ, что, однако, несущественно при переаудио на кассету. Транзисторный же вариант не уступает по характеристикам ФНЧ на ОУ.

Точность номиналов элементов для этого фильтра достаточна в пределах 3...5% для конденсаторов С4–С6 и 1...2% для резисторов R2–R4, что в любительских условиях вполне достижимо. Остальные номиналы некритичны.

Второй, более сложный случай — подавление близких по частоте помех. Необходимость в этом возникает при записи со стереоплеера и при переаудио с ПКД, имеющего классический ЦАП без сверхдискретизации в сочетании с наложенным аналоговым фильтром или же ПКД, оснащенного системой "Legato Link".

Подавление таких помех существенно сложнее, поэтому здесь большие поле для компромиссов между крутизной спада АЧХ (определяющей частоту среза) и сложностью ФНЧ. При записи с твитера подавление помех на частоте 16,25 кГц для отечественной системы и на частоте 19 кГц для системы с пилот-тоном не должно быть менее 50 дБ. Для переаудио с ПКД такое ослабление должно достигаться для частот выше 24 кГц, если не учитывать желательность ограничения полосы частот до 14...15 кГц (см. первую часть статьи).

В связи с вышеизложенным представляется целесообразным ограничить частоту среза значением 14 кГц, чтобы применить фильтр садового порядка. Как видно из рис. 8 (кривая 2), где приведена АЧХ этого фильтра, частота среза составляет 14 кГц по уровню –0,3 дБ, а величина подавления сигналов с частотами выше 16,3 кГц — на менее 52 дБ. На врезке рис. 8 видно, что АЧХ падает почти отвесно, как стена, что и стало причиной для такого названия, как "фильтр-стена" ("brick-wall").

Но все имеет свою цену, и за хорошую АЧХ приходится дорого платить во временной области. В первую очередь это относится к характеристике ГВЗ и времени установления переходного процесса, показанных на рис. 9 и 10 соответственно (кривая 2). В полосе пропускания неравномерность ГВЗ достигает 400 мкс, а переходный процесс после скачка длится около 1,7 мс до точности в 1%. Это является следствием фундаментальной взаимосвязи между шириной области перехода от полосы пропускания к по-

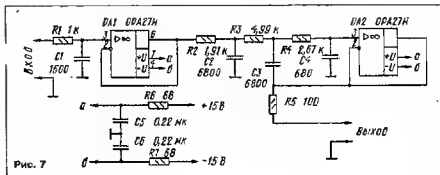


Рис. 7



Рис. 8

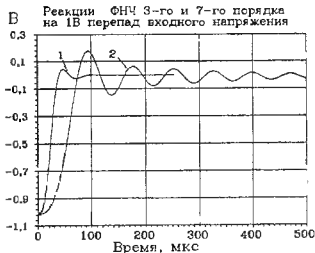


Рис. 10

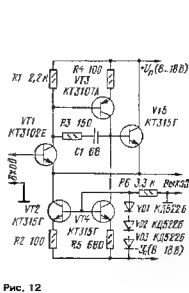


Рис. 12

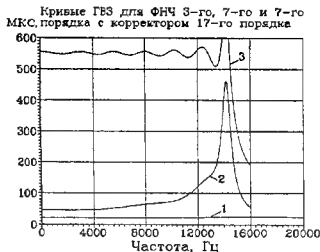


Рис. 9



Рис. 11

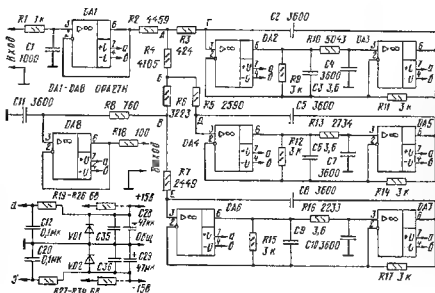


Рис. 13

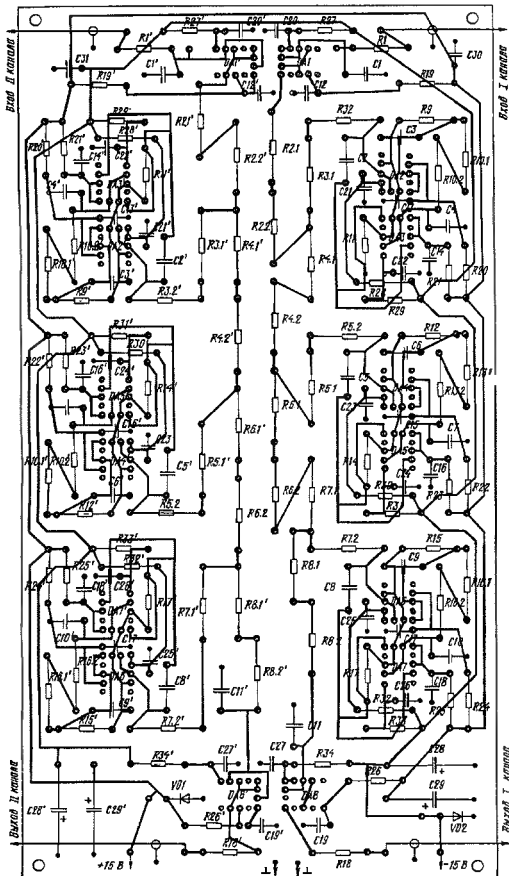


Рис. 14

се заграждения и длительностью переходного процесса [8].

Для устранения неравномерности ГВЗ можно увеличить задержку низких и средних частот при помощи так называемого фазового фильтра, или корректора ГВЗ. Общая длительность переходного процесса при этом не изменится, но значительно уменьшится искажение формы сигналов и переходный процесс станет почти симметричным, "уполовинив" время установления, особенно на высоких частотах, совсем не обязательно: неравномерности ГВЗ в 400 мкс соответствует перемещение источника звука всего на 14 см. В подтверждение этому можно сослаться на утверждение [9], что пороговым значением заметности неравномерности ГВЗ в зависимости от условий является время 0,6...2 мс. Длительность "аванса" (1,7...2 мс) много меньше, чем время восстановления чувствительности уха после прихода первого скачка (на высоких частотах примерно 7...10 мс). Выигрыш же от применения фильтра эквивалентен (см. первую часть статьи) расширению динамического диапазона на 8...10 дБ за счет предотвращения перегрузки левит и усилителя записи, что неспособованию ценнее и заметнее, нежели небольшое смещение звуковой панорамы. Тем не менее автором рассчитан фазовый корректор к фильтру (на рис. 9 кривая 3 показывает его действие). Однако корректор получился очень громоздким (17-го порядка!), поэтому его описание и подробные характеристики в статье не приведены.

Практическая схема фильтра седьмого порядка приведена на рис. 13. Поскольку выполнение такого фильтра без подстройки возможно лишь при применении прецизионных (лучше 0,5%) RC-элементов, недоступных для большинства радиодлюбителей, данный фильтр построен по схеме, обеспечивающей возможность его точной настройки "за один проход", то есть без взаимосвязи регулировок. Требуется лишь точно выдержать отношения номиналов резисторов R2—R8 в любительских условиях при наличии цифрового вольтметра подбор необходимых номиналов (с относительной точностью, обеспечиваемой шкалой на 3 1/2 разряда) проблемы не представляет, тем более что на

плата предусматривается возможность составления нужной номинала из двух последовательно включенных резисторов. Разброс емкости конденсаторов C2, C4, C5, C7, C8, C10 допустим до 10%, кроме конденсатора C11, отклонение номинала которого не должно превышать 1...2%, а противное сложное будет необходимо переоснащение номиналов резисторов R2—R8 (с сохранением их соотношений) для обеспечения постоянства произведений RC.

По той причине, что настройка все равно потребует, неравномерность АЧХ при расчете RLC-прототипа взята равной всего 0,25 дБ.

Особенностью построения фильтра является его реализация при помощи преобразования Брутона — конверсии RLC-прототипа в эквивалентную по структуре схему на база частотных зависимых отрицательных сопротивлений (ЧЗОС или FDNR). Достоинствами такого построения являются приемлемое число элементов, очень низкий уровень интермодуляционных искажений, так как непосредственно через ОУ (кроме буферных) сигнал не идет, сохранена чувствительность к номиналам элементов, как у RLC-прототипа, и малое накопление шумов. Более подробно достоинства и недостатки такой реализации рассмотрены в [10]. Однако при этом следует обратить внимание на две существенные особенности.

Первая из них состоит в том, что классический LC-фильтр для достижения наименьшей чувствительности к номиналам элементов должен быть нагружен с обеих сторон на равные сопротивления. Но при выполнении такого фильтра на ЧЗОС нагрузочные резисторы преобразуются в последовательные конденсаторы, из-за чего теряется постоянная составляющая режима всех ОУ (ихходы "повисают в воздухе"), и число конденсаторов на единицу превышает порядок фильтра, вместо равенства ему. Один из конденсаторов приходится шунтировать очень большим сопротивлением, в результате разок (в десятки раз и более) растут низкочастотный фликер-шум и искажения на низких частотах.

Чтобы избежать этих неприятностей, необходимо рассчитать специальный LC-прототип, требующий нагрузки только с одной стороны, кроме того, такой LC-прототип ощутимо хуже в отношении чувствительности АЧХ в полосе пропускания к разбросу элементов. Тем не менее не это приходится идти, если отношение частот среза ФЧХ к наиболее низкой частоте, которую он должен пропускать, превышает 50...100 (в нашем фильтре — не менее 500).

Вторая особенность состоит в том, что поскольку данный ФЧХ моделирует работу LC-фильтра, то и напряжения в нем распределены таким же образом. Внутренние напряжения в LC-цепи из-за разнородных явлений могут быть много большими, чем напряжения на внешних зажимах этой цепи, а в моделирующей цепи они ограничены выходными напряжениями ОУ и допустимыми для ОУ синфазными входными напряжениями. Из-за этого амплитудный диапазон входных сигналов в полосе пропускания (особенно вблизи частоты среза) оказывается меньше, нежели размах выходного напряжения ОУ, в несколько раз. Забавно, что такие искажения (внутреннее ограничение) проявляются при проверке фильтра со звуковым генератором не как искажение формы синусоиды при увеличении

сигнала, а как "нежалание" фильтра увеличивать свой выходной сигнал при сохранении хорошей формы! Гармоникой отлично отфильтровываются самим фильтром — теми же звеньями, которые работают в линейном режиме.

К примеру, в фильтре, схема которого приведена на рис. 13, напряжение на выходе ОУ DA5 на частоте около 14 кГц, превышающее входное в 5,5 раза. Это самое большое напряжение в этом фильтре. При двухполюсном напряжении питания ±15 В входное напряжение фильтра может вблизи частоты среза иметь амплитуду не более 2 В.

Теоретически эффективное значение выходного напряжения ПКД может достигать 2 В и перегружать фильтр. Однако реально высокочастотные сигналы в музыкальных композициях никогда не записываются с уровнем полной шкалы ЦАП ПКД, как по причине того, что для записи на КД оставляют запас на пик-фактор не менее 12 дБ (реально 20...26 дБ), так и из-за меньшей мощности ВЧ-звеньев акустических систем. Наконец, при применении ОУ с напряжением питания ±15 В (если оно допустимо) будет исключена даже теоретическая опасность перегрузки при перескоках в ПКД.

На рисунке 11 (кривая 2) показана спектральная плотность напряжения выходного шума фильтра при замкнутом входе или работе от источника сигнала с выходным сопротивлением не более 1...2 кОм. Этим характеристике соответствует среднестатистическое значение ЗДС 3,1 мВ (-110 дБВ) выходного шума в полосе 20 кГц со взвешиванием по характеристике МЭК-А. Учитывая, что номинальный уровень выходного сигнала современных тюнеров и ПКД составляет не менее 100 мВ (-20 дБВ) и 2 В (+6 дБВ) соответственно, получаем динамический диапазон фильтра в этих случаях 90 и 116 дБ, что более чем достаточно для магнитофона, оснащенного системой шумоподавления dbx-II.

Уровни нелинейных и комбинационных искажений для указанных на схеме ОУ — не более -100 дБ при входном сигнале -6 дБВ до частот 10 кГц и +3 дБВ на более высоких частотах.

О возможной замене ОУ уже сказано выше. Следует иметь в виду, что скорректированные на стабильность при единичном усилении ОУ должны иметь частоту единичного усиления не менее 6 МГц. Примененные в фильтре ОУ K544YD2 или K574YD1 приводят к росту шумов и искажений.

Для обоих фильтров рекомендуются исключительно металлопленочные резисторы (например, МЛТ, С2-13, С2-23), а частотогазующие конденсаторы — фильтры — пленочные фольговые (серии К73, К78, ПСД). Сегнетоэлектрические конденсаторы (группы К30, Н50, Н90) нужно использовать только в качестве блокировочных по питанию.

Топология печатной платы этого фильтра (двухканальный вариант) приведена на рис. 14. Другая сторона печатной платы остается фольгированной (с zenковкой отверстий для деталей, не соединяемых с общей шиной) и используется как экран и сигнальная общая шина. Рисунок печатной платы рассчитан на монтаж как одиночных, так и двойных ОУ. На печатной плате дополнительно установлены диоды VD1, VD2 на ток не менее 0,5 А, например КД258, защищающие ИМС от "перекоса" питающих

напряжений, а также дополнительные окисленные блокировочные конденсаторы C28, C29.

Методика настройки фильтра следующая. Если отношения резисторов R2—R8 между собой выдержаны достаточно точно (погрешность в 1% вызывает неравномерность АЧХ примерно на 1,5%, или на 0,15 дБ), настройка фильтра сводится к установке величин каждого ЧЗОС при помощи подстроечных резисторов R10, R13, R16. Эта задача облегчается тем, что каждое ЧЗОС образует с резисторами R3—R7 по колебательному контуру с очень высокой добротностью (порядка 1000), а регулировка ЧЗОС сводится к установке резонансной частоты.

Настройку резонансной частоты проектируем на примере первого звена (DA2, DA3) соединим точку А с нижним (по схеме) выводом конденсатора C4 через резистор с сопротивлением 1 Ом, изолировав тем самым это звено от схемы (аналогично изолируются и два других звена, только используются точки Б и В. При одновременном генерации следует на время настройки подключить точку Г (Д, Е) к общей шине через конденсатор емкостью 10...30 пФ.

Затем, подключив через резистор сопротивлением в несколько килоом звуковой генератор, настроенный на требуемую частоту резонанса, в точку А, и, наблюдая при помощи осциллографа сигнал на выходе ОУ DA3, регулировкой подстроечного резистора, включенного емкостью R10 или его части, установим частоту резонанса в 29577 Гц. Затем измеряем сопротивление подстроечного резистора и он изменяется постоянным, подобранным с высокой точностью.

Точно так же настраиваются два других звена, только резонансные частоты у них другие: у звена на DA4, DA5 — 16527 Гц, а у звена на DA6, DA7 — 18801 Гц. Наилучшее критичная настройка звена на DA4, DA5: при заниженной частоте настройки "заваливается" край АЧХ в полосу пропускания и ухудшается положение на частотах около 17,5 кГц, а при завышенной частоте настройки на самом краю полосы пропускания появляется пик.

После проведения настройки имеет смысл проверить общую АЧХ фильтра. При измерении малых неравномерностей АЧХ следует обращать особое внимание на стабильность амплитуды генератора и точность вольтметра: неравномерности 0,2 дБ соответствуют изменению напряжения всего не 2%, а нестабильность амплитуды выходного сигнала большинства генераторов не лучше 5%. Если АЧХ имеет неравномерность более 0,6 дБ, это следствие погрешностей номиналов элементов, чрезмерных паразитных емкостей монтажа или же недостаточной частоты единичного усиления ОУ.

ЛИТЕРАТУРА

- Алдошина И. А., Войшвилло А. Г. Высокачестотные акустические системы и излучатели. — М. Радио и связь, 1985, 165 с.
- Собер У. Цели, сигналы, системы. Ч. 2. — М. Мир, 1988.
- Zwickler E., Feldkeller R. Des Ohr als Nachrichtenempfänger. — S. Hirtzel-Verlag, Stuttgart 1967.
- Bruton L. T. Network Transfer Functions Using the Concepts of Frequency-Dependent Negative Resistance. — IEEE Trans. 1969, vol. CT-16, August, p. 405-408.

РАДИОМИКРОФОН С РАМОЧНОЙ АНТЕННОЙ

В. РУЗМАТОВ, г. Сырдарья, Узбекистан

В маломощных передатчиках радиомикрофонов, работающих в диапазонах 65...73 МГц, в качестве антенны радиоприемники чаще всего используют обмоточный кусок провода (см., например, статью И. Севастьянова "Радиомикрофон" в "Радио", 1992, № 10, с. 44, 45). Однако, как показала практика, при эксплуатации подобных устройств в УКВ диапазоне наблюдается небольшое изменение частоты передатчика при уменьшении или увеличении расстояния между телом человека и свободно свисающим проводом антенны. Можно было бы порекомендо-

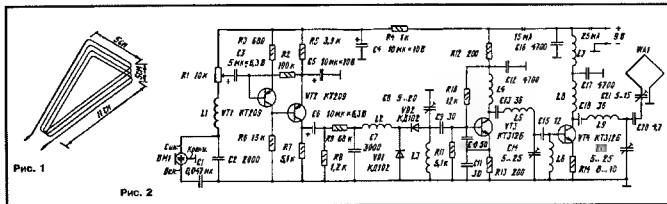
вать, причем первый желательно поместить в металлический экран, второй же экранировать необязательно. На плате следует жестко закрепить контурную катушку L1, поскольку при перемещении при тряске радиомикрофона влияет на стабильность частоты задающего генератора.

При монтаже радиомикрофона используются постоянные резисторы МПТ-0,125, переменный резистор R1 — СПЗ, конденсаторы — любые малогабаритные. Катушки L3, L4, L5, L8, L9 бескаркасные и намотаны проводом ПЭЛ 0,6. Катушка L3 содержит 7, L4, L8 — 4, L5, L9 — 9 вит-

ков. Намотать виток к витку на спичках и содержит 45–55 витков провода ПЭЛ 0,1. В радиомикрофоне применен электретный микрофон МЭК-3 от стеченового переносного магнитофона. Цвета подходящих к нему проводов указаны на схеме.

Для настройки радиомикрофона требуется простейший авометр (например Ц-20) и индикатор поля (рис. 3). Стрелочный индикатор используется от переносного магнитофона. Катушка L1 индикатора поля содержит 6 витков провода ПЭЛ 0,8 с отводом от середины, намотка с шагом 1 мм. В качестве его антенны использован кусок изолированного провода длиной 10...15 см.

Сначала настраивают задающий генератор, а потом в пере с ним по небольшому отклонению стрелки индикатора поля — усилитель мощности. Генератор должен быть настроен на участок УКВ диапазона, свободный от радиосветильных станций. Дальность действия радиомикрофона — около 150 м. Пита-



вать применить L-образную антенну. Но пользоваться радиомикрофоном с такой антенной крайне неудобно, поскольку длина штыря должна быть соизмерима с четвертью длины волны и для УКВ диапазона составляет около 110 см.

Предлагаю радиолюбителям опробовать много антенну в виде спирали из провода диаметром 1 мм (рис. 1). Спираль может быть любой формы, важно только, чтобы общая длина провода составляла 85...100 см. Такую антенну я использовал в радиомикрофоне, схема которого приведена на рис. 2. Низкочастотный сигнал микрофона ВМ1 усиливается усилителем-модулятором на транзисторах VT1, VT2 и поступает на контур задающего генератора на транзисторе VT3, частота контура изменяется подстроечным конденсатором С6. С выхода задающего генератора промодулированный сигнал подается на усилитель мощности на транзисторе VT4 и далее подается на антенну передатчика WAT.

Задающий генератор рекомендую собрать на одной плате с усилителем мощ-

ков. Внутренний диаметр катушек — 10 мм. Катушки L4 и L8 намотаны виток к витку, зазор между витками катушек L3, L5, L9 — около 1 мм. Дроссели L1, L2, L8, L7

от радиомикрофона от батарей "Крона", одной батареи хватает на 30 ч работы.

ОБМЕН ОПЫТОМ

РЕМОНТ ОГОЛОВЬЯ СТЕРЕОТЕЛЕФОНОВ "Н-23С-1"

Всем хороши стереотелефоны "Н-23С-1", выгукивные Бардским ПО "Вега", это и не только электротехнические параметры, и эстетичный внешний вид, и удобство в эксплуатации. Однако существенным недостатком является ненадежная конструкция оголовья. Пластмассовая, шарнирно-сочлененная секция, даже при бережном отношении, быстро выходит из строя.

Пришлось столкнуться с этой проблемой и мне. Не проработав и двух месяцев, оголовья моих телефонов перемололись около верного центрального шарнира — в том месте, где сечение пластмассы меньше всего. В результате поисков удалось найти достаточно удачный способ его ремонта. Он состоит в полной замене головной пластмассовой части оголовья пружиной от... военной фуражки.

Пружина представляет собой полосу металла в 5 мм шириной и 0,6 мм толщиной. Изготовленная из канальной стали, она хорошо держит форму и обладает высокой упругостью. Предварительно ее следует укоротить до 370 мм, и на расстоянии в 70 мм с обеих сторон — уменьшить ширину до 3,5 мм. Концы пружины нужно закрутить, удалив заусен-

цы. Затем, отступив от края около 5 мм с каждого конца, с помощью иголки и молотка делают в этих местах углубления. Выпуклости с другой стороны будут служить ограничителем, не позволяющим закончить оголовье.

По окончании осей выпелеренных шарнирных пружинок сгибают пополам с максимальным возможным радиусом скрутки, так чтобы, после снятия нагрузки, противоположные концы ее находились на расстоянии 10...30 мм друг от друга. От стандартного оголовья оставляют только секции, на которых закреплены непосредственно сами излучатели. Все остальное удаляют, а то, что осталось, надевают на согнутую пружину. Если выпуклости оказались малы и пружина все же вылетает, то можно концы с выпуклостями отогнуть немного вовнутрь.

При желании оголовье можно покрасить, но металлический цвет пружины и так смотрится неплохо.

Отремонтированные таким образом телефоны служат уже более пяти лет и зарекомендовали себя вполне надежными.

А. КАРМЫЗОВ

г. Москва

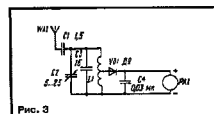


Рис. 3

ЯРКИЙ ПРИМЕР ДЛЯ РАДИОЛЮБИТЕЛЕЙ

20 июля 1995 г. доктору медицинских наук, многолетнему члену редколлегии журнала "Радио" Ивану Тимофеевичу Акулиничеву — 80 лет.

За плечами этого удивительно интересного и талантливого человека, имеющего два образования — медицинское и техническое, — много славных дел, снискавших ему имя одного из основоположников отечественной медицинской радиотехники.

Теоретический и практический вклад И. Т. Акулиничева в медицинское приборостроение широко известен. Иван Тимофеевич — автор целого семейства электронных приборов — векторкардиоскопов, получающих признания и применение не только в нашей стране, но и за рубежом. В свое время им был предложен ряд методов функциональных исследований в кардиологии. На его счету несколько монографий в области медицинской радиотехники, десятки публикаций в различных изданиях. Он автор более 85 научных работ и 20 изобретений. Многие публичные и печатные выступления И. Т. Акулиничева посвящены роли науки и техники в современном обществе.

В биографии Ивана Тимофеевича особое место занимают годы Великой Отечественной войны. На фронт он ушел добровольно и Победу встретил под Берлином в звании полковника медицинской службы. Его заслуги перед Родиной были отмечены двумя орденами Красной Звезды и многими медалями.

В мирные годы И. Т. Акулиничев своим знанием и опытом поставил из службы освоения космоса. Он принимал самое активное участие в медицинском обеспечении первых космических полетов человека. Под его руководством проводились исследования по разработке методов и приборов для подготовки космонавтов и осуществления контроля за их состоянием в полете.

За свои труды по медицинскому обеспечению космических полетов на кораблях серии "Восток" И. Т. Акулиничев был награжден орденом Трудового Красного Знамени, а Международная академия космонавтики и планет его действительным членом академии.

Не менее известно имя Ивана Тимофеевича в среде радиолюбителей. И не только как члена редколлегии журнала "Радио". Еще в двенадцатилетнем возрасте увлекшись любительским радио-конструированием, он и сегодня остается страстным энтузиастом радиоэлектроники, пропагандистом радио-технических знаний. Своим опытом Иван Тимофеевич счастливо делится с молодежью. Только на страницах журнала "Радио" опубликованы десятки его статей, представляющих особый интерес для тех, кто увлекается усилителями звуковой частоты. Это — "Усилитель с автоподстройкой режима транзисторов", "Стабильный бестрансформаторный усилитель НЧ", "Усилитель тока низкой частоты", "Пиковая обратная связь в усилителе НЧ", "О критичности параметров усилительной мощности" и другие.

На протяжении многих лет он был участником всесоюзных выставок творчества радиолюбителей-конструкто-



ров. Созданные им медицинские электронные приборы и устройства всегда вызвали большой интерес и медиков, и радиоспециалистов. Его конструкции с успехом демонстрировались на выставках медицинского приборостроения за рубежом, свидетельствуя о безграничных возможностях использования средств радиотехники в гуманитарных целях.

Техническое творчество И. Т. Акулиничева, его общественная деятельность неоднократно отмечались грамотами, дипломами, призами. Он по праву гордится ими. Но одна награда, врученная Ивану Тимофеевичу в 1984 году, особенно дорога ему. Речь идет о Золотой медали Колумба, учрежденной Генуэзским институтом международных связей. Этой медалью изграждаются первооткрыватели в самых различных областях человеческой деятельности, в том числе и радиолюбители, которые своей конструкторской работой, изобретениями способствуют развитию радиотехники и электроники.

В Дипломе, врученном И. Т. Акулиничеву, говорится:

"Золотая медаль присуждается доктору Ивану Тимофеевичу Акулиничеву... Он избрал множество электронных приспособлений, особенно в области электропроводности и электротехники; он правдив в сфере своей научной деятельности изобретательности ума и духа, которые характеризуют работу радиолюбителя, и поставил на службу человечеству свои открытия. Он являет собой яркий пример того, как радиолюбитель может внести вклад в дело, имеющее общественную и человеческую ценность".

Радиотехники и сотрудники редакции, тесно читавшие журнал "Радио" сердечно поздравляют Ивана Тимофеевича Акулиничева с юбилеем и шлют ему свои наилучшие пожелания.

ПИСЬМА ПИШУТ РАЗНЫЕ

ЧИТАТЕЛЬ ГОВОРИТ: «СПАСИБО!»

Как и прежде, редакционная почта всегда радует нас. Правда, среди писем встречаются "недовольные", а порой прямо-таки ругательные. Но большинство из них читатели благодарят наших авторов, редакцию за содержание и оформление журнала.

СПАСИБО ЗА СТРАНИЦЫ ДЛЯ РАДИОЛЮБИТЕЛЕЙ
КОРОТКОВОЛНОВИКОВ.

г. Новосибирск

В. БОЛОСОВ

Для меня журнал "Радио" — это всегда компетентно и высокопрофессионально. Да и в этом году он выпущен к тому же на отличной бумаге. Что тут скажешь — молодец!

В. ПИВЦАКИН

г. Балаково

Настоящим письмом хочу выразить огромную благодарность вашему автору И. Нечаеву (г. Курск) за регулятор мощности свечильника. Простая и хорошая конструкция. Мною собраны уже восемь таких регуляторов.

А. МИХАЙЛЕНКО

г. Новокузнецк

Журнал вам нравится и несмотря на возросшие цены, буду стараться оставаться вашим подписчиком. В последние два года "Радио" становится более содержательным, интересным, ближе к жизни, к нашей действительности. Конечно, статьи об использовании устаревших деталей, восстановлении старых приемников или о постройке автоматической водонасоса и др. — нужны людям. Я понимаю, что вы должны знакомить читателей, к примеру, и с новыми "Горюхами" 51СВУ-510. А что делать с "Радиотех", "Рекордом" и т. д.? И тем не менее, спасибо за журнал! Удачи вам!

В. ЯЦКИН

с. Средний Егорлык Ростовской обл.

Содержание журнала все много лет и оцениваю высоко. Мне кажется, что иногда выражаемое читателями недовольство бывает результатом поспешности. Мой многолетний опыт (подписчик с 30-летним стажем) показывает, что наибольшую пользу для радиолюбителя приносит журнал в подшивке за 5—10 лет. Только по простейшим какого-то времени "вылезает" из них то, что потенциально можно только дать. Когда, например, появились описание "Радио-88РК", мне казалось absurdum само обращение к конструкторской тематике. Хотя бы по причине недостаточности элементной базы. К тому же, я вообще не представлял, что маленькие ПЭВМ есть такое же радиотехническое открытие, как и КВ связь. Но прошло лет пять, и я был уже озабочен привидением "я чувствую" готовой конструкции, стоящей у меня на столе.

Еще хотелось бы сказать, что материалы на исторические темы излишними не считаю. Из них мы узнаем много полезного, а иногда и то, о чем прежде нельзя было прочитать. Например, просто волнующейся халкоу публикации Т. З. Крайняя об отце. Через редакцию передаю автору 73!

А. ВАКОМАН

г. Киров

Пишите нам, дорогие читатели! Редакция всегда интересно любит ваше мнение о нашем журнале, каким бы оно ни было. Оно и вдохновляет, и помогает

ЯЗЫК ФОРТ ДЛЯ «РАДИО-86РК»

Н. ШИХОВ, г. Козьмодемьянск, Республика Марий-Эл

ФОРТ — один из самых молодых языков программирования, однако благодаря таким своим достоинствам, как быстрота освоения (простейшие приемы программирования на нем можно освоить буквально за несколько минут) и высокая производительность, он уже приобрел во всем мире необычайную популярность. Сегодня мы предлагаем читателям версию этого языка для радиолобительского компьютера «Радио-86РК».

«УМИРАЮТ» ЛИ ВОСЬМИРАЗРЯДНЫЕ МИКРОПРОЦЕССОРЫ?

По миру пободно шестую мощные микропроцессоры 180486, MC68030, MC68030 VAX, на смену им идут PENTIUM, MC68030 и новый сверхмощный 64-разрядный «Альфа-чип» фирмы DEC. Сегодня можно приобрести почти все, что только пожелаешь. Иногда кажется, что для простеньких восьмиразрядных компьютеров уже не осталось места под солнцем.

Однако это не так. В микропроцессорной технике есть место и для «слона» PENTIUM, и для «муравья» i8085, и, как это часто бывает, эффективность применения ЭВМ зависит не столько от мощности и совершенства микропроцессора, сколько от скорости и стоимости ее внедрения в производство.

По последним двум показателям восьмиразрядные «персоналки» на имеют конкурентов. Они не только не «вымирают», а даже продолжают совершенствоваться. Например, микропроцессор K580BM1, программно и аппаратно совместимый с K580BM0, обладает в 2,5 раза более высокой производительностью и расширенной системой команд, в которую входят четырех- и пятибайтные команды.

Восмиразрядные микропроцессоры прочно обосновались в микроконтроллерах, управляющих несложными технологическими процессами, в измерительной технике. Мощности восьмиразрядных ЭВМ с лихвой хватает для любых бытовых целей — от управления тигельной или индукторной до автоматического определения номера звонящего абонента. На любительский радиостанции компьютер выполнит любую рутинную работу — от ведения журнала до автоматического управления любым «железом», и даже, если нужно, проведет радиосвязь без участия оператора.

Во всем этом есть, однако, одна хорошая известная тонкость: компьютер выполняет лишь то, что заложено в него программой. А вот осознанность, программным обеспечением, его качество и сервисные характеристики у восьмиразрядных машин неизмеримо ниже. Осо-

бенно сказывается дефицит простых, быстродействующих, компактных трансляторов основных языков программирования. Об этом и пойдет речь далее.

Автор имеет опыт программирования на языках БЕЙСИК, ПАСКАЛЬ, ФОРТ и АСЕМБЛЕР для восьми- и шестнадцатиразрядных процессоров. Из экономии времени и места не будем сравнивать эти языки (тот, кто с ними работал, хорошо знает их достоинства и недостатки), а сразу выделим один из них. Он доводит мощность восьмиразрядных ПЭВМ до уровня шестнадцатиразрядных, позволяет выжать из машины все, не что она способна, обеспечивает доступ не только к любому байту, но и к биту, находящемуся в любой ячейке памяти или регистре ЭВМ; занимает в памяти наименьший объем и в то же время обеспечивает наиболее быструю компиляцию программы в код; процессора за один проход текста программы, программирование на нем в 5 раз быстрее, чем на БЕЙСИКе, в 15 раз быстрее, чем на ПАСКАЛЕ и в 50 раз быстрее, чем на АСЕМБЛЕРЕ.

ЭТОТ ЯЗЫК — ФОРТ

ФОРТ — один из самых молодых языков программирования, однако благодаря быстрой освоения и высокой производительности программирования он уже приобрел во всем мире необычайную популярность среди читателей красоты в этом сложном, но увлекательном искусстве. В России и за ее пределами имеется немало версий языка, но публикаций на эту тему мало.

Простейшим приемом программирования на ФОРТе можно освоить буквально за несколько минут. В отличие, например, от АСЕМБЛЕРА, программирование на ФОРТе напоминает скорее игру, нежели кропотливый труд алхимика, хотя в результате можно получить программу, не уступающую АСЕМБЛЕРНОЙ.

Особенностями языка ФОРТ являются обратная польская (постфиксная) запись арифметических и логических операций, а также широкое использование стеков, привычное для многочисленных владельцев программных калькуляторов. Но

главная особенность ФОРТа в том, что его каждый пишет сам для себя, а минимальный словарь резидентной части нужно рассматривать лишь как начальный капитал, дающий большой процент годовых, причем ФОРТ, как губка, впитывает и усваивает лексикон и характер своего хозяина, приближаясь к общему разговорному языку.

Предлагаемая читателям версия языка ФОРТ не единственная, адаптированная для «Радио-86РК». У автора имеется версия ФОРТ-системы, разработанная в НИИСЧЕТАМАШ ЛГУ. Она выполнена в строгом соответствии со стандартом FORTH-83, имеет объем 14 Кбайт и словарь примерно из 500 слов. По мнению автора, сделавшими «Радио-86РК» эта программа использовалась на практике не может. Ее словарь перегружен промежуточными словами, не используемыми в прикладных программах, есть слова с одинаковыми функциями. Достоинствами этой версии являются ее соответствие стандарту и наличие встроенного ФОРТ-АСЕМБЛЕРА. Стандартный строчный редактор ничего, кроме сожаления, не вызывает.

Дамп предлагаемой версии языка ФОРТ для компьютера «Радио-86РК» приведен в табл. 1, блочные контрольные суммы — в табл. 2. Версия работает с удобным и привычным редактором «МИКРОН». Отсутствие ФОРТ-АСЕМБЛЕРА компенсируется возможностью просто вставлять в программу машинные коды или использовать АСЕМБЛЕР из пакета «МИКРОН».

Словарь включает в себя наиболее употребительные слова из распространенных версий ФОРТа и позволяет писать программы обработки текстов, строк, символов, битов, байтов и шестнадцатиразрядных слов по алгоритмам любой степени сложности. Он наиболее приспособлен для разработки управляющих, игровых и системных программ. Некоторые слова работают несколько иначе, чем в стандартных версиях.

Внутренняя структура словаря нестандартна, но именно благодаря такой структуре удалось достичь компактности и высокого быстродействия предлагаемой реализации, а также простоты генерации и расширения системы модулями, написанными на АСЕМБЛЕРЕ.

Программирование на ФОРТе можно изучать по литературе [1—3]. После его рекомендуется разбираться в прилагаемой демонстрационной программе (табл. 3) и тут же провести первые, пусть не всегда удачные, но поучительные эксперименты. Далее будем предполагать, что читатель уже знает «язык» программирования на ФОРТе.

ОСОБЕННОСТИ ПРЕДЛАГАЕМОЙ ВЕРСИИ

Большинство слов резидентной части словаря от COLD до (токи) работают так же, как и в стандартном FORTH-83, поэтому есть смысл описать только отличия от этого стандарта.

Итак, несколько иначе работают:

CREATE VAR# "ABHAKADABAAA"
 ("А ТАК МАССЫВ ЗАПОЛНЕННЫЙ ЛИТЕРАМИ "A")
 CREATE ARR1 1, 2, 3, ("А ТАК - МАССЫВ ИЗ ТРЕХ СЛОВ")
 CREATE ARR2 4, 5, 6, ("А ТАК МАССЫВ ИЗ ТРЕХ БАЙТ")

("ИЛИ МАССЫВ, КТО ПЕРЕМЕННЫЕ ВОЗВРАЩАЕТ
 В АРИТМЕТИЧЕСКОМ СТЕКЕ ЕГО АДРЕС")

1 := 2 + 2 + 1 ;
 ("ЭТО СЛОВО МОЖЕТ ИЗМЕНИТЬ ЗНАЧЕНИЕ КОНСТАНТ
 В РЕЖИМЕ ИНТЕРПРЕТИРОВАНИЯ
 ПРИМЕР") 10 := KONST
 1 TO DUP
 ("C1 C, 3 C, 3 C, 3 C, C5 C, B C, 8 C, 1 B
 3 C, 3 C, 3 C, 3 C, 1 1 ;
 ("А ЭТО СЛОВО МОЖЕТ ИЗМЕНИТЬ ЗНАЧЕНИЕ КОНСТАНТ,
 ЕСЛИ ЕГО КОПИЛИРОВАТЬ ВНУТРИ ДРУГОГО СЛОВА,
 НАПРИМЕР")
 1 PRIMER 19 TO KONST ;
 ("СЛОВО PRIMER ЗАПИШЕТ 19 В KONST")

1 PICK DUP 1 CIES, 1 OVER + SWAP + 2 + 1 ;
 ("PICK СНИМАЕТ ИЗ СТЕКА НОМЕР ЭЛЕМЕНТА СТЕКА И КЛАДЕТ В
 СТЕК КОМПОНЕНТЫ ЭТОГО ЭЛЕМЕНТА")

("НИЖЕ ОПИСАНЫ НЕКОТОРЫЕ КОМАНДЫ АССЕМБЛЕРА, КОТОРЫЕ МОЖНО
 ПРИМЕНЯТЬ ВНУТРИ ОПИСАНИЯ ДРУГИХ СЛОВ ВМЕСТО КОДОВ
 ЭТОГО СПИСКА МОЖНО УВЕЛИЧИТЬ, ОН ЗАНИМАЕТ ПОЛ-АССЕМБЛЕРА,
 КОГДА НЕОБХОДИМО НАПИСАТЬ ПРОГРАММУ МАКСИМАЛЬНОГО
 БЫСТРОДЕЙСТВИЯ")

1 TO 79 C, 03 C, NUMBER C, ; IMMEDIATE OUT

("ПОЛЕЗНОЕ СЛОВО, ЕСЛИ НЕОБХОДИМО ВЫВЕСТИ БАЙТ
 В ПОРТ НАХОДЯЩИЙСЯ В ПРОСТРАНСТВЕ ВВОДА/ВЫВОДА")

1 IN DB C, NUMBER C, 4F C, ; IMMEDIATE IN
 ("IN И OUT МОЖНО ПРИМЕНЯТЬ ТОЛЬКО ВНУТРИ ДРУГИХ СЛОВ,
 КАК И ВСЕ СЛОВА С ПРИЗНАКОМ IMMEDIATE")

("ПРИМЕР")
 1 OUTAO OUT AO ; ("ВЫВОД В ПОРТ AO, СТЕК БЕЗ ИЗМЕНЕНИЯ")
 1 INAO IN AO ; ("ВВОД В ПОРТ AO В ПЕРВЫЙ БАЙТ ЧИСЛА,
 ЛЕЖАЩЕГО В АРИТМЕТИЧЕСКОМ СТЕКЕ")

1 A,B 5E C, NUMBER C, ; ("A,B ИЛИ КОПИЛИРУЕТ MOV A,B 11")
 IMMEDIATE A,B
 1 A,C AF C, ; ("КОПИЛИРУЕТ XRA A,ОБЪЕКТА АКСКУ/УЗЛАТОРА")
 IMMEDIATE A,C
 1 A,C 79 C, ; ("КОПИЛИРУЕТ MOV A,C 79")
 IMMEDIATE A,C
 1 C,A 4F C, ; ("КОПИЛИРУЕТ MOV C,A 4F")
 IMMEDIATE C,A
 1 A,B 7B C, ; IMMEDIATE A,B

WORDS HERE (LAST) B DUP

CR .. ("A,B СООТВЕТСТВУЕТ ТЕКСТУ НА АССЕМБЛЕРА")

CR .. ("DV BAB")

CR .. ("DE A,B,B3H+40H : 40H = IMMEDIATE")

CR .. ("CALL DB82H : DUP")

CR .. ("LXI B,7BH ; ЗАМЕНА КОДОВ В ВЕРШИНЕ СТЕКА НА 7BH")

CR .. ("CALL 0009H : C,")

CR .. ("RET")

CR .. ("BAB")

CR .. ("ИЛИ КОПИЛИРУЕТ КОМАНДУ MOV A,B ИЛИ 7BH")

QUIT

ТОЛЬКО В СИСТЕМЕ ФОРТ, НО И ДРУГИМИ
 КОМПИЛЯТОРАМИ

Слово QUERY берет из стека адрес буфера и заносит в него символы с устройства ввода, пока не будет введен код <BK> или CTRL-C. Так как это слово берет адрес буфера из стека, то входной буфер можно расположить в любом месте ОЗУ. QUERY — это встроенный редактор системы ФОРТ. Весь порожденный этим словом текст является одной большой строкой, в которой допускаются любые печатные символы в том числе <F> Редактирование внутри QUERY возможно с использованием клавиш курсора <- и ->.

Слово INTERPRET берет из стека адрес буфера и интерпретирует текст из этого буфера, пока не встретит слово QUIT или два нулевых байта, которые заносятся QUERY при вводе кода <BK>. Так как адрес текста берется из стека, то можно интерпретировать программу, расположенную в любом месте ОЗУ или ПЗУ.

Слово " (кавычки) берет из входного буфера символы, расположенные после него, и компилирует их на вершину кодофайла (для начинающих мы несколько позднее дадим определение этого понятия), пока снова не встретит символ ". На этом символе компиляция заканчивается, а на вершину кодофайла компилируются байт-ограничитель, имеющий код более 7FH, в младших семи битах которого хранится информация о длине строки. Символ " в конце строки не компилируется, а используется в качестве разделителя, т. е. очередной блок может быть записан после него без обязательного пробела, разделяющего слова в тексте программы.

И наконец, слова DO, LOOP и LLOOP. Они просто не нужны, так как в предлагаемой версии имеется только одна универсальная форма организации цикла со счетчиком

XX <ОПЕРАТОРЫ> KKKK NNNN
 MMMM +DO <ОПЕРАТОРЫ ЦИКЛА> REPEAT <ОПЕРАТОРЫ> ;

где KKKK — конечное значение параметра цикла, NNNN — его начальное значение, MMMM — приращение параметра цикла (шаг цикла). Шаг может быть как положительным, так и отрицательным. Цикл выполняется последний раз, когда параметр цикла достигает конечного значения.

Если в программе имеются вложенные циклы со счетчиком, то доступ к параметру внутреннего цикла обеспечивает слово J, а к параметру внешнего цикла — слово I.

Все остальные слова в полном объеме те же функции, что и в стандартном FORTH-83, и подробно описаны в [1]. Это коротко, но полное описание языка ФОРТ и первые 18 с. полностью относятся и к предлагаемой реализации.

НЕСКОЛЬКО СЛОВ О ЦИКЛАХ С УСЛОВИЕМ

Вместо
 BEGIN <УСЛОВИЕ> WHILE <ОПЕРАТОРЫ ЦИКЛА> REPEAT
 рекомендую
 BEGIN <УСЛОВИЕ> IF <ОПЕРАТОРЫ ЦИКЛА> REPEAT
 Вместо
 BEGIN <УСЛОВИЕ> UNTIL
 рекомендую
 BEGIN <УСЛОВИЕ> IF ELSE REPEAT

НЕМНОГО О НАЧАЛЬНОЙ СТАДИИ РАБОТЫ ПРОГРАММЫ

Первое, что делает ФОРТ, — выполняет некоторые ячейки ОЗУ константами: 10 байт — с адреса 800H по 80FH — в том же порядке парятся в ОЗУ, начиная с адреса 1040H: первые 3 байта — это

команда JMP 0F803H на подпрограмму ввода символа с клавиатуры, следующие 3 байта — команда JMP 0F809H на подпрограмму вывода символа на экран, еще 2 байта — адрес поля связи последнего слова в словаре (фактически это адрес первого байта последнего слова в словаре) И наконец, последние 2 байта — адрес первой свободной ячейки кодофайла. Этот же адрес записывается и в поле связи последнего слова в словаре (обычно он указывает на байт, следующий за последним байтом последнего слова в словаре). Если возникнет необходимость расширить ФОРТ-систему словами, написанными на АССЕМБЛЕРА, эти два адреса необходимо будет скорректировать.

Затем инициализируют стек возвращаемым (занесением в регистровую пару SP адреса 1040H) и стек параметров (занесением в пару IHL адреса 103EH), автоматически компилируется содержимое текстового буфера, начиная с адреса 2100H. Если стартовый файл находится по другому адресу, то его следует занести в ячейки с адресами 841H и 842H.

Стартовый файл должен содержать хотя бы одно слово QUIT <ПРОБЕЛ> или два нулевых байта (см. демонстрационную программу в табл. 3).

Для выхода в МОНИТОР достаточно нажать клавишу <F4> или ввести команду F86C EXECUT. Клавишу <F4> можно перепрограммировать, записав по адресам A59H и A5AH другое значение адреса перехода.

(Окончание следует)

ЛИТЕРАТУРА

- Бурго А. Ю., Кириллов В. А., Романовский И. В. ФОРТ — язык для микропроцессора. Л.: Знание, 1989.
- Семезов Ю. А. Программирование на языке ФОРТ — М. Радио и связь, 1991.
- Библиотека информационной технологии. Вып. 2. Под ред. Г. Р. Громова, — М.: Инфотек, 1991.

"SPECTRUM"— СОВМЕСТИМЫЙ КОМПЬЮТЕР

ПРИНЦИПИАЛЬНАЯ СХЕМА

М. БУН, г. Москва

Принципиальная электрическая схема Sp-компьютера изображена на рис. 21. Все процессы, протекающие в нем, синхронизируются генератором на элементах DD30.2, DD30.5, частота которого стабилизирована кварцевым резонатором ZQ1. На выходе (вывод 10) элемента DD30.5 формируется последовательность симметричных прямоугольных импульсов (CLC), следующих с частотой 14 МГц. Эти импульсы поступают на счетный вход (вывод 2) четырехразрядного счетчика DD59. Его выходные сигналы используются для формирования нескольких последовательностей управляющих импульсов, синхронизирующих работу узлов компьютера. Процессы формирования этих сигналов иллюстрируются временными диаграммами, показанными на рис. 22.

К выходам счетчика DD53 подключена микросхема DD45. Она реагирует на его нулевое состояние, при этом на выходе (вывод 11) элемента DD45.4 формируется импульс с низким уровнем, используемый для записи байта из регистра дисплейного контроллера DD39 (см. также рис. 12 в 11) в сдвигающий регистр DD43 для вывода содержимого этого байта на экран монитора.

Первый разряд (вывод 13) счетчика DD53 подключен к одному из входов (вывод 13) микросхемы DD18. Два других входы (выводы 12 и 4) соединены с соответствующими выходами (выводы 15 и 10), благодаря чему эта микросхема работает как трехразрядный сдвигающий регистр. На его вход (вывод 9) подается сигнал CLC, при этом на выходах (выводы 15, 11 и 3) формируются импульсы, совпадающие по времени с сигналами CAS и RAS, обеспечивающими работу динамической ОЗУ, и тактовым сигналом микропроцессора CLC CPL. К ОЗУ (микросхемы DD26, DD27, DD32, DD33, DD37, DD39) и микропроцессору DD43 эти сигналы подводятся через буферные элементы микросхемы DD24.

Счетчик DD53 делит частоту сигнала CLC на 16. С его выхода (вывод 15) снимаются импульсы с частотой повторения 875 кГц, которые поступают на устройство формирования адресов дисплейного контроллера, выполненное на микросхемах DD56, DD58, DD62 и DD63.

Строчную развертку формируют счетчик DD56 и три младших разряда (выводы 14, 13, 12) микросхемы DD58. Для получения импульсов строчной частоты 15,625 кГц из входного сигнала, частоту последнего (875 кГц) необходимо разделить на 56. Достигается это последовательным делением частоты сигнала сначала на 8 счетчиком DD56, а затем на 7 счетчиком DD58.

Кадровая развертка (50 Гц) формируется из сигнала строчной частоты девятиразрядным счетчиком, образованным той же микросхемой DD58 (вывод 11) и счетчиками DD52, DD53, с общим коэффициентом деления 312.

Как известно, микросхемы KP1531IE10 (DD56 и DD58) представляют собой синхронные четырехразрядные счетчики с предустановкой и возможностью каскадного наращивания разрядности. Первый из этих счетчиков делит частоту входного сигнала на 8. Достигнуто это соединением выхода третьего разряда (вывод 11) с входом параллельной записи (вывод 9) и подачей на вход предустановки (выводы 3, 4, 5, 6) кода в соответствии со схемой. При таком включении счетчика обеспечиваются не только деление частоты на 8, но и формирование сигнала с высоким уровнем на выходе 15 в момент, когда в трех младших разрядах (выводы 14, 13 и 12) устанавливаются уровни логической 1. Этот сигнал используется для синхронного включения следующего счетчика (DD58). Временные диаграммы работы счетчиков DD56, DD58 представлены на рис. 23.

На счетный вход С (вывод 2) счетчика DD58 поступает тот же сигнал, что и на одноименный вход DD56, но срабатывает он на фронт этого сигнала в момент, когда на входе СЕР присутствует сигнал с высоким логическим уровнем. Поскольку этот вход соединен с выводом 15 DD56, на каждые восемь входных импульсов приходится одно срабатывание микросхемы DD58. При этом выходы обоих счетчиков переключаются одновременно по фронту входного сигнала.

В счетчике DD58 отсрочку развертку формируют три первых разряда (выводы 14, 13, 12), последний разряд (вывод 11) является первым битом из группы адресов, определяющих номер линии знакоместь (A5 на рис. 17 в [2]) и относится к адресам кадровой развертки.

Как видно из схемы, выходы счетчиков DD56 и DD58 подключены к дешиф-

ратору DD59. Работа последнего разрешается при поступлении на его вход E0 (вывод 6) сигнала логической 1. Этот вход соединен с выходом третьего разряда DD58 (вывод 12). Когда в трех младших разрядах этого счетчика установится состояние 4 (в двоичном коде — 100), а в счетчике DD56 состояние 7 (в двоичном коде — 111), на выходе 3 (вывод 12) дешифратора DD59 появится сигнал с низким уровнем, который после инвертирования элементом DD10.1 (т. е. преобразования в сигнал логической 1) поступит на один из входов (вывод 12) элемента DD61.4. К его другому входу (вывод 13) с выхода счетчика DD56 подводится также сигнал с высоким логическим уровнем, в результате чего на выходе элемента (вывод 11) установится сигнал с уровнем логического 0. Этот сигнал подается на вход PE (вывод 9) счетчика DD58, переводя его из режима счета в режим параллельной записи. Так как на входы предустановки D0-D3 (выводы 3, 4, 5) подан код 110, фронт первого же импульса на входе С (вывод 2) переведет три младших разряда счетчика DD58 в состояние 6. Таким образом, в этих трех разрядах счетчик переходит из состояния 4 в состояние 6, вследствие чего коэффициент деления становится равным 7. Поскольку выход последнего разряда DD58 (вывод 11) соединен с входом предустановки D3 (вывод 6), во время параллельной записи состояния этого разряда не изменяется (он "переписывает" сам себя).

Выходы дешифратора DD59 (выводы 12, 10, 9) подключены к триггерам микросхемы DD60 таким образом, что на их выходах формируются строчный синхронимпульс ССИ (на выходе 6) и строчный синхронимпульс гашения ССГ. Их положение во времени показано на рис. 23.

Выводы 14, 13 и 12 счетчика DD56 и 14, 13 DD58 являются соответственно адресными линиями A0—A4 дисплейного контроллера (рис. 17), определяющими номер знакоместь в телевизионной строке.

Формирование адресов кадровой развертки иллюстрирует рис. 24. Счетными импульсами для счетчиков DD62, DD63 узла кадровой развертки является сигнал, снимаемый с вывода 15 микросхемы DD58. Отдельные выходы счетчиков подключены к дешифратору DD64. При достижении состояния 312 на выходе A3 (вывод 4) дешифратора формируется сигнал с низким уровнем, который поступает на вход (вывод 4) инвертора DD10.2. С выхода последнего (вывод 6) сигнал с уровнем логической 1 поступает на один из входов (вывод 10) элемента DD61.3. Поскольку на другом его входе (вывод 9) в это время также присутствует сигнал с уровнем логической 1, на выходе (вывод 8) формируется сигнал с низким уровнем, который переводит счетчики DD62, DD63 в нулевое состояние, и счет импульсов начинается заново.

Выводы 11 счетчика DD58, 14, 13, 12 DD62 и 14, 13, 12 DD63 являются адресными (кадровыми) линиями A5—A12

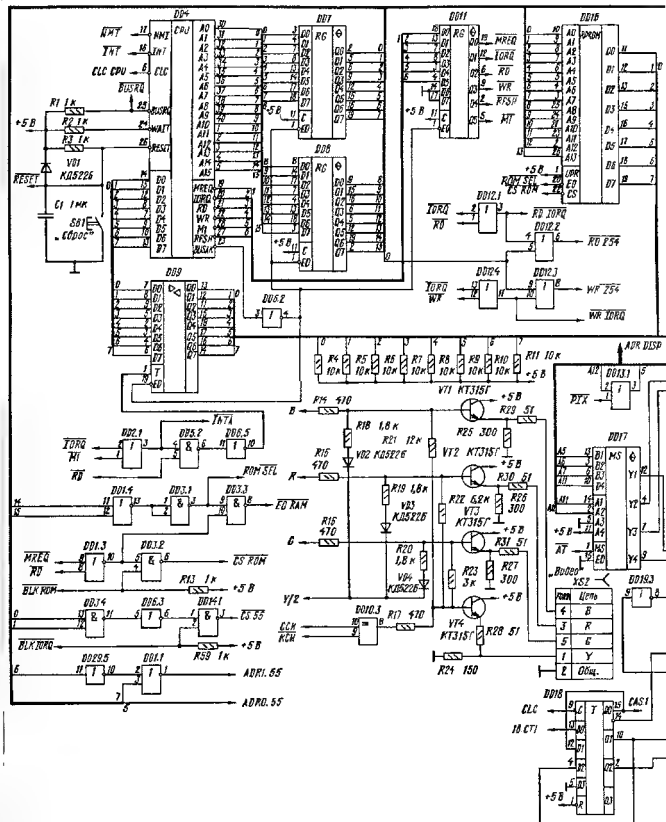
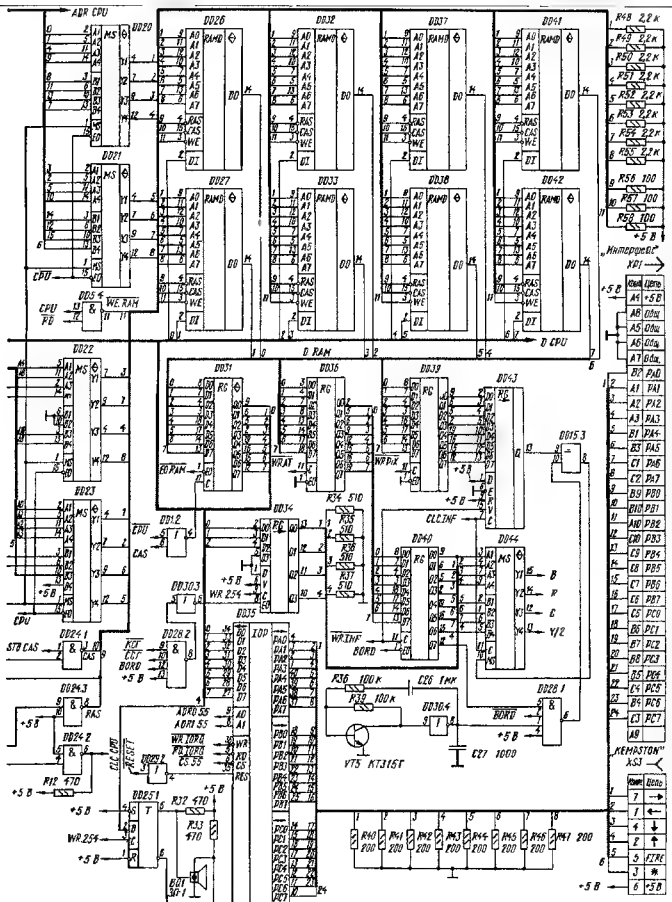
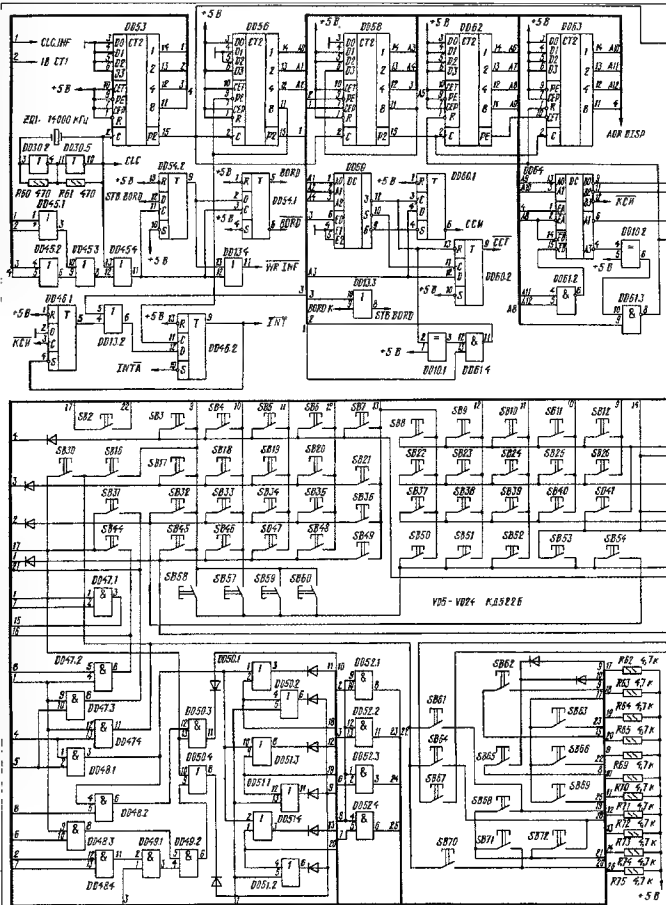
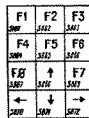
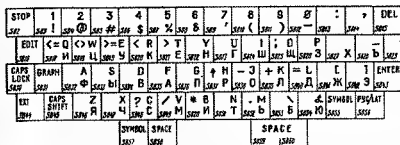
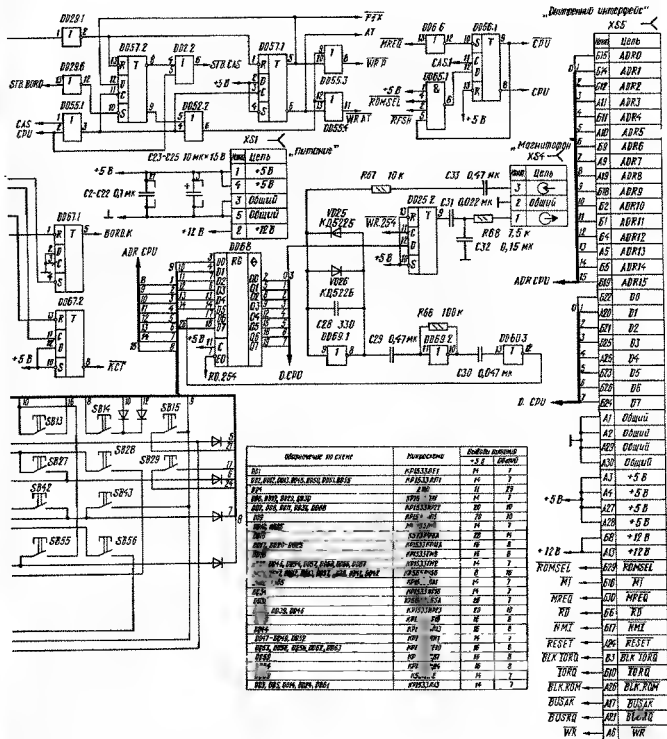


Рис. 21 (См. также с. 25—27)







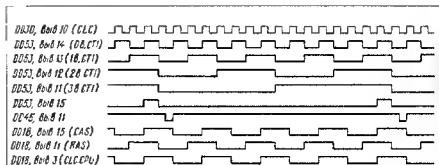


Рис. 22

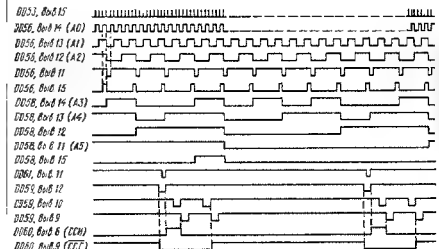


Рис. 23

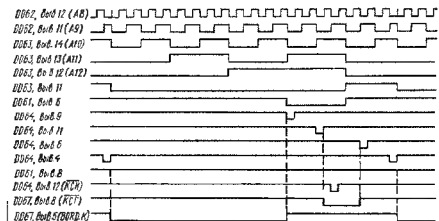


Рис. 24

дисплейного контроллера (рис. 17). Адреса А5—А7 формируются строго по двоичному закону, поэтому на рис. 24 для простоты не показаны.

На выводе В3 (вывод 12) дешифратора DD64 формируются кадровые синхронимпульсы КСИ, а выходы В0 (вывод 9) и В2 (вывод 11) подключены к триггерам микросхемы DD67 таким образом, что на их выходах (выводы 5, 8) вырабатываются сигналы кадрового бордюра BORD K

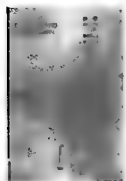
и кадровые синхронимпульсы гашения КГИ (рис. 24)

(Продолжение следует)

ЛИТЕРАТУРА

1. Бун М. "Spectrum" — совместимый компьютер. Память компьютера. — Радио, 1995, № 4.
2. Бун М. "Spectrum" — совместимый компьютер. Формирование изображения на экране монитора. — Радио, 1995, № 6.

НА КНИЖНОЙ ПОЛКЕ



ДАНИЛЕНКО Б. П., МАНКЕВИЧ И. И. ОТЕЧЕСТВЕННЫЕ И ЗАРУБЕЖНЫЕ МАГНИТОФОНЫ: СХЕМЫ, РЕМОНТ. СПРАВОЧНОЕ ПОСОБИЕ

В книге описаны электрические схемы новейших магнитофонов отечественного и зарубежного производства. Приводятся рекомендации по ремонту, регулировке, настройке и измерению их параметров. Пособие содержит обширный справочный материал по транзисторам и микросхемам, их цоколевкам и схемам включения, т. е. все необходимое при ремонте магнитофонов.

Подробно описаны электрические схемы магнитофонов "Юпитер МК-106-С" и магнитофонов-приставок "Орбита МП-121-С", "Электроника МП-204-Стерео". В доступной форме изложены факторы, определяющие качество магнитной записи, методы отыскания неисправностей и их устранения в лентопротяжных механизмах, а также в электрической части магнитофонов — блоках питания и стабилизаторах, усилителях звуковой частоты в режимах "Воспроизведение" и "Запись". Приводится методика проверки основных параметров и регулировки магнитофонов, в том числе блоков коммутации.

В отдельной главе автор описывает особенности ремонта и регулировки зарубежных магнитофонов, рассказывает об элементах схем вертушечной аппаратуры и их отечественных аналогах.

В приложениях к справочному пособию приводятся аналоги микросхем отечественного и зарубежного производства, параметры транзисторов и расположение выводов на них, описываются возможные схемы включения транзисторов и микросхем зарубежного производства. Здесь же даны основные технические характеристики зарубежных магнитофонов, в том числе автомобильных, а также принципиальные схемы магнитол и магнитофонов ряда ведущих иностранных фирм.

Справочное пособие рассчитано на радиолюбителей и мастеров по ремонту магнитофонов.

Минск,
издательство "Беларусь", 1994



МИНСКОЕ ПО ВЫЧИСЛИТЕЛЬНОЙ ТЕХНИКЕ

опыт производства и эксплуатации 200 АТС в 170 городах и поселках СНГ

ПРЕДЛАГАЕТ

электронные автоматические телефонные станции с цифровой коммутацией, возможностью наращивания количества номеров и полным набором сервисных функций:

ЭАТС "КВАНТ"

- потребляемая мощность — до 3 Вт/номер;
- площадь для размещения — 0,02–0,03 м²/номер;
- емкость АТС — от 60 до 10000 номеров;
- количество направлений связи — 64;

ЦЭАТС "БЕТА-М"

- собрана в одном стативе;
- емкость 180 или 760 номеров;
- потребляемая мощность — 1,5 Вт/номер;
- количество направлений связи — от 2 до 6;

а также офисные:

"ЭУАТС 32/7"

- программируемая с главного телефонного аппарата мини-АТС на 32 внутренних и 7 внешних номеров;
- более 20 сервисных функций, в том числе: автодозвон, ограничение доступа к внешней связи, конференц-связь;
- комплекс из трех ЭУАТС — это конфигурация 90/15

"ТЕЛЕФОННЫЙ КОММУТАТОР 1/8"

- позволяет подсоединить к одной городской линии до 8 абонентов без взаимного прослушивания и организовать между ними внутреннюю связь.



ВАШ ЛУЧШИЙ СВЯЗНОЙ - АТС МИНСКОЙ МАРКИ

220847, г. Минск,
ул. Кульман, 1, ТКЦ МПОВТ

Тел.: (0172) 324-205, 321-226,
324-665. Факс (0172) 321-182.

Компьютеры фирмы «SCORPIO»

Scorpion® ZS 256 TURBO

Разработка 1992-95 гг.

Варианты поставки по цене:

Настроенная плата (+АУ 8912) \$39 (+\$5)

Настроенная плата "Турбо" (+АУ) \$44 (+\$5)

Настроенная плата "Турбо" с Проф13У 256 К6 (+АУ) \$50 (+\$5)

Набор для "отверточной" сборки \$100 - 110

Готовый компьютер с дисководом \$120 - 130

Специально для Scorpion ZS 256 разработаны и выпускаются контроллеры

IBM клавиатуры, Капитал-Моде, MIDI интерфейсы, IBM (Hард) модем,

световой пистолет программатор. Все устройства поддерживают

соответствующим программным обеспечением

Подобную информацию Вы получите, посыл запрос по адресу.

199048, Санкт-Петербург, а/я № 083, Сергею Зонову

Тел. (812) 524 - 16 - 53, 172 - 69 - 94

Оплата в рублях по к/д; ММВЕ. При поставке по почте

дополнительные расходы 15%

Среднее время от момента

оплаты до получения заказа

— 3-4 недели. Отсрочен

покупателем — скидки

покупателем — скидки

покупателем — скидки

покупателем — скидки

покупателем — скидки

покупателем — скидки

покупателем — скидки

покупателем — скидки

Фирма ISLAND

предлагает для профессионалов и смелых начинающих

■ Все для IBM PC - комплектующие, периферия, бестселлеры, операционные системы, обучающие и игровые программы на CD и флорпи дисках

■ Все для SPECTRUM - комплектующие, литература, программное обеспечение на кассетах и дисках

■ Профессиональная связная аппаратура: HF, UHF, VHF.

Для получения каталога необходимо Вам

по почте конверт с обратным адресом

и указанием направления

(IBM, SPECTRUM, RADIO),

по адресу

127434, Москва

а/я 1

АОЗТ "Айленд"

☎ (095) 495-55 57

АОЗТ "ОПТОВЭЛ"

предлагает:

- широкий выбор электронно-измерительных приборов (осциллографы, генераторы импульсов, частотомеры, мультиметры и т. д.);
- гарантийный и послегарантийный ремонт приборов;
- оптическое-механическое, сборочное и контрольно-измерительное оборудование производства концерна "ПЛАНАР" г. Минск.

Наш адрес: 103482, Москва, Зеленоград.

Центральный проспект, 2, ЗАКЛ, оф. 22.

Телефоны: (095) 530-06-24, 535-03-51.

Телефон/факс (005) 536-17-77.

ТЕСТЕР FD - диагностический комплекс для проверки и ремонта

накопительная TMA 5.25" (95 \$): 5.25" и 3.5" (120 \$). Состав комплекта:

тестер FD, тестировочная, тестовая и чистящая дискеты; руководство и

паспорт на прибор. ТЕСТЕР SB - диагностическое устройство для ремонта

системных блоков IBM PC/AT-286 совместимых компьютеров (80 \$).

Основная поставка тестировочных дискет, документации на периферийные

устройства, справочные данные по зарубежным СБМС. 170024, г. Тагил,

ул. 3. Космонавты, 1/17. Телефон (0822) 44-55-03. т/ч "СКАУТ" АТА.

НА ТРАНЗИСТОРАХ МП

Ю. ПРОКОПЦЕВ, г. Москва

Читатели уже, наверное, привыкли к тому, что на страницах журнала "Радио" периодически появляются описания конструкций, в которых используются транзисторы серий МП. Сегодня — очередная подборка таких описаний.

Кстати, транзисторы этих серий, как и некоторые другие радиодетали, можно по-прежнему приобрести по сравнительно низким ценам в редакции журнала. Справки по тел. (095) 208-28-38, 207-77-28.

ИМИТАТОР ЗВУКОВ ПАРОВОЗА

Модели ушедших в прошлое паровозов, несомненно, впечатляют. Усилить это впечатление можно постройкой предлагаемого имитатора звуков, сопровождавших периодический выпуск пара настоящего паровоза. Люди старшего поколения помнят, что во время стянки паровоза избыток пара стравливался специальным клапаном с частотой, близкой к 1 Гц, а с началом движения и набором скорости частота выпуска пара увеличивалась.

Электрическая схема имитатора таких звуков приведена на рис. 1. В него входят генератор инфранизкой частоты, источник "белого" шума, усилитель сигналов 3ч и звукоизлучатель. Генератор выполнен на транзисторах VT1, VT2 по схеме несимметричного мультивибратора. Частота вырабатываемых им импульсов определяется сопротивлением резисторов R1, R2 и емкостью конденсатора C1. Переменным резистором R1 можно изменять постоянную времени цепочки из указанных деталей, а значит, добиваться наилучшего звукового эффекта имитатора.

С резистора R3 сигнал генератора поступает на каскад, в котором работает транзистор VT3 с отключенным коллектором. В итоге прошедший через каскад сигнал "окрашивается" характерным шипением. Сформированный сигнал подается далее через конденсатор C2 на усилитель 3ч, собранный на транзисторах VT4—VT6. Режим работы транзисторов по постоянному току стабилизирован введением отрицательной обратной связи с эмиттера выходного транзистора усилителя на базу входного. Нагружен усилитель не динамической головкой BA1, выполняющей роль звукоизлучателя.

На месте транзисторов структуры p-n-p могут быть МП39—МП42 с любым буквенным индексом либо МП25, а на месте транзисторов структуры n-p-n — МП35—МП36 также с любым индексом. На роль "шумового" транзистора VT3 следует попробовать несколько экземпляров из числа имеющихся и выбрать наиболее "шумливый" (сделать это удастся, конечно, лишь при проверке и налаживании имитатора).

Постоянные резисторы МЛТ мощностью до 0,5 Вт, переменный R1 — СП-0,4, СПО-0,15. Конденсатор C2 — два параллельно соединенных КЛС или МБМ емкостью по 0,1 мкФ, остальные — оксидные К53-1, К50-6. Динамическая головка 0,25ГДЦ-2 или другая малогабаритная мощностью до 0,5 Вт и со звуковой катушкой сопротивлением 30—50 Ом. Источником питания могут стать последовательно соединенные две батареи 3336 либо шесть гальванических элементов, все зависит от требований к габаритам устройства и ожидаемой интенсивности его использования.

Детали имитатора монтируют на плате (рис. 2) из одностороннего фольгированного материала. Соединительные проводники на плате образуются в результате прорезания изолирующих канавок в фольге. Плату с источником питания можно разместить в подходящем по габаритам корпусе или внутри ответного блока

питания, в случае использования его в совместной работе с имитатором.

После сборки платы и проверки монтажа подает выключателем S1 питание и проверяют ток в цепи динамической головки. При необходимости его устанавливают в указанных на схеме пределах подбором резистора R7. Затем подбирают наиболее "шумящий" транзистор VT3, после чего несколько раз переводят движок переменного резистора из одного крайнего положения в другое и проверяют пределы изменения частоты "выпуска пара". Если они недостаточны, подбирают детали R1, R2, C1.

В случае использования имитатора с электрофицированной моделью железной дороги, у которой скорость паровоза управляется ручкой реостата, целесообразно соединить механически движок реостата с движком переменного резистора R1, что позволит добиться более естественной звуковой имитации.

ИГРА "НОЖНИЦЫ", "БУМАГА", "КАМЕНЬ"

Есть такая дилемма или игра для двоих, в которой каждый игрок, делая очередную ход, выбирает символ ножниц, бумаги либо камня. Предмет, оказавшийся более "весомым", приносит выигрышное очко. Так, ножницы одолевают бумагу, которая по условиям игры сильнее камня, но в то же время ножницы слабее камня. Если выбраны два одинаково "сильных" или "слабых" предмета, результат хода считается ничейным. Естественно, играющие пытаются предугадать ход партнера и выбрать победный вариант.

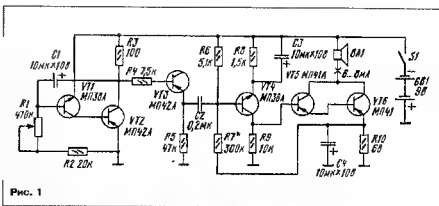


Рис. 1

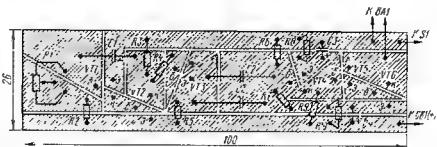


Рис. 2

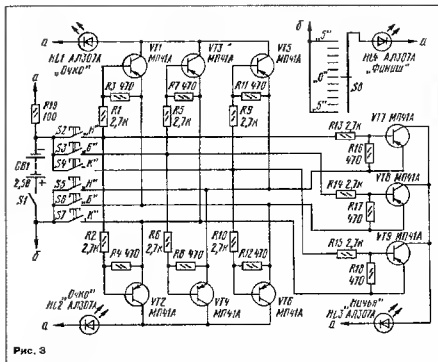


Рис. 3

Группа кнопок S2—S4 управляет питанием базовых цепей транзисторов, а S5—S7 — эмиттерных. Тот или иной транзистор откроется лишь в случае, когда обе его цепи окажутся подключенными к источнику питания и тем самым как бы реализуется логическая функция И.

Предположим, первый играющий нажал кнопку S2 ("Н" — "ножницы"), его партнер — кнопку S6 ("Б" — "бумага"). При этом базовая цепь транзистора VT1 оказывается соединенной с минусом источника питания, а эмиттерная — с плюсом. Транзистор открывается, вспыхивает светодиод HL1 и сигнализирует о выигрыше очка первым играющим. Одновременно через контакты нажатых кнопок поступает напряжение на базы транзисторов VT2, VT7, а также на эмиттеры VT6, VT8, но эти транзисторы остаются закрытыми.

Если второй играющий вместо "бумаги" выберет "камень" и нажмет кнопку S7, откроется транзистор VT2, загоревшийся светодиод HL2 известит о набранном им очке. Аналогично, при выборе обоими играющими, скажем, "ножницы", откроется транзистор VT7 и засветившийся светодиод HL3 известит о ничейном результате этой попытки.

Чтобы не держать в памяти количество выигранных очков, устройством снабжено счетчиком, основой которого служит галетный переключатель S8 с один-

надцатью положениями. Его среднее положение соответствует началу партии. Сделав выигрышный ход, участник переводит ручку переключателя на одно положение в свою сторону, уменьшая итог соперника на очко. Когда оказывается достигнуто какое-нибудь крайнее положение, замыкается цепь питания светодиода HL4, извещающего об окончании партии. Завершающий победный ход перед этим высвечивается светодиодом HL1 или HL2.

Если запасы деталей для повторения игры ограничены, допустимо вообще отказаться от индикации ничейных ходов и окончания партии. Игра в этом варианте может продолжаться до накопления одним из участников обусловленного количества очков, которые придется фиксировать на листе бумаги.

В игре могут быть использованы транзисторы МП39—МП42, МП25 с любыми буквенными индексами или любые из транзисторов МП35—МП38. Но в послед-

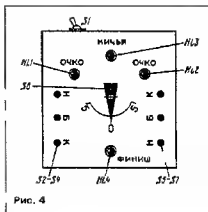


Рис. 4

нем варианте придется изменить на обратную полярность подключения источника питания и светодиодов. Резисторы — любые малогабаритные мощностью до 0,5 Вт. Источник питания — два последовательно соединенных элемента 316. Выключатель питания, кнопки и переключатель любой конструкции.

Органы управления и индикации располагают на лицевой и передней стенках корпуса (рис. 4), транзисторы и резисторы монтируют на плате из изоляционного материала, а источник питания крепят вместе с платой внутри корпуса.

ПРОСТОЙ МАЛОГАБАРИТНЫЙ СУПЕРГЕТЕРОДИН

Такой приемник (рис. 5) свободно умещается в кармане, в сборке и налаживании он не сложнее приемника прямого усиления, а по чувствительности и избирательности превосходит его. Рабочий диапазон приемника — средневолновый (СВ), в котором практически круглосуточно вещают многие радиостанции.

Принятый магнитной антенной и выделенный ее контуром L1C1C2 сигнал желаемой радиостанции поступает через катушку связи L2 на базу транзистора VT1, работающего в каскаде преобразователя частоты с совмещенным гетеродином. Контур гетеродина L6C9C7C12 частично подключен к эмиттерной цепи транзистора VT1, а через катушку L5 связан с его коллекторной цепью. Именно в этой цепи протекают токи сигнала принимаемой радиостанции, гетеродина разностной (промежуточной) частоты. Интересующий нас сигнал промежуточной частоты (465 кГц) выделяется на катушке L3 и через дельта-контурный фильтр ПЧ (L4C5C6C8L7) и катушку L8 поступает на вход рефлексного каскада, собранного на транзисторе VT2.

Нагрузка рефлексного каскада по промежуточной частоте — индуктивность катушки головного телефона BF1. С этой нагрузки сигнал ПЧ подается на детектор, выполненный на транзисторе VT3. Здесь осуществляется не только детектирование сигнала, но и предварительное усиление составляющей 3Ч. Далее сигнал 3Ч награвляется через фильтр C13R7C10, ослабляющий колебания ПЧ, на базу транзистора VT2. Теперь каскад на этом транзисторе превращается в усилитель мощности, нагрузкой которого служит головной телефон BF1 — из него и слышится передача принимаемой радиостанции.

Следует заметить, что емкость конденсатора C12 выбрана такой, чтобы воспрепятствовать проникновению сигнала 3Ч с усилителя мощности на детектор. Использование же телефона в качестве дроссельной нагрузки при усилении сигнала ПЧ, помимо упрощения конструкции, позволяет устранить паразитные связи и самовозбуждение, характерные для рефлексных каскадов при тесном монтаже деталей. Устойчивость работы

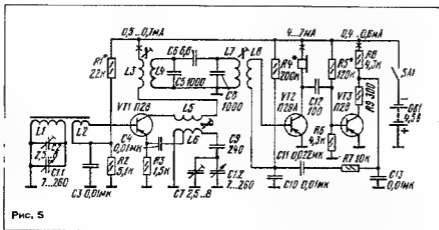


Рис. 5

ЧИТАЙТЕ В «КВ ЖУРНАЛЕ»...

Третий год издается «КВ журнал», но до сих пор далеко не все потенциальные его читатели знают о существовании этого специализированного издания, материалы в котором посвящены вопросам любительской радиосвязи. Журнал распространяется только непосредственно из редакции, поэтому его нет в каталогах «Роспечати».

Около половины объема «КВ журнала» отводится под описание аппаратуры для любительской связи и справочные материалы. На остальных страницах помещаются материалы, связанные с работой в эфире, публикуются заметки о радиолюбителях, проводимых ими экспедициях.

В 1994 г. вышло пять номеров «КВ журнала». Читателям «Радио», думаю, небезынтересно будет узнать, какие материалы были помещены на его страницах в прошлом году в разделе «Техника».

В течение года, например, были опубликованы описания нескольких законченных конструкторских схем аппаратуры и отдельных узлов. В № 2 и 3 трехдиапазонный (на 40, 80 и 160 м) микро-трансверс «Тополь» и линейный усилитель к нему, в № 3—5 вседиапазонный КВ трансверс «УЭС-93», в № 5 ламповый трансверс «Доббс-1М» на 160 м и ЧМ передатчик на двухметровый диапазон, в № 1 усилитель мощности на лампе 6У-74.

В № 2 и 3 журнал продолжал знакомить читателей с высокоэффективной антенной современной КВ радиостанции (начиная — в № 6 за 1993 г.) с практическими конструкциями антенн DJ9BV на УКВ диапазоне, рассказывалось в № 2. Кроме того, помещены заметки о модифицированной антенне «Window» (№ 2), об антенне на 40-метровый диапазон с переключением диаграммы направленности (№ 4), о многодиапазонной двухэлементной «Delta Loop» (№ 5).

В № 1 описан блок питания портативной радиостанции, в № 4 — точное вычисление устройства.

Читатели могут позаниматься также с расчетом оптимальных параметров колебательных контуров и полосовых фильтров (№ 2), с описанием универсальной системы VOX (№ 2) с конструктивной сенсорного телеграфного ключа (№ 4) и с другими материалами.

Есть некоторый запас номеров «КВ журнала» за 1994 г. Их можно приобрести в редакции. Вот цены на эти номера (в скобках указана стоимость журнала с учетом пересылки): № 1, 2 — по 1000 руб. (по 2200 руб.), № 3, 4, 5 — по 2500 руб. (по 3700 руб.). Имеется также нашумевший аккредитованный «КВ журнала» № 6 за 1993 г. Стоит номер 500 руб. (1700 руб.).

Если приобретается десять и более экземпляров одного номера, предусмотрена 10-процентная скидка.

Стоимость индивидуальной подписки на первое полугодие 1995 г. (три номера), включая пересылку на домашний адрес внутри России — 9000 руб., для членов Союза радиолюбителей России — 7500 руб., для стран СНГ — 12000 руб. Для остальных стран — 6 долларов США. Деньги следует переводить на расчетный счет редакции «Радио» (он указан на первой странице журнала). При подписке в один адрес дается и более экземпляров журнала дается 10-процентная скидка. Розничная цена одного экземпляра «КВ журнала» — 3300 руб.

Редакция «КВ журнала»

в данном случае достигается выносом дросселя-телефона за пределы монтажной платы приемника.

О деталях приемника. Для магнитной антенны использован стержень диаметром 8 мм и длиной 65 мм из феррита 600НН. На стержень надет цилиндрический бумажный каркас, который можно с трением перемещать по стержню. На каркас наматывают виток к витку проводом ПЭВ или ПЭЛШО 0,2...0,25 расположенные вблизи друг от друга катушки магнитной антенны. L1 содержит 90 витков, L2 — 8. Катушки гетеродина наматывают проводом ПЭВ, ПЭЛ 0,1 на секционированном каркасе, помещаемом внутри бронированного ферритового магнитопровода наружным диаметром 8 мм с подстроечником. L6 содержит 100 витков с отводом от 4-го витка, считая от левого по схеме вывода, а L5 — 15 витков. Катушки фильтров ПЧ можно взять готовые, например, от переносного транзисторного приемника «Селга-404» или изготовить самим, используя каркасы и магнитопроводы, применяемые для катушек гетеродина. На одном таком магнитопроводе располагают катушки L3, L4, на другом — L7, L8. Катушки L4, L7 должны содержать по 100 витков, L3 — 30, L8 — 10 витков провода ПЭВ или ПЭЛ 0,1. В этом варианте контуров конденсаторы C5, C6 должны быть емкостью 510 пФ, C6 — 10 пФ.

Двухсекционный блок КПЕ (C1) желательно выбрать из числа имеющих встроенные подстроечные конденсаторы (C2 и C7), иначе такие конденсаторы (например, КПК-М) придется приобретать отдельно и монтировать их на плате. Остальные конденсаторы — КТ-1, КЛС. Резисторы могут быть МЛТ или БС мощностью 0,125 или 0,25 Вт. Головной телефон — ТМ-2В, ТМ-4. Источник питания — три последовательно соединенных элемента 316, но лучшие результаты получаются при использовании четырех дисковых аккумуляторов Д-0,1 — ведь их можно периодически подзарядать, а значит, питания хватит надолго.

Примерное расположение деталей приемника на плате показано на рис. 6. Корпус приемника — либо готовый, либо самодельный возможно меньших габаритов.

Налаживание приемника начинают с проверки и установки режимов транзисторов по постоянному току в режиме покоя (при отсутствии принимаемого сигнала на базе перевого транзистора). Коллекторные токи транзисторов должны соответствовать указанным на схеме. При необходимости точнее установить тот или иной ток, достаточно подобрать резистор (R1, R4, R5) в цепи базы соответствующего транзистора.

Настраивая затем приемник на какую-нибудь радиостанцию, подстроечными катушками L4, L7 добиваются наибольшей громкости звука в телефонах. Далее подстроечником катушки L6 и конденсатором C7 устанавливают границы диапазона принимаемых частот, после чего конденсатором C2 и перемещением каркаса с катушками магнитной антенны по стержню настраивают приемник на максимум громкости вблизи высокочастотного и низкочастотного концов диапазона соответственно. Если после этого громкость звука радиостанций, принимаемых в середине диапазона, окажется ослабленной, описанный процесс сопряжения контуров в начале и в конце диапазона повторяют, стараясь добиться одинаковой громкости звука во всем диапазоне.

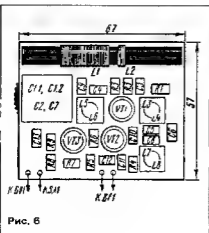


Рис. 6

ЭЛЕКТРОННЫЕ ЗВОНКИ НА ЛЮБОЙ ВКУС

...ДВУТОНАЛЬНЫЙ НА МИКРОСХЕМЕ К561ЛН2

Электронной основой моего звонка (см. схему) служат три генератора прямоугольных импульсов, выполненных на одной микросхеме. На элементах DD1.1 и DD1.2 собран текстовый генератор, формирующий импульсы, оледующие с частотой около 5 Гц, а на элементах DD1.3, DD1.4 и DD1.5, DD1.6 — тональные генераторы с небольшой разницей в частоте импульсов. Резисторы R5—R7 выполняют функцию смесителя двухтональных сигналов. Транзисторы VT1—VT3 усиливают сигнал трели, который через конденсатор С6 поступает к динамической головке ВА1 для преобразования в звук.

Диоды VD1 и VD2 служат для развязки между собой генераторов. Резистор R6, выходящий в смеситель, и резистор R2 на выходе тактового генератора предотвращают переходные процессы после отключения питания звонка.

Интересная роль конденсатора С5. Благодаря ему при включении и выключении звонка происходит относительно

сигнала 3Ч на нагрузке сопротивлением 8 Ом — 0,1 Вт, потребляемый ток — не более 0,1 А.

Резисторы и конденсаторы устройства могут быть любого типа. Трансформатор Т1 блока питания — понижающий напряжения сети до 15...18 В. Стабилизатор VD7 на напряжение стабилизации 11,5...12 В. Транзистор KT315Б можно заменить любым кремниевым малой или средней мощности структуры p-n-p, транзисторы KT816Б и KT817Б — любыми из серий KT814 и KT815 соответственно. Микросхема К561ЛН2 заменима на 561ЛН1. Но у нее иное расположение выводов и, кроме того, есть еще два вывода управления (4 и 12), которые надо соединить с общим проводом. Можно использовать и другие микросхемы, например К561ЛА7, К561ЛЕ5, К176ЛА7. В таком случае потребуются уже две микросхемы и соответствующая перестройка монтажа устройства.

Печатная плата звонка не разрабатывалась — все соединения выполнены навесным способом.

Настройка устройства заключается

... МЕЛОДИЧНЫЙ

В этом звонке (см. схему) использована идея, описанная С. Лялякиным и В. Тюлиным в статье "Мелодичный звонок", опубликованной в "Радио", № 2, 1990 г. Но в моем варианте звонка нет пауз между звуками, исключен полетный транзистор, питание — от сети.

Устройство работает так. Сигнал генератора основного тона, собранный на элементах микросхемы DD1, поступает на вход 1 делителя частоты DD6. С выхода (вывод 13) этой микросхемы импульсы малой длительности попадают на вход D-триггера DD3.2, формирующего из них сигнал вида "мандра", который после усиления транзистором VT3 преобразуется в динамическую головку ВА1 в звук. Тон (частота) звука зависит от коэффициента деления делителя частоты DD6, определяемого кодом на его информационных входах D1...D8. Код же на этих входах микросхемы поддерживается постоянным в течение такта и мгновенно, без такта паузы, изменяется на другой по спаду тактового импульса, поступающего на вход С2 (вывод 8) регистра DD5, работающего в режиме параллельной загрузки. При этом код с выводов 1, 2, 4, 8 счетчика DD4 фиксируется на выходах делителя на время следующего такта.

Счетчик DD4, непрерывно сменяющий импульсы, поступающие на его вход С1 от генератора основного тона, является датчиком случайных чисел от 1 до 15, которые и определяют коэффициент деления делителя частоты основного тона в целое число раз.

Реле времени, поддерживающее звонок во включенном состоянии 6...10 с, собран на базе триггера Шмитта. При нажатии на кнопку SB1 начинает работать блок питания, транзистор VT2 открывается, срабатывает реле К1 и контактами К1.1 блокирует кнопку SB1, через 6...10 с напряжение на конденсаторе С3, заряжающемся через резистор R5, достигает значения, при котором открывается транзистор VT1. В результате триггер переключается в исходное состояние, обмотка реле К1 обесточивается и звонок отключается от сети.

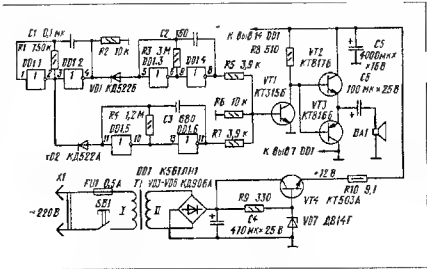
Сетевой блок питания звонка образуют трансформатор Т1, понижающий напряжение сети до 7...10 В, диодный мост VD2—VD5, интегральный стабилизатор DA1 и фильтрующие конденсаторы С4, С5. Он может быть выполнен по любой другой схеме, но рассчитан на напряжение 5 В при токе до 250 мА.

Реле К1 — РЭС49 (паспорт РА 569.421 09). Микросхемы могут быть серии К133. Транзисторы VT1, VT2 — любые кремниевые, причем VT2 с допустимым током коллектора, осцилируемым с током срабатывания реле К1. Транзистор KT630А заменим на любой из серий KT602, KT815. Динамическая головка ВА1 мощностью более 0,2 Вт со звуковой катушкой сопротивлением 6...8 Ом. Без ущерба для работы устройства резисторы R2 и R4 можно исключить.

Коротко о наладке. При замыкании выводов конденсатора С3 и кнопки SB1 подбирают резистор R6 такого сопротивления, чтобы на нем было напряжение 1,5...2 В. При этом реле К1 должно надежно работать при токе через его обмотку не более допустимого для транзистора VT2 (100 мА для KT315Б). Затем с конденсатора и кнопки удаляют перемычки и нажимают кнопку SB1 — звонок должен включиться и через 6...10 с отключиться от сети.

С. ДЬЯКЕВИЧ

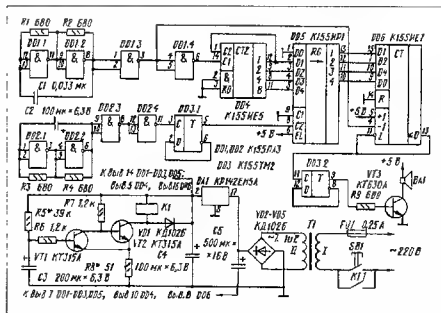
г. Одесса



плавное нарастание и спад напряжения питания устройства и связанное с этим явление плавное изменение тональности звука генераторов в начале и конце трели. Эксперименты показали, что его емкость, указанная на схеме, для описываемого варианта звонка оптимальна и дальнейшее ее увеличение не дает ощутимого увеличения времени плавного изменения тональности звуковых сигналов.

Блок питания, собранный по традиционной схеме, состоит из сетевого трансформатора Т1, выпрямителя VD2—VD5, фильтрующего конденсатора С4 и простейшего стабилизатора напряжения на стабилизаторе VD7 и транзисторе VT4. Стабилизатор необходим, чтобы на изменялась частота тональных генераторов при колебаниях напряжения питающей сети. Максимальная выходная мощность

в подборе резисторов и конденсаторов всех трех генераторов для получения наиболее мелодичного и красивого его звучания. На это время постоянные резисторы R1, R3 и R4 можно заменить подстроечными или перемычными резисторами, что значительно ускорит процесс настройки генераторов на соответствующие частотные сигналы. Можно также последовательно с этими резисторами включить дополнительные с несколько большим суммарным сопротивлением или сыгнанным путем подобрать конденсаторы С2 и С3. Наиболее приятным и мелодичным звуковой сигнал будет тогда, когда тональные генераторы настроены на близкие по частоте сигналы



Возможно, придется подобрать и резистор R5, чтобы триггер надежно срабатывал и реле выключалось.

Напряжение питания обмотки реле можно повысить, переключая ее верхний (по схеме) вывод и диод VD1 на плюсовый вывод конденсатора C5, что позволит применить реле других типов.

Общую тональность звучания можно изменить подбором конденсатора C1. Длительность же каждого звука (такта) зависит от емкости конденсатора C2, а продолжительности работы звоика — от емкости конденсатора C3 и сопротивления резистора R5.

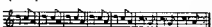
В. ПИЦАН

г. Бельцы, Молдова

... НА МИКРОСХЕМЕ K176IE12

Это электромусыкальное устройство формирует только четыре тона (ноты). Но схемотехнически оно построено так, что ноты имеют разную длительность и разорделены по тактам, причем в каждом такте может быть две или три ноты. Это позволило сформировать музыкальный фрагмент, воспринимаемый на слух как эллиот (окончание) условного музыкального произведения.

Музыкальная запись на нотном стане воспроизводимого фрагмента выглядит примерно так:



Под термином "примерно" здесь подразумевается, что, учитывая специфику работы микросхемы K176IE12, переключением мелодии с такта с тремя нотами на такт с двумя нотами и наоборот происходит асинхронно (в любом месте такта) с воспроизводимой мелодией. В результате появляются дополнительные, приятные на слух нотные "переливы" в моменты переходов, вариантов которых может быть несколько. Несмотря на такую "расинхронизацию" всей мелодии, нарушения ритмического рисунка воспроизводимого фрагмента на слух практически не замечается.

Основой устройства (рис. 1) служит микросхема K176IE12 (DD1), которая совместно с полевыми транзисторами K176IE1 (VT1, VT2) формирует весь музыкальный рисунок. Резисторы R1 и R3-R5, конденсатор C2, а также транзисторы VT1 и VT2, работающие в ключевом режиме, являются элементами внутреннего генератора микросхемы. DD1. Конденсатор C1 и резистор R2 обеспечивают надежный запуск генератора в момент включения питания. Частота генерации (высота нот) зависит от номиналов резисторов R3-R5 и конденсатора C2.

Музыкальный рисунок мелодии формируется коммутацией резисторов R4 и R5 параллельно резистору R3 через стоки транзисторов VT1 и VT2, которые, в свою очередь, управляют сдвигами между собой на 90° импульсами, поступающими с выходов T3 и T2 (8-го разряда делителя микросхемы). Наличие в каждом такте мелодии двух или трех нот зависит от уровня сигнала на выходе M счетчика-делителя на 60, управляемого импульсами, снимаемыми с выхода F (5-й разряд делителя).

Работает устройство следующим образом. В момент включения питания счетчик-делитель микросхемы устанавливается в случайное состояние. Допустим,

что на выходе M микросхемы сигнал высокого уровня. В таком случае транзистор VT2 окажется закрытым (заблокированным) через диод VD1. Поэтому только резистор R4 будет подключаться параллельно резистору R3 через стоки транзистора VT1, управляемого (периодически закрываемыми) положительными импульсами с выхода T3 микросхемы. Частота коммутации — 25-266 раз ниже исходной частоты генератора при скважности импульсов, равной 4. В результате этого образуются такты из двух нот разной длительности.

Частоты генерации (высоты нот) можно определить по формулам $f_1 = (0,46/R3 + R4)/C2 \cdot R3 \cdot R4$, где f_1 — соответствует ноте "соль" (транзистор VT1 закрыт), f_2 — нота "до" (транзистор VT1 открыт и резисторы R3 и R4 соединены параллельно). Коэффициент 0,46 — эмпирический и зависит, в основном, от напряжения питания микросхемы.

Пусть некоторое время на выходе M микросхемы появится напряжение низкого уровня. Теперь диод VD1 закроется, транзистор VT2 разблокируется и будет управляться (периодически закрываться) импульсами высокого уровня с выхода T2 микросхемы. Резисторы R4 и R5 станут поочередно или одновременно подключаться параллельно резистору R3 через стоки транзисторов VT1 и VT2 соответственно, образуя такты из трех нот мелодии.

При этом возникает колебание частотой f_1, f_2, f_3 . Частоты f_1 и f_2 можно рассчитать по формулам:

$$f_1 = 0,46(R3 + R5)/C2 \cdot R3 \cdot R5,$$

транзистор VT1 закрыт, VT2 — открыт, резистор R5 подключается параллельно резистору R2 — звучит нота "ля",

$$f_2 = 0,46(R3 \cdot R4 + R4 \cdot R5 + R3 \cdot R5)/C2 \cdot R3 \cdot R4 \cdot R5,$$

оба транзистора открыты, резисторы R4 и R5 подключаются параллельно резистору R3 — звучит нота "ре".

Результрующий сигнал, снимаемый с выхода микросхемы, усиливается по мощности транзистором VT3. Небольшая мощность, рассеиваемая этим транзистором (не более 0,7 Вт), позволяет обойтись без теплоотвода.

Уровень громкости воспроизводимой мелодии услаивают подстроенным резистором R6.

Размещение деталей устройства в корпусе (размеры 135x75x50 мм) показано на рис. 2. Печатная плата (рис. 3), на которой смонтирована большая часть

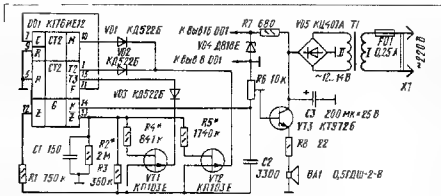


Рис. 1

ГЕНЕРАТОРЫ И ФОРМИРОВАТЕЛИ ИМПУЛЬСОВ НА МИКРОСХЕМАХ КМОП

С. БИРЮКОВ, г. Москва

Журнал уже не раз поднимал эту тему на своих страницах (см., например, "Радио", 1985, № 8), однако вопросы генерирования и формирования импульсов по времени и форме остаются для многих радиолюбителей-конструкторов все еще весьма важными.

Публикуемая ниже статья обобщает опыт, накопленный автором за последние годы, и знакомит с ним наших читателей.

В радиотехнической практике находят применение различные генераторы и формирователи импульсов, отличающиеся по стабильности, пределам перестройки частоты и длительности импульсов, их скважности и др. Рассмотрим сначала особенности ряда распространенных генераторов.

Пожалуй, из простых наиболее стабильный генератор на трех инверторах (рис. 1, а), подробно описанный в [1]. Подобен по схеме генератор на двух инверторах (рис. 1, б), но в его работе есть факторы, снижающие стабильность частоты генерации. Описание работы генераторов в [1] опиралось на идеализированную модель инвертора, в которой выходной сигнал равен напряжению питания, пока входное напряжение меньше порога переключения, и равно нулю, если входное напряжение выше порога (рис. 2, график а).

Однако у реальных инверторов есть более или менее протяженный участок зависимости выходного напряжения от входного, на котором плавное изменение входного сигнала приводит к плавному изменению выходного (рис. 2, график б). Этот участок хорошо выражен у инверторов микросхемы К561ЛН2, у эле-

ментов ИЛИ-НЕ микросхем серии К561, у инверторов генераторной секции счетчика К176ИЕ5, К176ИЕ12, К176ИЕ18. У элементов же большинства микросхем серии К176 и всех микросхем серии КР1561 имеются два дополнительных инвертора, которые делают передаточную характеристику очень разрывной, иногда даже гистерезисной.

Наличие более или менее плавного участка приводит к различиям в работе рассматриваемых генераторов. Проанализируем работу генератора по схеме рис. 1, а с момента, когда на входе инвертора DD1.1 напряжение низкого уровня. В этот момент на выходе инвертора DD1.2 такой же уровень, а на выходе инвертора DD1.3 — напряжение высокого уровня. Конденсатор C1 заряжается через резистор R1 по экспоненте, напряжение на нем при этом стремится в пределе к напряжению питания (рис. 3, а, график а). Как только напряжение на входе инвертора DD1.1 приблизится к пороговому, напряжение на выходе этого инвертора начнет плавно уменьшаться (график б), и когда оно сравняется с порогом переключения инвертора DD1.2, напряжение на его выходе начнет увеличиваться (график в).

Небольшое повышение напряжения на выходе инвертора DD1.2 конденсатор C1 переправит на вход инвертора DD1.1, что вызовет лавинообразный процесс переключения всех инверторов генератора. Высокий уровень на выходе инвертора DD1.3 сменится низким (график г), напряжение на входе инвертора DD1.1 несколько превысит напряжение питания [оно будет ограничено входным защитным диодом инвертора) и начнется аналогичный рассмотренному выше процесс перезарядки конденсатора с плавным уменьшением напряжения на входе инвертора DD1.1.

Если теперь рассмотреть процесс в генераторе по схеме на рис. 1, б с того же момента, можно заметить, что сначала конденсатор C1 заряжается аналогично (рис. 3, б, график а). Отличие начинается с момента, когда напряжение на выходе инвертора DD1.1 начинает уменьшаться (график б). Это приводит к уменьшению напряжения на резисторе R1, а

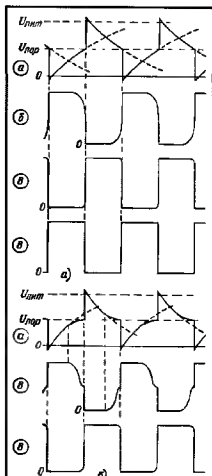


Рис. 3

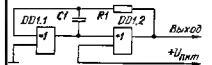


Рис. 4

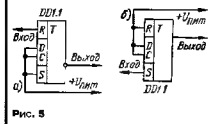


Рис. 5

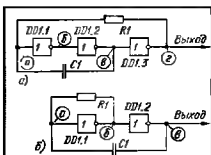


Рис. 1

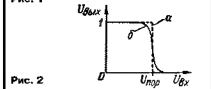


Рис. 2

значит, и скорости перезарядки конденсатора. Отрицательная ОС через резистор R1 стремится уравнять напряжение на входе и выходе инвертора DD1.1, в результате чего скорость изменения напряжения на выходе инвертора DD1.1 уменьшается, и на перепадах импульсов появляется характерная ступень. Если пороги переключения инверторов DD1.1 и DD1.2 равны, то с приближением выходного напряжения инвертора DD1.1 к этому порогу начнется увеличение напряжения на выходе инвертора DD1.2 (график в), в затем лавинообразный процесс

переключения обоих инверторов генератора.

Нетрудно видеть, что при тех же параметрах времязадающей RC-цепи период колебаний у генератора по схеме на рис. 1,6 будет несколько больше, чем у генератора по рис. 1,а, а стабильность периода — хуже, так как напряжение на входе инвертора DD1.1 перед началом лавинообразного процесса меняется более плавно, и небольшие изменения порогового напряжения одного инвертора относительно другого приведут к заметному изменению периода работы генератора. Более того, при значительном отклонении порогов переключения инверторов (а в микросхемах КМОП порог переключения может быть в пределах от 1/3 до 2/3 напряжения питания) генератор может вообще не заработать — напряжение на выходе первого инвертора из-за отрицательной ОС через резистор R1 останется равным его порогу переключения, при этом оно будет находиться вне зоны переключения второго инвертора, контур положительной ОС через конденсатор C1 останется разомкнутым и инвертор DD1.2 не переключится.

Поэтому в генераторах по схеме на рис. 1,6 следует всегда использовать инверторы одной микросхемы. Для генератора по схеме на рис. 1,а разброс порогов переключения инверторов не играет никакой роли и инверторы могут быть из разных микросхем.

Поскольку процесс переключения инверторов во втором генераторе длится большее время, ток, потребляемый этим генератором от источника питания, больше.

Из сказанного следует важный практический вывод — выходной сигнал нежелательно снимать с выхода того инвертора, к входу которого подключены времязадающие конденсатор и резистор. Фронты импульсов на этом выходе затянутся, а во втором генераторе, кроме того, на перепадах импульсов есть ступень, что может привести к необдуманному срыванию элементов, подключенных к этому выходу, из-за разброса порогов переключения микросхем. К тому же для триггеров и счетчиков технические условия ограничивают сверху длительность фронта импульсов, подаваемых на счетный вход.

Это относится к генераторам с одновыбратором, собранным и по другим схемам.

Следует отметить, что из-за емкостной нагрузки несколько затягиваются фронт и спад импульсов также на выходе тек инверторов, к которым подключены времязадающие конденсаторы. Поэтому выходные импульсы генератора по схеме на рис. 1,а лучше снимать с выхода инвертора DD1.3. В любом генераторе или одновыбраторе устранить такие затягивания можно включением последовательно с конденсатором C1 (или непосредственно во входную цепь инвертора DD1.1) резистора сопротивлением 5...10 кОм.

В генераторах на трех инверторах первые два из них можно заменить повторителем сигнала, причем для этого удобно использовать микросхему K561ЛП2, поскольку ее элементы ИСКЛЮЧАЮЩЕЕ ИЛИ могут работать и повторителем при соединении одного из входов с общим проводом, и инвертором при подаче на один из входов напряжения питания

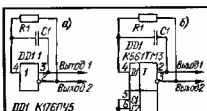


Рис. 6

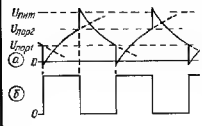


Рис. 7

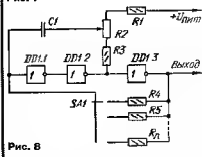


Рис. 8

(рис. 4). Повторителями сигнала могут также работать инвертирующие логические элементы микросхем K176ЛП2, K561ЛС2, K176ЛС1, K561ЛП3, K561ИК1.

Иногда удобно использовать как повторитель свободный триггер микросхем K176ТМ2 или K561ТМ2. На рис. 5 показаны два варианта построения повторителя сигнала на триггере. Применять в генераторах элементы микросхем K561ПЧ4 и K561ЛН2 (особенно в функции первого инвертора) не следует, т. к. это ведет к существенному увеличению тока, потребляемого от источника питания.

Для построения генераторов очень удобны элементы микросхем, имеющие прямой и инверсный выходы и непосредственно (без специально формируемых входов) прохождение сигнала со входа на эти выходы. В качестве примера на рис. 6,а показана схема генератора на элементе микросхемы K176ПЧ5, а на рис. 6,б — на одном триггере микросхемы K561ТМ3. Таким образом можно собрать четыре генератора на одной микросхеме.

В генераторах по схеме на рис. 6,а выходы 15 и 16 микросхем K176ПЧ5 нужно объединить и подать на них напряжение 5...10 В (выс. 8-й обш.). Во втором генераторе (рис. 6,б) выходы C1 и C2 могут быть использованы для блокирования работы всех четырех генераторов подачи на один из этих выходов низкого уровня, на другой — высокого.

Роль первого инвертора в генераторах по схеме на рис. 1,а и б может исполнять и триггер Шмитта микросхемы K561ТЛ1. В этом случае недостаток генератора по схеме на рис. 1,б исчезнут

как только напряжение на входе инвертора DD1.1 достигнет соответствующего порога переключения триггера, он скачкообразно переключится, что приведет к четкому переключению последующих инверторов. Эти процессы иллюстрирует рис. 7.

В статье [1] представлены схемы генераторов, обеспечивающих различные варианты управления их работой, регулирования частоты и длительности импульсов. На рис. 8 показана схема еще одного генератора, подходящего в тех случаях, когда необходимо получить сетку значений частоты, переключаемых при помощи набора резисторов, и подстройку сетки при сохранении отношения значений частоты (частотного строя). Переключателем SA1 выбирается любой из задающих резисторов R4—R_n, а подстраивает частоту переменным резистором R2. При этом подстройка будет приводить к одинаковому отношению измененного любого из значений частоты, выбранного переключателем.

При смешении движка резистора R2 вверх по схеме уменьшаются перепады напряжения, передаваемые через конденсатор C1 на вход инвертора DD1.1, скорость перезарядки конденсатора при этом не меняется, поэтому частота импульсов увеличивается. Резистор R1 необходим для установившегося предела регулирования частоты резистором R2.

Для эффективного регулирования частоты необходимо исключить возникающая на входных диодах инвертора DD1.1 ограничение перепадов напряжения, передаваемых через конденсатор C1. Для устранения этого ограничения, обычного для генераторов, выполненных по традиционным схемам, служит резистор R3. Его сопротивление должно быть равно или несколько больше суммы значений сопротивлений резисторов R1 и R2, чтобы по крайней мере в 2 раза уменьшить паразит. При меньшем сопротивлении (или отсутствии) резистора R3 практически не происходит изменения частоты, если сопротивление нижней по схеме части резистора R2 в сумме с R3 меньше сопротивления верхней части R2 в сумме с R1.

Для сохранения строя при регулировании частоты необходимо, чтобы сопротивление резистора R3 было в несколько десятков раз меньше, чем резисторы R4—R_n. Для облегчения выполнения этого условия между выходом элемента DD1.2 и резистором R3 можно установить эмиттерный повторитель на транзисторе p-n-p. Верхний вывод резистора R1 можно подключить и к общему проводу, но выполнение указанного условия будет затруднено, поскольку нагружая способность микросхем КМОП, также, как и TTL, в единичном состоянии низкий, чем в нулевой. Ориентировочные значения сопротивлений резисторов. $R1 + R2 + R3 \geq 5 \text{ кОм}$, $R1 \geq 0,01 R2$; $(R4, R5, \dots, R_n) \geq 230 (R1 + R2)$. При наклоне эмиттерного повторителя номиналы всех резисторов можно уменьшить в 10 раз.

Этот генератор удобно использовать для модуляции частоты импульсов, если на правый по схеме вывод резистора R1 подать управляющее переменное напря-

(Окончание следует)

БЛОК ЭКОНОМАЙЗЕРА КАРБЮРАТОРОВ “СОЛЕКС” И “ОЗОН”

В. БАННИКОВ, г. Москва

В настоящее время все большее число моделей автомобилей оснащают системой топливного экономайзера. Как бы ни был надежен электронный блок этой системы, он все-таки, случается, выходит из строя, а вот его ремонт или замена пока остаются весьма проблематичными.

Вместе с тем радиолюбителю средней квалификации вполне по силам самостоятельно изготовить такой блок — утверждает автор этой статьи Валерий Васильевич Банников. В течение многих лет он занимается совершенствованием различных типов блока экономайзера, разработал несколько вариантов самодельных блоков, более простых, чем промышленные, но сохраняющих все функциональные возможности, а зачастую и имеющих более высокие технические характеристики.

Некоторые из блоков В. Банникова были описаны в журнале. Сегодня мы знакомим читателей с вариантами электронного блока экономайзера для популярных карбюраторов “Солекс” и “Озон”.

Дублированный в [1] блок управления экономайзером предназначен для замены стандартного блока 50.3761, применяемого на автомобилях “Таврия” 3А3-1102, 3А3-1106, “Москвич” АЗЛК-21412, “Жигули” ВАЗ-2108, ВАЗ-2109 и других моделях машин серии ВАЗ с карбюратором “Солекс”. Этот блок по сравнению с заменяемым обеспечивает лучшую топливную экономичность, поскольку возобновляет подачу топлива при меньшей частоте вращения коленчатого вала. Однако блок довольно сложен, что препятствует его повторению.

В [2] описан (схема — на рис. 2) очень простой блок управления — аналог блока 50.3761, — собранный всего на одной микросхеме. Но он не может снизить потребление топлива в такой же мере, как блок [1].

По этим причинам я предпринял попытку разработать на основе блока [2] несколько усложненный его вариант, способный болва простыми средствами реализовать все преимущества блока [1]. Схема этого варианта изображена на рис. 1. Блок собран на трех микросхемах, в нем на использованы триггеры, которые на автомобилях могут давать сбои из-за высокого уровня помех.

Входная RCD-цепь (резисторы R1, R3, конденсаторы C1, C2, стабилитрон VD1, диод VD2) предназначена для подавления рода устройств. Она формирует из импульсов сложной формы, возникающих на катушке зажигания, однократные положительные импульсы. Период T (в миллисекундах) их повторения, как известно, связан с частотой вращения n (в мин⁻¹) коленчатого вала двигателя зависимостью $T=30\ 000/n$. Поэтому верхнему по-

рогу включения (1900 мин⁻¹) будет соответствовать период 15,8 мс, а нижнему (1245 мин⁻¹) — 24,1 мс.

На логических элементах DD1.1, DD1.2 и DD1.3, DD1.4 собраны формирователи, настроенные на интервалы времени 15,8 и 24,1 мс соответственно. Форми-

рователи запускаются импульсами с периодом T через дифференцирующие цепи C3R4 и C4R5. Логический элемент DD2.1 включен инвертором. На его выходе низкий уровень напряжения, когда педаль акселератора нахвата, и высокий, когда отпущена. В первом случае формируются ив работам, во втором — они сравнивают период T со значениями 15,8 и 24,1 мс соответственно. Результат этого сравнения снимают с выхода элементов DD2.2 и DD3.1 соответственно.

Так, при нажатой педали акселератора на выходе обоих формирователей высокий уровень напряжения. А при отпущенной педали на выходе элемента DD2.2 (DD3.1) высокий уровень, если $T < 15,8$ мс ($< 24,1$ мс), и низкий, если $T > 15,8$ мс ($> 24,1$ мс). Сигнал с выхода элемента DD3.1 подведен к нижнему по схеме входу элемента DD2.4 через инвертор DD3.3. На верхний вход элемента DD2.4 поступает сигнал с выхода элемента DD3.2, на котором совместно с элементом DD2.3 выполнен еще один формирователь, настроенный на интервал времени 1 с.

Сигнал с выхода элемента DD2.4, усиленный по току, управляет работой электромагнитного клапана. Усилитель тока, собранный на транзисторах VT2, VT3, работает в переключательном режиме. Транзистор VT1 вместе с диодами VD7, VD8 составляет узел, защищающий мощный транзистор VT3 при случайном замыкании выхода блока управления на корпус автомобиля; работа этого узла подробно описана в [2].

При нажатой педали акселератора на выходе элемента DD2.1 присутствует низкий уровень, поэтому на выходе элемента DD3.1 — высокий уровень, а DD3.3 — низкий. Следовательно, на выходе элемента DD2.4 будет высокий уровень, транзисторы VT2, VT3 открыты и привод электромагнитного клапана в карбюратора “Солекс” включен (клапан открыт).

Если же теперь педаль акселератора

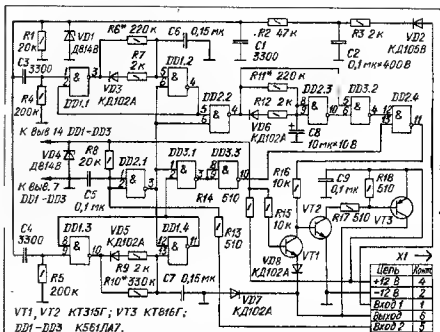


Рис. 1

отпустить, то реакция блока управления на это действие будет зависеть от достигнутой к этому моменту частоты вращения и скорости ее снижения после отпущения педали.

Так, при $n > 1900$ мин⁻¹ и замкнутой трансмиссии машины (т. е. когда n уменьшается, а значит, T увеличивается) порядком будет следующим. Сперва конденсаторы $C6$ и $C7$ не успевают зарядиться (соответственно через резисторы $R6$ и $R10$) полностью. Поэтому на выходе элементов $DD1.1$ и $DD1.3$ действует импульсный сигнал, а на выходе элементов $DD1.2$ и $DD1.4$ пока высокий уровень. Это означает, что на выходе элементов $DD2.2$ и $DD3.1$ низкий уровень, а $DD3.2$ и $DD3.3$ — высокий. Следовательно, на выходе элемента $DD2.4$ присутствует низкий уровень, транзисторы $VT2$, $VT3$ закрыты, и электромагнитный клапан закрыт.

После уменьшения частоты вращения до 1900 мин⁻¹ конденсатор $C7$ из-за увеличения периода T успевает зарядиться настолько, что на выходе элемента $DD1.2$ появляется импульс низкого уровня. В результате действия обратной связи этого выхода с низким входом элемента $DD1.1$ на его выходе вместо импульсного сигнала появляется высокий уровень (конденсатор $C7$ заряжается полностью), а на выходе элемента $DD1.2$ остается низкий уровень.

Значит, на выходе элемента $DD2.2$ возникает высокий уровень, приводящий к срабатыванию формирователя на элементах $DD2.3$, $DD3.2$, и приблизительно на 1 с высокий уровень на выходе элемента $DD2.2$ сменяется низким. Иначе говоря, на выходе элемента $DD2.4$ появляется импульс высокого уровня длительностью 1 с, приводящий к кратковременному открыванию транзисторов $VT2$, $VT3$ и клапана в карбюраторе. По окончании этого импульса транзисторы снова закрываются.

Но при дальнейшем уменьшении частоты вращения до уровня 1245 мин⁻¹ период T увеличивается уже настолько, что вследствие зарядки конденсатора $C6$ на выходе элементов $DD1.3$ и $DD1.4$ появляются высокий уровень (конденсатор $C6$ заряжается полностью) и низкий соответственно. В результате действия обратной связи, как и в предыдущем случае, на выходе элемента $DD2.4$ будет постоянный высокий уровень, а транзисторы $VT2$, $VT3$ будут открыты (клапан открыт).

Когда же после отпущения педали акселератора частота вращения более 1900 мин⁻¹, но уменьшается быстро (трансмиссия разомкнута), то время, за которое она достигнет 1245 мин⁻¹, будет меньше 1 с. Поэтому срабатывание формирователя на элементах $DD1.3$, $DD1.4$ происходит до окончания этой выдержки. Следовательно, клапан в карбюраторе "Солекс" в этой неблагоприятной ситуации двигателя может остановиться — будет включен при 1900 мин⁻¹ (а не при 1245 мин⁻¹).

Если же в момент отпущения педали акселератора частота вращения более 1245, но менее 1900 мин⁻¹, то срабатывать будет лишь формирователь на элементах $DD1.3$, $DD1.4$. То есть включение клапана будет происходить при 1245 мин⁻¹.

Реакция блока управления на положение педали акселератора и частоту вращения коленчатого вала двигателя представлена в таблице. Более подробно познакомиться с принципом работы подоб-

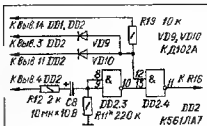


Рис. 2

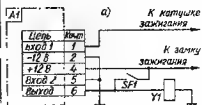


Рис. 3

ного (но более сложного) блока управления и его регулировкой можно в [1]. Оба блока защищены авторским свидетельством [3].

Заметим, что число микросхем в этом блоке можно уменьшить до двух. Элементы $DD2.3$, $DD2.4$, конденсатор $C8$ и резисторы $R11$, $R12$ должны быть в этом случае соединены несколько иначе (рис. 2). Взамен микросхемы $DD3$ добавлены два диода — $VD9$, $VD10$ — и резистор $R19$.

Работает этот вариант блока почти так же. Разница лишь в том, что вместо двух логических элементов $DD3.1$, $DD3.3$ здесь использовано устройство совпадения на диодах $VD9$, $VD10$ и резисторе $R19$. К

тому же в формирователе односекундной выдержки взамен двух элементов ($DD2.3$, $DD3.2$) с интегрирующей цепью использован один элемент ($DD2.3$) с дифференцирующей цепью. Диод $VD5$ не нужен, поэтому изъят.

Сейчас на автомобилях в составе экономайзера применяют не только блок 503.3761 (или почти такой же 5003.3761), но и два его модификации — 501.3761 и 502.3761, — о которых в публикациях [1, 2, 4] рассказано не было.

Блок 501.3761 (и его разновидность 503.3761) предназначен для работы с карбюраторами "Солекс" на некоторых моделях машин ВАЗ. Отличие его от блока 503.3761 состоит в том, что он реализует порог отключения 1900 мин⁻¹, а порог включения равен 1700 мин⁻¹. Поскольку в блоке по схеме из рис. 1 порог отключения на используется, при установке его вместо блока 501.3761 резистор $R6$ (определяющий "верхний" порог включения) должен иметь сопротивление примерно 240 кОм, а сопротивление резистора $R11$ (задающего выдержку времени 1 с) следует, наоборот, немного уменьшить, поскольку уменьшение частоты вращения от 1700 до 1245 мин⁻¹ происходит быстрее (чем от 1900 мин⁻¹).

Что же касается блока 502.3761 (или 5023.3761), то он предназначен для работы на автомобиле АЗЛК-21412 с карбюратором "Озон". Дело в том, что в последнее время большинство "Москвичей" комплектуют "Озонном". И если на машинах АЗЛК-2141 (с "вазеским" двигателем) устанавливают блок управления 25.3761, подключенный по традиционной для "Озона" схеме (рис. 1, а в [4]), а на АЗЛК-21412 (с "уфимским" двигателем) с "Солексом" — по присущей этому карбюратору схеме (рис. 1, б в [4]), то на той же машине АЗЛК-21412, но уже с "Озонном", схема подключения блока А1 экономайзера (рис. 3, в) лишь напоминает ту и другую. Здесь вывод 5 блока А1 (502.3761) не использован и постоянно соединен с корпусом машины. Установленный на карбюраторе "Озон" микропереключатель $SF1$ напрямую коммутирует обмотку $Y1$ электромагнитного клапана.

В блоке 502.3761 порог отключения задан равным 1500 мин⁻¹, а включения — 1245 мин⁻¹, то есть для "Озона" вопрос о

Уровень сигнала на выходе элемента	Положение педали акселератора				
	нажата		отпущена		
	при частоте вращения, мин ⁻¹				
	любой	менее 1245	более 1245, но менее 1900	1900	более 1900
DD2.1	0	1	1	1	1
DD1.1	И	1	1	1	И
DD1.2	1	0	0	0	1
DD2.2	1	1	1	1	0
DD2.3	0	0	0	1	1
DD3.2	1	1	1	0	1
DD1.3	И	1	И	И	И
DD1.4	1	0	1	1	1
DD2.1	1	1	0	0	0
DD2.3	0	0	1	1	1
DD2.4	1	1	0	1	0

Примечание. И — импульсный сигнал при работающем двигателе; при неработающем двигателе (но включенном зажигании) здесь уровень 1.

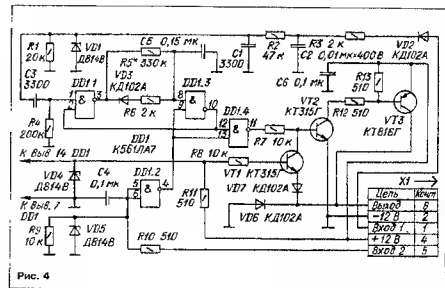


Рис. 4

снижении порога включения из стоит [1]. Но у способа его подключения и у самого "экономского" блока управления есть ряд недостатков.

Так, непосредственная коммутация обмотки клапана У1 контактами микропереключателя SA1 довольно быстро их разрушает. Кроме того, наличие порога отключения и позволяет использовать резерв экономии топлива. Наконец, в этой системе не исключен автоколебательный режим работы двигателя, при котором во время движения на малой скорости происходят неожиданные для водителя рыбки (см. [4]).

Этих недостатков не будет, если взамен блока 502.3761 использовать с "Озон" самодельный блок А1 по схеме на рис. 4, а подключить его по схеме на рис. 3,6. В этом варианте микропереключатель подключен к выводу 5 блока.

Блок управления А1 выполнен на базе блока, описанного в [2]; он собран всего на одной микросхеме, причем без применения триггеров. При нажатой педали акселератора контакты микропереключателя замкнуты, поэтому на выходе элемента DD1.2 (рис. 4) низкий уровень. Значит, на выходе элемента DD1.4 — высокий уровень, транзисторы VT2, VT3 открыты, электромагнитный клапан также открыт. На выходе элемента DD1.3 — высокий уровень, а на выходе элемента DD1.1 действует импульсный сигнал.

Отпускание педали акселератора размыкает контакты микропереключателя и на выходе элемента DD1.2 низкий уровень сменяется высоким. Если частота вращения коленчатого вала $\omega > 1245 \text{ мин}^{-1}$ (Т24,1 с), то на выходе элемента DD1.3 остается высокий уровень. Значит, на выходе элемента DD1.4 появляется низкий уровень, транзисторы VT2, VT3 и клапан закрываются. После уменьшения частоты вращения до 1245 мин^{-1} на выходе элемента DD1.3 появляется низкий уровень, а DD1.4 — высокий. При этом клапан снова откроется. В целом блок отвечает ватроскому свидетельству [5].

Точно так же можно доработать и блоки с четырехконтактным разъемом, настроив резистором R4 порог включения в соответствии с табл. 1 в [3]. Укажем лишь, что параметры блока 2523.3761

(для машин Ижевского автозавода) те же, что и у блока 252.3761. Следует иметь в виду, что вместо выводов 1, 2, 4 и 6 разъема X1 по рис. 4 в этих блоках следует использовать соответствующие выводы 4, 3, 2 и 1. Провод от микропереключателя SF1 придется ввести в блок отдельно, минуя разъем.

После доработки блока не только пестрится экономия горючего, но и увеличивается срок службы микропереключателя. Кроме этого, такой типичный дефект механизма карбюратора "Озон", как западание толкателя его микропереключателя [3], теперь не приведет к появлению рыбок машины вследствие автоколебаний. В заключение подчеркнем, что включить так (по рис. 3,6) стандартный блок 502.3761 нельзя — он выйдет из строя.

ЛИТЕРАТУРА

1. Банников В. Усовершенствованный блок управления экономайзером — Радио, 1991, № 6, с. 28—31.
2. Банников В. Электронный экономайзер — Радио, 1992, № 6, с. 18—21.
3. Рыков В. Н., Банников В. В., Синельников А. К. Авт. свид. СССР № 1005790. — Бюл. "Изобретения, открытия". 1983, № 11.
4. Банников В. Замыка блок управления экономайзером. — Радио, 1989, № 4, с. 30—33.
5. Нафедов Я. Н., Ефремов С. А., Банников В. В. Авт. свид. СССР № 1139431. Бюл. "Изобретения, открытия". 1995, № 1.

Примечание редакции. Для того, чтобы существенно уменьшить влияние импульсных помех на работу электронного блока экономайзера, необходимо цепь питания каждой микросхемы шунтировать керамическим конденсатором емкостью 0,047...0,068 мкФ, монтируемым на плате вблизи микросхем (лучше всего конденсатор припаять непосредственно к выводам питания микросхем).

Кроме этого, для той же цели стабилизатор цепи питания микросхем в каждом блоке (VD4 на схеме рис. 1, например) следует дублировать двумя конденсаторами — оксидным емкостью 20 мкФ на напряжение 25 В и керамическим емкостью 0,047 мкФ.

Указанные меры целесообразно применять во всех устройствах, особенно цифровых, предназначенных для работы на автомобиле.

В последние годы требования к предвсудительным усилителям сильно изменились из-за постоянно повышающегося качества носителей информации и аппаратуры звуковоспроизведения — как цифровой, так и аналоговой. Современное качество звуковоспроизведения в известной мере лишним многие функциональные узлы. Зачем, к примеру, вход звукоусилителя грампластин и рокет-фильтр, если не используются диски грампластин? Для чего шумопоглощающие фильтры, если фонограммы имеют небольшие шумов? И от переключателя моно-стерео можно уже давно отказаться. Эквалайзеры и регуляторы тембра с различными характеристиками были ранее темой для обсуждения и экспериментов, теперь они вряд ли необходимы.

Что же теперь остается обязательным? Только основные функциональные узлы: селектор входов, регулятор громкости и баланса, возможно, также переключатель частотной коррекции для отдельных видов фонограмм (речь, музыка).

На рис. 1 приведена принципиальная схема такого упрощенного предвсудителя, который выполнен на интегральных микросхемах и поэтому прост по конструкции.

Технические характеристики предвсудителя

Чувствительность по каждому входу, мВ	250
Входное сопротивление, кОм	47
Выходное напряжение, номинальное, В	1
Выходное сопротивление, Ом	100
Разделение каналов, дБ, на частоте 1 кГц	82
Гармонические искажения, %	0,0003

На предвсудитель входные сигналы поступают через разъемы XS1—XS12. Резисторы R1—R12 служат нагрузками для соответствующих выходов источников сигналов. С этих же цепей переключателем SA1 может быть выбран сигнал для записи на магнитофон и подан на разъемы XS13, XS14 через резисторы R13, R14. Переключатель SA2 используется для выбора источника сигнала звуковоспроизведения. В таком варианте коммутации сигналов можно независимо записывать и воспроизводить различные фонограммы, а также проводить контроль качества записи.

Входные сигналы с селектора SA2 поступают к усилительным каскадам на резисторах R15, R16, которые образуют совместно с входными резисторами каналов стандартное значение входного сопротивления 47 кОм. Интегральные усилители DA1, DA2 используются как буферы-повторители. Для обеспечения устойчивости операционного усилителя (OU) NE5534 в схеме повторителя между выводами 5 и 8 необходимо включить корректирующие конденсаторы C1, C2.

После входного буфера следуют два двойных переменных резистора, которыми устанавливаются баланс (RP1) и громкость (RP2). Вторая пара ОУ (DA3, DA4) производит необходимое усиление по напряжению, определяемое соотношением резисторов R22, R23 (R25, R26). Коэффициент усиления K 5,5 при оптимальном для повышения уровня входного сигнала с 250 мВ до 1 В и компенсации потерь в регуляторе баланса. После резисторов R27, R28 и аддитивных в каналах разделительных конденсаторов C3, C4 усиленные сигналы по-

МИНИ-ПРЕДУСИЛИТЕЛЬ

Предлагаемый здесь предусилитель отличается двумя особенностями: в нем отсутствуют "излишества", присущие аналогичным устройствам 5—10-летней давности. Кроме того, вследствие соответствующего выбора высококлассных компонентов получены отличные параметры, обеспечивающие высокое качество сигнала.

ступают на выходные разъемы XS15, XS16 предусилителя и на контакты реле K1. Электромагнитное реле K1 выполняет функцию задержки подачи сигнала на выходные устройства в первые секунды после включения блока питания (рис.2), чтобы переходные процессы включения не прослушивались в громкоговорятелях. Управление реле обеспечивается про-

стым усилителем тока с составным транзистором VT1. После включения напряжения питания конденсатор C5 в течение нескольких секунд заряжается через резистор R29 и некторов время задерживает включение реле и сигнала. Дiod VD2 обеспечивает быструю разрядку конденсатора и выключение реле после отключения питания. Этот узел питается не

от основного выпрямителя VD1—VD4, C16—C19, а от отдельного (VD4, V05, R31, C20). Напряжения в точках E, F падают после выключения питания быстрее, чем на основном выпрямителе, и некоторое время стабилизаторы DA5, DA6 сохраняют стабильные напряжения питания предусилителя, чем достигается устранение щелчка выключения.

Выбору элементов для конструкции необходимо уделять особое внимание. Здесь возможно, как для любого устройства в звукотехнике, параметрами компонентов существенно повлиять на качество звука. Отбор можно начать с входных и выходных разъемов, которые имеют разнообразие вариантов исполнения, от хромированных неизолированных до позолоченных изолированных. Галетные переключатели тоже могут влиять на качество. Вместо обычного варианта

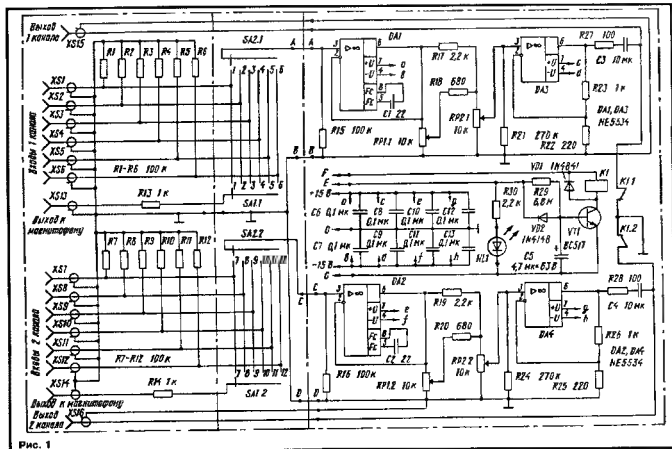


Рис. 1

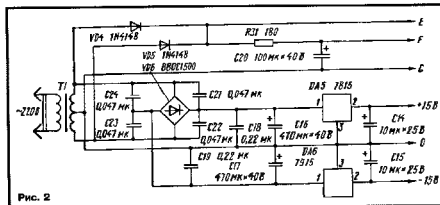


Рис. 2

здесь предпочтительно применять переключатели с позолоченными или, что еще лучше, с покрытыми родием контактами. Тропический вариант исполнения не обязателен.

На качество звука существенно влияют и переменные резисторы. В конструкции могут быть установлены как обычные, так и высококачественные, с композиционным проводящим слоем. Из постоянных резисторов следует использовать металлопленочные типы, отличающиеся низким температурным коэффициентом и малыми собственными шумами. В качестве конденсаторов C3, C4 рекомендуется использовать МКТ-конденсаторы, но возможно применение менее дорогих и менее качественных МКР-конденсаторов.

Если выбраны пассивные компоненты, обеспечивающие высокое качество, им должны соответствовать и активные компоненты — операционные усилители. Установленные в конструкции ОУ NE5534 относятся к недорогому быстродействию ОУ с хорошими шумовыми параметрами для звукотехники. В качестве замены им можно предложить другие ОУ, например, SSM2131, ОРА637 для пассивных ДА1, ДА2, а для усилителей ДА3, ДА4 лучшим является тот же ОРА637, несколько уступающий по параметрам менее дорогой СР37, L11028. Для ОУ в качестве пассивных важных параметров являются низкий уровень шума и высокий входной импеданс, в каскаде усиления важным параметром является произведение коэффициента усиления и полосы пропускания, а также низкое выходное сопротивление. В предварительных усилителях параметры быстродействия на являются определяющими.

ОУ, не стабильные при единичном усилии в режиме повторителя, следует корректировать внешними элементами частотной компенсации. Они различны для разных ОУ, поэтому необходимо руководствоваться соответствующей информацией для конкретных микросхем. Следует учитывать, что частотная компенсация оказывает влияние на скорость нарастания, ухудшая ее. Для стабильных в режиме повторителя ОУ конденсаторы С1, С2 надо из схемы исключить.

Для технологичности конструкции монтажная плата предусилителя разделена на четыре части. Штрих-пунктирные линии на схеме показывают распределение элементов устройства на соответствующих платах.

Входные резисторы и резисторы во входных цепях R1—R12 монтируют на первой плате, резисторы R13, R14 конструктивно соединяют выходные резисторы со второй платой, на которой монтируют галетные переключатели, монтажные стойки. Кроме того, проводом длиной 25 мм от общей шины с обратной стороны платы присоединяют корпус устройств. Обе эти платы располагают параллельно задней стенке. Смонтированные платы резисторов и переключателей объединяют вместе. Они галетных переключателей удлиняют до передней панели. Монтажные соединения платы переключателей с платой усилителей, а также линейных выходов плат с резисторами проводят экранированным проводом.

Монтаж других плат не представляет трудности, следует лишь обратить внимание на монтаж общей шины, объединяемой на плате питания, и расположение блокировочных конденсаторов вблизи микросхем.

По материалам журнала *Electron*, 1994, № 3, с. 20. 24 Mini-proamp

Примечание редактору. В конструкции предусилителя можно использовать разнообразные варианты резисторов RСА (иже «роллтон»), малогабаритные переключатели ППМ, операционные усилители типов К140УД25, К140УД26, являющиеся аналогами зарубежных, встречающихся на нашем рынке СР77 и СР37, а также К150УД5. Интервалы стабилизации серий КР142 и КР1057. Конденсаторы С3, С4 лучше использовать пленочные полиэфирпленочные типов К73-11 К73-16, К73-20 на напряжение 63 В. Переменные резисторы СР3-33, постоянные резисторы мощностью 0,125 или 0,25 Вт прецизионных типов, имеющие меньшие шумовые коэффициенты, С2-14, С2-35, а также резисторы общего назначения МЛТ, ОМЛТ, ГС, С2-3, С2-33Н. Трансформатор питания мощностью не менее 3,3 ВА должен обеспечивать напряжение на вторичных обмотках по 15 В.



Чтобы научиться играть на фортепиано, теперь не надо записываться в музыкальную школу или приглашать учителя музыки на дом: если есть персональный компьютер, достаточно приобрести за 500 дол. «Персональную систему для обучения игре на фортепиано», разработанную фирмой «Advanced Gravis». Система состоит из четырехконтровой клавиатуры с переключением стандарта MIDI (ее подключают к компьютеру вместо его клавиатур), платы синтезатора, двух акустических систем и программного обеспечения, работающего в среде «Windows». Всего 27 уроков — и вы пианист.

Исследователи университета Беркли (США) разработали светодиод, способный излучать свет разного цвета. Новый светодиод получил путем соединения нанокристаллов салицида кадмия с обладающими полупроводниковыми свойствами полимером в перфторэтиленовом. Подбирая размеры нанокристаллов (они зависят от продолжительности процесса их образования), им удалось добиться желтого, оранжевого, красного свечения, а изменяя подводимое к светодиоду напряжение, — и зеленого. По мнению ученых, теоретически возможно получить и другие цвета.

Как известно, первые интегральные микросхемы запоминающих устройств (ИС ЗУ) фирмы «Intel» в начале 70-х гг. насчитывали на более 1000 ячеек памяти и имели топологический размер 6,5 мкм. В современных ИС динамической ЗУ с произвольной выборкой емкость памяти составляет 16 Мбит при топологическом размере 0,6 мкм. Ожидается, что к 1996 г. эта показателя достигнут соответственно 64 Мбит и 0,25 мкм, а в начале двадцатого века — 1 Гбит и 0,18 мкм, что, по мнению специалистов названной фирмы, станет пределом рентабельности производства этих ИС: технологические линии с рентгеновской или электронно-лучевой литографией могут оказаться слишком дорогостоящими, даже если будут строиться складками несколькими фирмами.

Одно из перспективных направлений дальнейшей микроминиатюризации электронной техники — освоение производства так называемых квантовых ИС, которые, как утверждают их приверженцы, будут дешевле, чем традиционные. Беря за основу ИС, разработанные в Кембриджском исследовательском центре (Великобритания). Новая технология позволит изготавливать ИС с размером составляющих ее

компонентов не более 10 атомов. Электрон в таких компонентах ведет себя одновременно и как элементарная частица, и как волна. По расчетам, квантовая ИС размерами с обычный янтарь может содержать до 1 трлн ячеек памяти и работать с тактовой частотой 1 ТГц (1 ТГц = 10^{12} Гц), потребляя при этом ничтожно малую энергию от источника питания. Из-за сильной зависимости квантовых эффектов от ряда факторов такие ИС требуют охлаждения до температуры жидкого гелия (около -270°С).

Этого недостатка не будет у квантовых ИС, разрабатываемых японской фирмой «Mipron Elektrik» на базе так называемого поверхностного туннельного транзистора. Использование в нем более устойчивого эффекта, возникающего при нормальной температуре, позволяет специалистам надеяться, что работающие квантовые ИС будут созданы уже в ближайшие два-три года.

Нед созданием квантовых ИС работают также японская фирма «Hitachi», американские «Texas Instrument», IBM, «American Telephone and Telegraph» и другие. По прогнозам квантовые ИС найдут применение (сначала — в специальной электронной технике) не ранее 2005 г. Революционизирующие изменения в информационных технологиях они произведут приблизительно в 2015 г.

HDCD — название нового формата CD-ROM высокой плотности записи, разрабатываемого фирмами «Philips» (Голландия) и «Sony» (Япония). Емкость новых оптических компакт-дисков (3,3 Гбайт) — в пять, а скорость передачи (до 5,6 Мбайт/с) — в десять раз больше, чем у используемых в настоящее время. Один новый диск может вместить 135 мин видеозаписи по стандарту MPEG-2.

Лазерные считывающие устройства формата HDCD позволят воспроизводить и существующие диски CD-ROM, использование же новых дисков на обычных лазерных проигрывателях невозможно.

Новый струйный принтер «Deskwriter 540» английской фирмы «Hewlett Packard» способен печатать как в монохромном, так и в многоцветном режимах. Скорость печати в монохромном режиме — до трех страниц в минуту, разрешение — 600х300 точек. Занести монохромную кассету на кассету с цветными красителями можно в любой момент.

Никель-кадмиевые аккумуляторы, широко применяемые в настоящее время для питания носной аппаратуры, в частности портативных персональных компьютеров, имеют два основных недостатка: относительно небольшую электрическую емкость и необходимость полной разрядки перед очередной зарядкой. Этих недостатков нет у новых цинко-воздушных аккумуляторов фирмы АЕВ. Благодаря повышенной емкости батареи таких аккумуляторов напряжением 12 В обеспечивает непрерывную работу компьютера в течение 20 ч, что больше длительности любого авиаперелета. Масса такой батареи — около 2,2 кг.

ОПЕРАЦИОННЫЕ УСИЛИТЕЛИ СЕРИИ КР544

Типовые зависимости частоты единичного усиления f_u и скорости нарастания U_0 выходного напряжения от напряжения питания показаны на рис. 11, а на рис. 12 — типовое сложение граничного, выходного синфазного напряжения при различных значениях напряжения питания U_0 .

Комплекс параметров ОУ серии КР544 обеспечивает возможность широкого

применения их как универсальных операционных усилителей в различных функциональных узлах радиоэлектронной аппаратуры. При этом они имеют ряд преимуществ перед многими ОУ других серий. Эти преимущества и по отдельным параметрам, и по их совокупности наиболее проявляются при построении предварительных и буферных усилителей (в том числе повторителей напряжения), особенно широкополосных и с очень высоким входным сопротивлением, усилителей слабых сигналов от высокоомных источников (например, фотоприемников, пьезоэлектрических и емкостных датчиков и т. д.), усилителей биосигналов, логарифмических усилителей, усилителей ЗЧ, активных фильтров и генераторов низкочастотного и инфранизкочастотного диапазона; интеграторов с большим временем интегрирования; устройств выборки, хранения аналоговых сигналов, компараторов напряжения слабых сигналов.

ОУ КР544УД3А и КР544УД1В с пониженными напряжениями смещения нуля (2 и 5 мВ), температурным дрейфом и входным током (0,05 нА) дают возможность, во-первых, повысить точность и другие параметры функциональных узлов, во-вторых, в ряде случаев обойтись без элементов балансирования. Эти ОУ можно рекомендовать для применения в качестве компараторов напряжения в АЦП, ЦАП и других узлах.

ОУ группы КР544УД5 (микромощные) могут быть использованы, в частности, в экономичной аппаратуре (в счетчиках электроэнергии и других счетчиках; в бытовых электронных приборах с автономным питанием, а КР544УД5А — также и при питании от источников с пониженным напряжением).

ОУ КР544УД1А, КР544УД1В, КР544УД3А, КР544УД3Б, КР544УД4, КР544УД5А, КР544УД5Б с низким уровнем ИЧ шумов и КР544УД2А, КР544УД2Г с повышенными

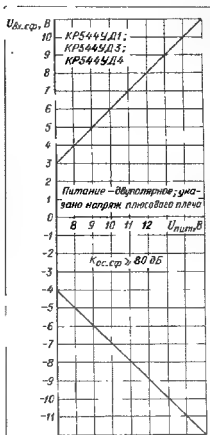


Рис. 12

прежания и широкополосностью в сочетании с малым входным током и большим входным сопротивлением дают возможность упростить ряд узлов бытовой аппаратуры (звукозаписывающей, звуковоспроизводящей и другой), уменьшить нелинейные искажения усилителей ЗЧ.

Материал подготовил
В. ГОЛОВИНОВ,
А. РОГАЛЕВ

г. Новосибирск

Рис. 9

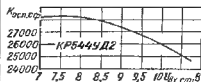


Рис. 10

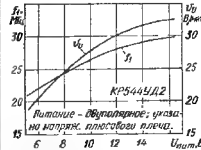


Рис. 11

Окончание. Начало см. в "Радио" № 5 и 6

АЛЮМИНИЕВЫЕ ОКСИДНО-ПОЛУПРОВОДНИКОВЫЕ КОНДЕНСАТОРЫ

Одно из актуальных направлений развития дискретных компонентов электронной техники — создание технических решений, находящихся на стыке традиционных технологий, когда новое изделие сочетает в себе преимущества исходных систем и, по существу, свободно от недостатков каждой из них. Примером сказанному выше может служить разработка на научно-исследовательском институте "ТИРИКОНД" серии окуненных в алюминевых оксидно-полупроводниковых конденсаторов К53-59.

В конструкции новых изделий реализована конденсаторная система МОП с полупроводниковым катодом, традиционным для класса конденсаторов с объемно-пористыми анодами, созданная на основе травленной алюминиевой фольги, присущей алюминевым конденсаторам с жидким или гелеобразным электролитом. Таким образом, занимая промежуточное положение между жидкостными и твердотельными со спеченными объемно-пористыми анодами, новые конденсаторы объединяют в себе стабильность

свойств оксидного диэлектрика и относительно большую емкость первых (из-за использования анодов из травленной фольги) с малым дрейфом электрических параметров и высокой надежностью вторых (благодаря твердому электролиту).

Вместе с тем новые алюминевые оксидно-полупроводниковые конденсаторы, с травленными анодами не имеют таких недостатков, присущих жидкостным конденсаторам, как высыхание электролита и его утечка через узлы уплотнения, электрохимическая и химическая коррозия анода и корпуса, расформовка после длительного хранения. Новое в конденсаторах свободны и от таких негативных свойств их танталовых и ниобиевых прототипов, как зависимость эксплуатационной надежности от характера электрической нагрузки и импеданса цепи подключения к источнику питания или разрядного контура, необходимость огра-

ничения тока при работе в низковольтных цепях, вероятность катастрофического отказа аппаратуры при пробое оксидной изоляции.

Конденсаторным системам МОП, сформированным на травленной алюминиевой фольге, характерен и ряд новых важных достоинств. Это, во-первых, повышенная устойчивость к воздействию напряжения обратной полярности (до 30 % от номинального значения). Во-вторых, возможность работы в неполярном (знакопеременном) режиме, например, при подаче переменного синусоидального напряжения частотой 50 Гц с размахом (двойной амплитудой), достигающей 80 % номинального напряжения, без подачи поляризующего напряжения. В-третьих, повышенная термостойкость — до 175...200°C.

Указанные преимущества оксидно-полупроводниковых вольфрамидных конденсаторов с травленными анодами в совокупности с доступностью и дешевизной алюминия (по сравнению с танталом и ниобием) обеспечивают конкурентоспособность этим изделиям как в бытовой электронной технике, так и в аппаратуре промышленного и специального назначения.

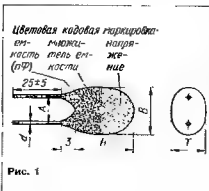


Рис. 1

Внешний вид конденсатора K53-59 представлен на рис. 1. Конструктивно конденсатор выполнен в виде защищенной конструкции, имеющей форму капли с двумя односторонними проводящими выводами диаметром 0,5 или 0,6 мм (в зависимости от габаритов). Для облегчения лапки выводы гальванически покрыты слоем сплава олово — висмут толщиной 6 мкм.

Для защиты от внешних климатических воздействий и механических нагрузок, возникающих при монтаже и эксплуатации, на собственном конденсатор нанесены последовательно опол гидрофобизант, эпоксидного компаунда и лакокрасочной краски. Выбранные материалы и технологический процесс их нанесения обеспечивают устойчивость конструкции в соответствии с категориями климатического исполнения УХЛ или В, а также удовлетворяют требованиям ГОСТ 20 39,405—84 ("Изделия электронной техники и электротехнические для автоматизированной сборки аппаратуры").

Номинальные емкость и напряжение конденсатора обозначены на его корпусе цветным кодом (рис. 1). Цветовая кодировка конденсаторов (она соответствует стандарту ГОСТ 26192—84 "Конденсаторы постоянной емкости. Коды

цветовые для маркировки") представлена в табл. 1.

Номинальное напряжение, $U_{ном}$, В 4 — 32
Номинальная емкость, $C_{ном}$, мкФ 0,1 — 47
Допускаемое отклонение емкости от номинального значения, % 20; 30
Тангенс угла диэлектрических потерь, не более 0,12
Ток утечки, мкА, не более, при температуре окружающей среды +25°C 0,15 $C_{ном} \cdot U_{ном}$
..... 4,5 $C_{ном} \cdot U_{ном}$ при +85°C
Допускаемое изменение емкости, %, не более, при изменении температуры в рабочем интервале 25
Рабочий частотный интервал, Гц 10...106
Рабочий температурный интервал, °C -60...+125
Минимальная гарантированная наработка, ч 20 000
Срок сохранения, лет 15

Шкала типовых номиналов конденсаторов K53-59 реализована в трех типоразмерах, с фиксированным межвыводным расстоянием 2,5 и 5 мм с целью обеспе-

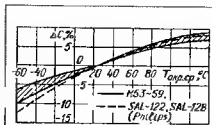


Рис. 3

Таблица 3

Номинальная емкость, мкФ	Типоразмер корпуса конденсатора при номинальном напряжении, В					
	4	6,3	10	16	25	32
0,1	—	—	—	—	—	1
0,15	—	—	—	—	—	1
0,22	—	—	—	—	1	1
0,33	—	—	—	1	1	1
0,47	—	—	1	1	1	2
0,68	—	1	1	1	2	2
1	1	1	1	1	2	3
1,5	1	1	1	1	3	3
2,2	1	1	1	2	3	—
3,3	1	1	2	3	—	—
4,7	1	2	3	3	—	—
6,8	2	2	3	3	—	—
10	2	2	3	—	—	—
15	3	3	3	—	—	—
22	3	3	—	—	—	—
33	3	3	—	—	—	—
47	3	—	—	—	—	—

Цветовой код	Таблица 1	
	Номинальная емкость, мкФ	Номинальное напряжение, В
Черный	10	1
Коричневый	12	10
Красный	15	10 ²
Оранжевый	18	10 ³
Желтый	22	10 ⁴
Зеленый	27	10 ⁵
Голубой	33	10 ⁶
Фиолетовый	38*	10 ⁷
Серый	47	10 ⁸
Белый	56*	10 ⁹
Серебристый	68	—
Золотой	82*	—

Примечание: Помененные знаки * не применять для конденсаторов K53-59

Номер типоразмера корпуса	Таблица 2					
	Размеры конденсаторов, мм					
	Н ₁	В ₁	Т ₁	А	В	Мас-са, г
1	0,5	5	4,5	2,5	0,5	0,3
2	12,5	8	6	8	0,5	0,8
3	12,5	8	8	5	0,5	1

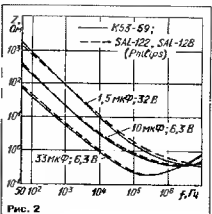


Рис. 2

чения возможности автоматического монтажа на печатные платы (табл. 2). Номенклатура выпускаемых конденсаторов представлена в табл. 3.

На рис. 2 представлены типовые зависимости полного сопротивления конденсаторов разной емкости от частоты, а на рис. 3 — изменение емкости при изменении температуры окружающей среды (зашифрована зона технологического 95%ного разброса). На этих же графиках штриховыми линиями показаны для сравнения аналогичные зависимости для конденсаторов SAL-122 и SAL-126 фирмы Philips.

Анализ этих характеристик позволяет сделать вывод о том, что новые отечественные конденсаторы не уступают по своему техническому уровню лучшим за рубежом аналогам. В то же время стоимость отечественных конденсаторов примерно в 2...3 раза ниже.

В производстве радиоэлектронной аппаратуры конденсаторы K53-59 смогут заменить танталовые (K53-30) и ниобиевые (K53-19). При этом по техническим характеристикам аппаратура может только выиграть за счет использования уникальных свойств конденсаторных систем МОП на основе травленной вольфрамидной фольги.

Материал подготовили

А. ЮГАЙ, И. ШЕВЕЛЕНКО,
В. МИКВАБИЯ, М. ЗЕМЛЯНСКИЙ

г. Санкт-Петербург

НАША КОНСУЛЬТАЦИЯ

ПРОНИН В. БЕСКВАРЦЕВАЯ ПРИСТАВКА К ГИС. — РАДИО, 1991, № 12, с. 42—44.

О проверке работы фазового детектора.

Для проверки работы фазового детектора необходим двухлучевой (или однолучевой, но оснащенный электронным коммутатором) осциллограф с открытым входом и входным сопротивлением не менее 1 МОм. Осциллограммы напряжений на входах транзистора VT1 при исправно работающей системе ФАПЧ изображены на рис. 1 (а — на его стоке, б — на затворе, в — на истоке; длительность развертки — 0,1 мс/дел.). При срыве ФАПЧ напряжения на истоке транзистора VT1 имеет форму, показанную на рис. 2 (длительность развертки — 5 мс/дел.).

Замена деталей.

Для повышения стабильности частоты задающих генераторов управляемых каналов при прогреве полезно разгрузить их выходы (вывод 11 DD1 на рис. 3 в статье), заменив нагружающие микросхемы серии K155 на аналогичные из серии K555.

Вместо полевого транзистора КТ305Д в управляющих каналах можно применить биполярные КТ3102Б со статическим коэффициентом передачи тока β_{215} не менее 100, включая их, как показано на рис. 3. Для расширения полосы удержания ФАПЧ

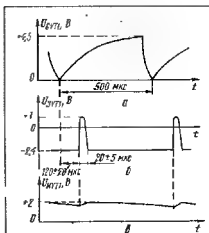


Рис. 1



Рис. 3

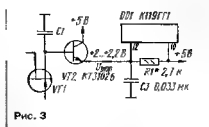


Рис. 3

использовании магнитопровода из феррита с иной магнитной проницаемостью можно рассчитать по формуле $w = 1580(L(D+d)/\mu h(D-d))^{1/2}$, где L — индуктивность (в миллигенри), D и d соответственно внешний и внутренний диаметры кольца (в миллиметрах), h — его высота (также в миллиметрах), μ — магнитная проницаемость. Диаметр провода особого значения не имеет и может быть в пределах 0,07...0,2 мм.

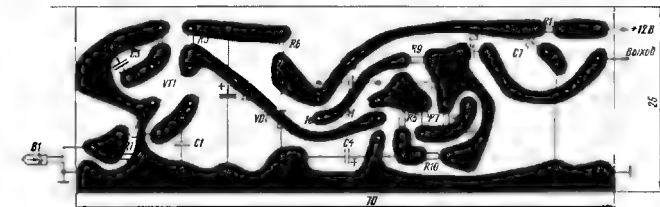
ХУРАМШИН М. УСИЛИТЕЛЬ ВОСПРОИЗВЕДЕНИЯ. — РАДИО, 1987, № 10, с. 42.

О параметрах усилителя.

Рабочий диапазон частот (по уровню 3 дБ) канала записи-воспроизведения магнитофона с описанным в статье усилителем воспроизведения при использовании стандартной универсальной головки 3Д24 810 и магнитной ленты в кассете "Denon DX1" — 40...16000 Гц, относительный уровень шумов — не более 60 дБ.

Печатная плата.

Усилитель смонтирован на печатной плате (см. рис. 4), изготовленной из фольгированного стеклотекстолита толщиной 1 мм. Плата рассчитана на применение резисторов МЛТ-0,125 (их устанавливают перпендикулярно плоскости платы), керамических конденсаторов КМ (C1, C5, C6) и оксидных К53-1 (остальные, C2 и C8 устанавливают перпендикулярно плоскости платы, остальные



сопротивления резисторов R1 можно увеличить. Удобно использовать в качестве R1 переменные резисторы, выведя их валы на переднюю панель прибора (режим захвата легко контролировать на экране телевизора).

ПАНКРАТЬЕВ Д. УСИЛИТЕЛЬ НА МИКРОСХЕМЕ K548УН1. — РАДИО, 1994, № 7, с. 11.

О катушке L1.

Ввиду относительно большой индуктивности катушку L1 целесообразно намотать на кольцевом магнитопроводе из феррита с магнитной проницаемостью 200...2000 В авторском варианте катушка содержит 100 витков провода ПЭВ-1 0,15, намотанного внавал на кольцо типоразмера K8x3x2 из феррита марки 600НН. Необходимое число витков w при

— параллельно ей). Перед монтажом не используемые выводы микросхемы DA1 отгибают под прямым углом или обрезают на расстоянии 4...5 мм от корпуса. Емкость конденсатора C8, шунтирующего цепь VT8BC5, — 390 пФ. Корректирующий конденсатор C6 припаивают непосредственно к выводам 3 и 12 со стороны деталей.

Наша программа поставок

INTEL	Встраиваемые микропроцессоры (i960, MCS80/85, 80186/80188) Микроконтроллеры (MCS 96, MCS 51, MCS48) Память (Flash Memories) Процессоры (Pentium, 486, 386, 80286)
MAXIM	Источники питания, контроль микропроцессоров, интерфейсы (RS-232, RS-485), Фильтры, переключатели, мультидискоры, АЦП, ЦАП, дисплей драйверы OV, компараторы, видеопродукты, ВЧ элементы
EPSON	Кварцы, кварцевые, генераторы, часы реального времени, Melody IC's, ASIC's, микрокомпьютеры, драйверы ЖКД, переключатели, блоки питания, стат. ЗУПВ, ЭСППЗУ, PCMCIA Memory Cards, Card-PC формата чековой карты (8086, 386, 486)
BOPLA	Системы корпусов
PHÖNIXCONTACT	Клемные соединения
ROSE	Системы корпусов
BATRON	ЖКИ-дисплеи
NORITAKE	Плазменные матричные дисплеи
TOSHIBA	Элементы питания, полупроводники, оптоэлектронные устройства
MATSUO	Танталовые конденсаторы
DSM, KEL	Панельки для ИС, кодовые переключатели
NAKUTO	Высококачественные прецизионные термостабильные кварцевые резонаторы
SMS, XELTEK	Универсальные на базе ПК и автономные программирующие устройства для GAL /PAL-/PROM-/FPGA/LP
MINC	САПР для всех видов программируемых логических элементов
MTI	Макетная система VHDL для макетирования и системного моделирования по IEEE 1076 на ПК и автоматизированных рабочих местах

SE Spezial-Electronic KG

117571 Москва, Ленинский Проспект 148
Тел.: (095) 433-67-33, (095) 438-61-87, Факс: (095) 434-94-96
191104 Санкт-Петербург, ул. Рылеева, дом 3, кв. 21
Тел./Факс: (812) 275-38-60, (812) 275-40-78

Программировать без особых затрат с помощью универсальных программирующих устройств SE.

SE-SUPERPRO II

SE SUPERPRO II представляет собой управляемое компьютером универсальное программирующее устройство. 40-полосная р-и-п-электроника управляется программным обеспечением.

Структура библиотечно ориентированного программного обеспечения SUPERPRO обеспечивает наибольшую



гибкость при программировании уже имеющихся или будущих блоков.

В соединении с IBM-PC или совместимым ПК SE-SUPERPRO представляет собой наиболее производительную и выгодную по затратам программирующую систему на рынке.

В программном обеспечении SE-SUPERPRO содержатся специфические алгоритмы для максимальной скорости программирования. Его структура высокого уровня обеспечивает простой и быстрый доступ к обширной библиотеке свыше 2000 модулей.

Универсальной, управляемой р-и-п-технологией SE-SUPERPRO обеспечивается выдающаяся гибкость для дальнейшего расширения.

Цена:
SE-SUPERPRO-ROM 399,-DM
SE-SUPERPRO II 1395,-DM

SE Spezial-Electronic KG

117571 Москва, Ленинский проспект 148
Тел.: (095) 433-67-33, (095) 438-61-87, Факс: (095) 434 94 96
191104 С. Петербург, ул. Рыбцева 3, кв. 21
Тел./Факс: (812) 275-38-60, Тел./Факс: (812) 275-40-78

SPRINT-PLUS48

Устройство PLUS48 - самый молодой член семьи универсальных программирующих устройств SPRINT. Устройство PLUS48, оснащенное 48 универсальными р-и-п-драйверами, является представителем недорогих универсальных программирующих устройств.

PLUS48 поддерживает все наиболее широко распростра-



ненные FPGA, CPLD, PLD, микроконтроллеры, EPROM и EEPROM. Различные модульные библиотеки позволяют Вам покупать всегда то, что Вам как раз требуется.

PLUS48 является устройством на базе ПК, которое использует RAM, CPU и жесткий диск Вашего компьютера. Подключение к ПК выполняется через параллельный интерфейс (LPT).

PLUS48 стандартно имеет 48 универсальных р-и-п-драйверов и один 48-полосный легко разъединяемый док-блок для модулей от 8 до 48 контактных пины. Существуют дешевые адаптеры для больших DIP, PLCC и других корпусов.

Цена:
SPRINT PLUS48/1 1700,-DM
SPRINT PLUS48/2 2800,-DM

SE

поставщик
модулей
и систем.

SE-ROMMASTER-1 SE-ROMMASTER-4

Мы представим семейство новых программаторов с интерфейсом через параллельный порт.

SE-ROMMASTER-1: 32-контактный универсальный программатор для микросхем GAL, FLASH, E(P)ROM, PSD3XX и микроконтроллеров

SE-ROMMASTER-4: программатор с четырьмя панельками для E(F)PROM

Основные характеристики:

- Интерфейс через параллельный порт (адреса 278H, 378H, 3BC8H).



- Легкое подключение к компьютерам типа LAPTOP, IBM-PC, XT, AT, 386, 486 и совместимым с ними.
- Программный интерфейс на основе системы меню поддерживает макрофункции и возможность пакетной обработки.
- Высокая скорость программирования, эффективные стоимостные показатели и гибкое программное обеспечение.
- Идентификация производителя EPROM.

Цена:
SE-ROMMASTER-1 425,-DM
SE-ROMMASTER-4 575,-DM

ДОСКА ОБЪЯВЛЕНИИ

"ОКНО-ТВ"

ПРЕДЛАГАЕТ ТЕЛЕВИЗИОННОЕ
ОБОРУДОВАНИЕ

- **ВИДЕО VHS, S-VHS, Betacam** от фирм **SONY, PANASONIC, JVC**
в/магнитофоны, в/камеры, микшерные и монтажные пульта, мониторы
- **ТЕЛЕВИЗИОННЫЕ И РАДИОПЕРЕДАТЧИКИ**
- **СИНХРОНИЗАТОРЫ, МОДУЛЯТОРЫ, ТРАНСКОДЕРЫ, СИСТЕМЫ ШИФРАЦИИ, ГОЛОВНЫЕ СТАНЦИИ, КАБЕЛЬНЫЕ СЕТИ, ВИДЕОМАРКЕРЫ, КОММУТАТОРЫ**
- **КОМПЬЮТЕРЫ И СРЕДСТВА MULTIMEDIA**
IBM 386, 486, Pentium; платы ввода/вывода и обработки видеосигналов; звуковые карты; линейный и нелинейный монтаж; специализированное ПО
- **СИСТЕМЫ СПУТНИКОВОГО ТЕЛЕВИДЕНИЯ**
- **ЗВУК** от фирм **DOD, TASCAM, MASKIE, ALESIS, NAKAMICHI**
- **ОСВЕТИТЕЛЬНОЕ И ИЗМЕРИТЕЛЬНОЕ ОБОРУДОВАНИЕ**

ГАРАНТИРУЕТ:

- ⇒ предельно низкие цены в России, гибкую систему скидок
 - ⇒ гарантийное (в течении 1 года) и послегарантийное обслуживание
 - ⇒ проектные работы, установку, запуск в эфир и обучение персонала
- Бесплатная доставка в пределах Москвы. Высылаем описание оборудования и цены.*

Адрес: 125040, Москва, Ленинградский пр., 16, под.2. Тел.: 212-05-91, 214-04-11

MERX

представитель фирмы

REXON

lemm

YOSAN

Wilson

ONWA

Dragon

Республика Польша
33-300 г. Новый Сонч
ул. Навойовска 88Б
Телефон/факс (48)
(18) 438660, 438661,
438662, 438663,
438664
Факс (48) (18) 438665

Предлагает для продажи:
СВ-радио, УКВ транс-
веры, антенны автомо-
бильные базовые, аксес-
суары, пятнадцатиметровый
кабель, а также системы
видеонаблюдения и ох-
ранные сигнализации.

Реализуем оптовые и мелкооптовые поставки на условиях СИФ Москва.

400 позиций в ассортименте.

Каталог и прайс-лист высылаем по первому требованию.

Полное обслуживание на русском языке.

Ищем представителей по регионам России и СНГ

РАДИОТОВАРЫ - ПОЧТОЙ КНИГА - ПОЧТОЙ

Жителям РОССИИ высылаем:

- Радиотехническую и справочную литературу;
- Литературу по эксплуатации, техобслуживанию и ремонту отечественных легковых автомобилей;
- Интегральные аналоговые и цифровые микросхемы;
- Узлы и модули телевизоров, системы ДУ и телетекста;
- Узлы и детали отечественных видеомаягнитофонов;
- Блоки для сборки компьютеров IBM PC, "ZX-Spectrum";
- Литературу и программы для "ZX-Spectrum".

Для получения БЕСПЛАТНОГО каталога присылайте напечатанный конверт с указанием интересующих товаров

109147, г.Москва, а/я 30, "ДЕОСИ"
тел./факс (095) 264-74-02 с 10 до 18 ч.

Поставка комплектующих, консультирование по применению, справочная информация

- ☑ МИКРОКОНТРОЛЛЕРЫ MCS-51 INTEL, 80C51 PHILIPS (в том числе с АЦП и ЦАП)
- ☑ Microchip-PIC
- ☑ Программные и аппаратные средства отладки
- ☑ Микросхемы фирмы ANALOG DEVICES : ЦАП, АЦП, ОУ, ИОН, интерфейсные ИС
- ☑ ИС ОЗУ, ПЗУ, FLASH-память, логика
- ☑ Принимаем заказы на комплексные поставки комплектующих для предприятий

Фирма КТИ-МК, (095) 973 1923, 973 1855, 972 3416

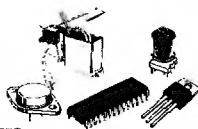


СКОЛЬКО ВЫ ДЕЛАЕТЕ ТЕЛЕФОННЫХ ЗВОНКОВ, ЧТОБЫ КУПИТЬ ВСЕ НЕОБХОДИМЫЕ ВАМ ЭЛЕКТРОННЫЕ КОМПОНЕНТЫ? ТОЛЬКО ОДИН. ЗВОНИТЕ В ФИРМУ "ЭЛЕКТРОННЫЕ КОМПОНЕНТЫ"



БОЛЕЕ 3000 ТИПОВ МИКРОСХЕМ И ДРУГИХ КОМПОНЕНТОВ ДЛЯ СЕРВИСА КОМПЬЮТЕРОВ, TV-, VIDEO- И АУДИОТЕХНИКИ СО СКЛАДА В МОСКВЕ ПО РАЗДЕЛАМ:

- ИНТЕГРАЛЬНЫЕ СХЕМЫ И ПОЛУПРОВОДНИКОВЫЕ ПРИБОРЫ;
- ОПТОЭЛЕКТРОНИКА;
- СТРОЧНЫЕ ТРАНСФОРМАТОРЫ;
- РЕМОНТНОЕ ОБОРУДОВАНИЕ (WELLER, HAKKO, DENON);
- ИЗМЕРИТЕЛЬНОЕ ОБОРУДОВАНИЕ (MUTER);
- ИСТОЧНИКИ ПИТАНИЯ (VARTA);
- МЕХАНИКА ДЛЯ ВИДЕОТЕХНИКИ;
- КАТАЛОГИ, СПРАВОЧНИКИ, ТЕХНИЧЕСКАЯ ЛИТЕРАТУРА



ПРОДУКЦИЯ ФИРМ

HITACHI, MATSUSHITA, MITSUBISHI, PHILIPS,
SAMSUNG, SANYO, SGS, SHARP, SONY, TOSHIBA
И ДРУГИХ, БОЛЕЕ 30000 НАИМЕНОВАНИЙ, СТАНЕТ ДОСТУПНОЙ ВАМ ПО КАТАЛОГАМ
ЕВРОПЕЙСКИХ ДИСТРИБЬЮТОРОВ ЭЛЕКТРОННОГО ОБОРУДОВАНИЯ



ТЕЛ./ФАКС (095)281-04-29
281-40-25

ПРИГЛАШАЕМ К СОТРУДНИЧЕСТВУ ЗАИНТЕРЕСОВАННЫЕ
ОРГАНИЗАЦИИ И МАГАЗИНЫ, ТОРГУЮЩИЕ РАДИОТОВАРАМИ
В ДРУГИХ ГОРОДАХ

ДОСКА ОБЪЯВЛЕНИЙ

ПОРЯД-СЕРВИС

ПРЕДЛАГАЕТ

**ИМПОРТНЫЕ
КОМПЛЕКТУЮЩИЕ**



Всегда в наличии!

**Интегральные Схемы
Микропроцессоры
Транзисторы
Диоды
Видеоголовки
и многое другое...**

Широкий выбор
от
зарубежных
производителей

Приглашаем розничных
и оптовых покупателей

☎ 388-13-00
Факс: 388-13-09

Здесь можно сделать любой заказ!

АУДИО-ВИДЕО: Ремонт импортной
техники любых марок!

388-13-11

КОМПЬЮТЕРЫ: Сервис, консультации,
сборка по индивидуальным заказам,
проектирование и установка сетей.

388-15-36

Москва, ул. Чертановская 45а кор. 1

ПИТАЙТЕ ВАШУ ТЕХНИКУ НОРМАЛЬНО

ΔVΛ "С И Н Т Е З"

помогает решить проблемы с электропитанием вашего оборудования

* **однофазные стабилизаторы сетевого напряжения ЭЦСН:**

- номинальная мощность нагрузки 1; 2,5 и 4,5 кВА;
- при изменении сетевого напряжения от 170 до 270 В напряжение на выходе стабилизатора 220 В с точностью 3 %;
- диапазон изменения мощности нагрузки от 0 до номинальной;
- полное отсутствие внешних искрогазов в выходные напряжения;
- встроенная защита от перегрузок по току;
- КПД - не менее 97 %.

Выпускается ряд модификаций стабилизаторов:

- с расширенной зоной стабилизации сетевого напряжения от 140 до 270 В;
- с повышенной точностью стабилизации выходного напряжения до 0,1 %;
- с любым значением выходного стабилизированного напряжения по желанию заказчика.

Стабилизаторы имеют сертификат качества России.

Гарантийный срок эксплуатации 12 месяцев.

* **Устройство защиты бытовой и промышленной аппаратуры от пониженного и повышенного напряжения в сети "ЦИТ":**

- отключает нагрузку при снижении сетевого напряжения менее 150 В или при повышении более 240 В и автоматически включает нагрузку при возврате сетевого напряжения в диапазон от 150 до 240 В (уровни срабатывания могут изменяться по желанию заказчика);
- мощность нагрузки 0...500 и 0...2500 Вт.

Гарантийный срок эксплуатации 12 месяцев.

Отгрузка: автомобильным и железнодорожным транспортом.

Адрес: 278000, г. Тирасполь-25, аб. яц. 123.

Телефон/факс (04233) 4-43-14, 3-42-13.

Телефон отдела рекламы 208-99-45, телефон/факс 208-77-13

**АО "ПЛАТАН" - КРУПНЕЙШИЙ В РОССИИ
ДИСТРИБЬЮТОР РОССИЙСКИХ И ЗАРУБЕЖНЫХ
ЭЛЕКТРОННЫХ КОМПОНЕНТОВ**

Каталог АО "Платан" высылается бесплатно по письменным заявкам предприятий

◆
МИКРОСХЕМЫ

◆
ТРАНЗИСТОРЫ

◆
ДИОДЫ

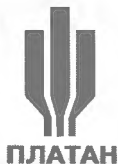
◆
КОНДЕНСАТОРЫ

◆
РЕЗИСТОРЫ

◆
РАЗЪЕМЫ

ДОСКА ОБЪЯВЛЕНИЙ

**ОТ МИКРОСХЕМ
ДО РЕЗИСТОРОВ**



Москва, ул. Гиляровского, 39 (ст. метро "Проспект Мира")
тел.: (095) 284-36-69, 284-56-78 факс: 971-31-45
Почта: 129110 Москва, а/я 996

Телефон отдела рекламы 208-99-45, телефон/факс 208-77-13

Фирма LEM : № 1 в новациях и производстве изолированных датчиков тока и напряжения

Модуль LEM - это датчик тока для электронного измерения токов (напряжений): постоянного, переменного, импульсного с гальванической развязкой между первичной и вторичной (выходной) цепями.

Область применения: роботы, стабилизированные источники питания, сварочное оборудование, инверторы, схемы управления, прерыватели, измерительные комплексы, промышленные двигательные установки, электрический транспорт, подстанции и т.д.

Принцип действия: компенсация первичного магнитного поля за счет энергии источника питания с использованием элемента Холла.

Модули LEM для измерения токов

Тип	Номинальный входной ток I _{IN}	Диапазон измерений (+ и -)	Точность измерений (при 25 °C)	Диаметр окна	Коефф. транс- формации	Выходной ток	Напряжение источника питания (+ и -) В
	А	А	% от I _{IN}	мм		мА	
LA 25-NP	5, 6, 8, 12, 25	0-36	0,6	-	1-2-3-4-5 :1000	25	15
LA 55-P	50	0-70	0,9	7 x 12	1:1000	50	12...15
LT 100-P	100	0-150	0,5	10	1:1000	100	15
LT 100-S	100	0-200	0,5	15	1:1000	100	12...18
LT 300-S	300	0-500	0,5	20	1:2000	150	12...18
LT 500-S	500	0-1000	0,3	25	1:5000	100	15...24
LT 1000-SI	1000	0-1500	0,3	40	1:5000	200	15

Модули LEM для измерения напряжений

LV 25-P	10 мА	0-14 мВ (0-700 В)	0,6	2500:1000	25	15
LV 100	10 мА	0-20 мВ (0-5000 В)	0,7	10000:2000	50	15

Транспортные варианты исполнения стандартных модулей

Модули LEM для измерения больших токов от 15 кА до 500 кА

Модули LEM с разъемным магнитопроводом для проведения оперативных измерений

Made to Measure

LEM

Официальный изготовитель и дистрибьютер продукции фирмы LEM
в России и странах СНГ предприятие ТВЕЛЕМ

Россия 170622 Т. 088 75 16 Т. 08221 84 40 53

ЭРА

Все для видеопроизводства и компьютерной графики

- ✓ **Профессиональные видеостудии**
- ✓ **Системы цифрового нелинейного монтажа**
- ✓ **Станции компьютерной графики**
- ✓ **Видеоплеты вводе-вывод(IBM PC)**

BETACAM SP**SVHS**

- ✓ Низкие цены
- ✓ Консультации и обучение
в студиях фирмы
- ✓ Гарантийное и
послегарантийное
обслуживание



НЕМЕДЛЕННО
СО
СКЛАДА !



тел.: (095) 556-21-51, 556-20-24,
556-24-65, 556-24-63.

факс: (095) 556-21-51,
556-24-62.

Наш адрес: 140160, Россия, г. Жуковский Московской обл., ул. Амет-Хан-Султана д. 5.